

Modul Kuliah Semester Ganjil 2015-2016

DASAR-DASAR ALGORITMA EVOLUSI

Wayan Firdaus Mahmudy

Program Teknologi Informasi dan Ilmu Komputer (PTIIK) Universitas Brawijaya

Kata Pengantar

Algoritma evolusi berkembang seiring dengan kemajuan perangkat lunak pemrograman.

Kemampuannya untuk menyelesaikan berbagai permasalahan kompleks menjadikan

algoritma ini banyak dipilih untuk berbagai kasus optimasi. Buku modul kuliah ini

memberikan dasar-dasar yang diperlukan oleh mahasiswa untuk menerapkan algoritma

evolusi dalam berbagai permasalahan di dunia nyata.

Buku ini disusun sebagai bahan penunjang untuk pengajaran mata kuliah Algoritma

Evolusi di Program Teknologi Informasi dan Ilmu Komputer (PTIIK), Universitas Brawijaya.

Buku ini juga dimaksudkan untuk mengisi kelangkaan materi dalam Bahasa Indonesia

yang secara mendetail membahas penerapan algoritma evolusi dalam berbagai bidang

riset. Berbagai referensi dari jurnal ilmiah nasional dan internasional diacu untuk

memberikan gambaran tren terkini dalam pengembangan dan penerapan algoritma

evolusi.

Studi kasus dari berbagai riset di literatur diberikan untuk membantu pemahaman

pembaca bagaimana menerapkan algoritma evolusi untuk masalah yang sederhana

sampai masalah yang kompleks. Selain dimaksudkan sebagai buku pegangan kuliah bagi

mahasiswa S1, buku ini bisa dijadikan acuan bagi mahasiswa yang mengerjakan skripsi

atau tugas akhir.

Beberapa artikel penulis (jurnal dan konferensi) yang diacu dalam buku ini bisa

didapatkan pada https://wayanfm.lecture.ub.ac.id/research-publications/.

Malang, Agustus 2015

i

Daftar Isi

| KATA PENGANTAR | I |
|--|-----|
| DAFTAR ISI | |
| DAFTAR GAMBAR | v |
| DAFTAR SINGKATAN | VII |
| BAB 1 | 1 |
| TEKNIK OPTIMASI | 1 |
| 1.1. Pengantar | |
| 1.2. Klasifikasi Teknik Optimasi | |
| 1.3. Prinsip Kerja Algoritma Evolusi | |
| 1.4. Rangkuman | |
| 1.5. Latihan | |
| BAB 2 | 7 |
| Dasar-Dasar Algoritma Genetika | |
| 2.1. Pengantar | |
| 2.2. Struktur Algoritma Genetika | |
| 2.3. Studi Kasus: Maksimasi Fungsi Sederhana | |
| 2.3.1. Inisialisasi | |
| 2.3.2. Reproduksi | 12 |
| 2.3.3. Evaluasi | |
| 2.3.4. Seleksi | 14 |
| 2.4. Studi Kasus: Maksimasi Fungsi dengan Presisi Tertentu | 15 |
| 2.4.1. Representasi Chromosome | |
| 2.4.2. Inisialisasi | 17 |
| 2.4.3. Reproduksi | 18 |
| 2.4.4. Evaluasi | 19 |
| 2.4.5. Seleksi | 20 |
| 2.5. Kondisi Berhenti (<i>Termination Condition</i>) | 25 |
| 2.6. Rangkuman | 25 |
| 2.7. Latihan | 26 |
| BAB 3 | 29 |
| ALGORITMA GENETIKA DENGAN PENGKODEAN REAL (REAL-CODED GA/RCGA) | 29 |
| 3.1. Siklus RCGA | |
| 3.1.1. Representasi Chromosome | |
| 3.1.2. Inisialisasi | |
| 3.1.3. Reproduksi | |
| 3.1.4. Seleksi | |

| 3.2. Alternatif Operator Reproduksi pad | a Pengkodean Real34 |
|---|---|
| 3.3. Alternatif Operator Seleksi | 35 |
| | 35 |
| 3.3.2. Replacement Selection | 36 |
| 3.4. Diskusi: Nilai Parameter Algoritma (| Genetika38 |
| 3.5. Diskusi: Mekanisme Sampling Prose | es Seleksi38 |
| 3.6. Diskusi: Probabilitas Seleksi | 39 |
| 3.7. Diskusi: Penanganan Konvergensi D | vini41 |
| 3.8. Rangkuman | 44 |
| 3.9. Latihan | 44 |
| BAB 4 | 47 |
| OPTIMASI MASALAH KOMBINATORIAL | 47 |
| 4.1. Pengantar | 47 |
| <u> </u> | 47 |
| • | 48 |
| • | 49 |
| 4.2.3. Mutasi | 50 |
| 4.3. Flow-Shop Scheduling Problem (FSF | ?)50 |
| 4.4. Two-Stage Assembly Flow-Shop Sch | neduling Problem51 |
| 4.5. Job-Shop Scheduling Problem (JSP) | 53 |
| 4.5.1. Representasi Chromosome | 53 |
| | 53 |
| | 54 |
| · | (JSP54 |
| • | 54 |
| • | 56 |
| | 57 |
| | 58 58 |
| • | |
| - | em (FJSP)60 |
| · · · · · · · · · · · · · · · · · · · | sk Sequencing List61 angan Pecahan62 |
| • | (m-TSP)64 |
| _ | • Window (VRPTW)65 |
| | 66 |
| · · | 67 |
| | 69 |
| | |
| | 69 |
| · · | 69 |
| • | 69 |
| 5.3. Parallel Genetic Algorithms (PGAs). | 71 |

| | 5.4. Nilai Parameter Ada | aptif | 72 |
|-------|--------------------------|---------------------------------|-----|
| | 5.5. Rangkuman | | 74 |
| | 5.6. Latihan | | 74 |
| BAB | 3 6 | | 75 |
| Ενοι | UTION STRATEGIES (FS) | | 75 |
| | • • | | |
| | • | ution Strategies | |
| | | | |
| | \(\frac{1}{2}\) | Chromosome | |
| | 6.3.2. Inisialisasi | | 77 |
| | · · | | |
| | | | |
| | ** * | | |
| | • | ecombinasi dan Mutasi | |
| | | 2) 2 | |
| | | λ): Optimasi Fungsi Berkendala | |
| | | | |
| | · · | | |
| | 6.6. ES untuk Represent | asi Permutasi | 84 |
| | | | |
| | • | | |
| RΔR | 8 7 | | 87 |
| | | i Evolutionary Programming (EP) | |
| GEINI | | ng | |
| | _ | | |
| | | ramming Chromosome | |
| | • | ı Evaluasi | |
| | | | |
| | 7.2.4. Mutasi | | 91 |
| | 7.2.5. Seleksi | | 91 |
| | 7.3. Evolutionary Progra | amming (EP) | 92 |
| | 7.4. Studi Kasus 1: Poho | n Keputusan | 92 |
| | • | Chromosome | |
| | | ı Evaluasi | |
| | · | ıtasi, dan Seleksi | |
| | · · | | |
| | | | |
| DAF | FTAR PUSTAKA | | 97 |
| IND | DEKS | | 104 |

Daftar Gambar

| GAMBAR 1.1. | POSISI EA DI ANTARA TEKNIK OPTIMASI LAIN | 3 |
|------------------------------|---|------------|
| GAMBAR 1.2. | PROSES-PROSES DALAM EAS | 4 |
| GAMBAR 2.1. | MENCARI SOLUSI DENGAN ALGORITMA GENETIKA | 10 |
| GAMBAR 2.2. | GRAFIK FUNGSI CONTOH (2.1) | 11 |
| GAMBAR 2.3. | SIKLUS ALGORITMA GENETIKA | 15 |
| GAMBAR 2.4. | PLOTTING 2D FUNGSI CONTOH (2.2) | 16 |
| GAMBAR 2.5. | ROULETTE WHEEL PELUANG TERPILIHNYA SETIAP INDIVIDU | 22 |
| GAMBAR 2.6. | SOLUSI GA TIAP GENERASI UNTUK FUNGSI UJI (2.2) | 2 4 |
| GAMBAR 3.1. | PSEUDO-CODE BINARY TOURNAMENT SELECTION | 32 |
| GAMBAR 3.2. | SOLUSI RCGA PADA TIAP GENERASI | 33 |
| GAMBAR 3.3. | PSEUDO-CODE ELITISM SELECTION | 35 |
| GAMBAR 3.4. | PSEUDO-CODE REPLACEMENT SELECTION | 37 |
| GAMBAR 3.5. SATU INDIVIDU | SOLUSI RCGA PADA TIAP GENERASI MENGGUNAKAN RANDOM INJECTIO 42 | N |
| GAMBAR 3.6. | PSEUDO-CODE PERHITUNGAN RASIO KEMIRIPAN DUA KROMOSOM | 43 |
| GAMBAR 3.7. | PSEUDO-CODE PERHITUNGAN NILAI KERAGAMAN POPULASI | 43 |
| GAMBAR 4.1. | CONTOH MASALAH TSP | 48 |
| GAMBAR 4.2. | CROSSOVER PADA REPRESENTASI PERMUTASI | 49 |
| GAMBAR 4.3. | RECIPROCAL EXCHANGE MUTATION | 50 |
| GAMBAR 4.4. | INSERTION MUTATION | 50 |
| GAMBAR 4.5. | GANTT-CHART UNTUK URUTAN JOB J1 $ ightarrow$ J2 $ ightarrow$ J3 | 51 |
| GAMBAR 4.6. | GANTT-CHART UNTUK URUTAN JOB J2 $ ightarrow$ J1 $ ightarrow$ J3 | 51 |
| GAMBAR 4.7. | GANTT-CHART UNTUK TWO-STAGE ASSEMBLY FLOWSHOP | 52 |
| GAMBAR 4.8. | GANTT-CHART UNTUK JSP | 53 |
| GAMBAR 4.9. | CROSSOVER PADA JOB-BASED REPRESENTATION | 54 |
| GAMBAR 4.10. | REPRESENTASI PERMUTASI UNTUK JSP | 54 |
| GAMBAR 4.11. | MODEL TRANSPORTASI | 55 |
| GAMBAR 4.12. | CONTOH CHROMOSOME DARI TASK SEQUENCING LIST REPRESENTATION | 162 |
| GAMBAR 4.13. | GANT-CHART UNTUK MENGHITUNG MAKESPAN | 64 |
| GAMBAR 4.14. | CONTOH CHROMOSOME UNTUK MTSP | 64 |
| CAMBAD / 15 | CONTOU SOLLISI MTSD LINTUV 40 NODE | 6 |

| GAMBAR 5.1. | MAS DAN OPTIMASI LOKAL (GEN & CHENG 2000) | 70 |
|-------------|---|----|
| GAMBAR 5.2. | MEKANISME MIGRASI | 71 |
| GAMBAR 5.3. | MEKANISME PENGUBAHAN MUTATION RATE SECARA ADAPTIF | 73 |
| GAMBAR 7.1. | BINARY TREE SEBUAH FUNGSI NON-LINEAR | 88 |
| GAMBAR 7.2. | CONTOH DUA INDIVIDU RANDOM | 89 |
| GAMBAR 7.3. | CONTOH PROSES CROSSOVER | 91 |
| GAMBAR 7.4. | CONTOH PROSES MUTASI | 91 |
| GAMBAR 7.5. | POHON KEPUTUSAN PENERIMAAN PENGAJUAN KREDIT | 93 |
| GAMBAR 7.6. | CONTOH DUA INDIVIDU RANDOM | 94 |
| GAMBAR 7.7. | CONTOH MUTASI MENGUBAH ANGKA | 95 |

Daftar Singkatan

ACO Ant Colony Optimization

EAS Evolutionary Algorithms

EC Evolutionary Computation

EP Evolutionary Programming

ES Evolution Strategies

FJSP Flexible Job-Shop Problem

FSP Flow-Shop Problem
GAs Genetic Algorithms
GP Genetic Programming

HGAs Hybrid Genetic Algorithms

JSP Job-Shop Problem

LS Local Search

MAs Memetic Algorithms

PSO Particle Swarm Optimization RCGA Real Coded Genetic Algorithm

SA Simulated Annealing

SPT Shortest Processing Time

TS Tabu Search

TSP Travelling Salesman Problem

VNS Variable Neighbourhoods Search

Teknik Optimasi

1.1. Pengantar

Dalam kehidupan sehari-hari seringkali kita berhadapan dengan pencarian solusi suatu masalah seperti contoh berikut:

- Pembuatan jadwal kuliah yang mencakup ketersediaan dosen dan ruangan. Jadwal harus dibuat tujuan untuk menghindari seorang dosen/mahasiswa terjadwal di lebih dari satu kelas pada waktu yang sama (Liliana & Mahmudy 2006). Penjadwalan juga bisa diterapkan pada penyusunan jadwal ujian (Mawaddah & Mahmudy 2006), jadwal jaga perawat (Ilmi, Mahmudy & Ratnawati 2015) atau mata pelajaran di sekolah (Sari, DDP, Mahmudy & Ratnawati 2015).
- Persoalan transportasi yang mencakup pendistribusian suatu komoditas atau produk dari sejumlah sumber kepada sejumlah tujuan dengan tujuan meminimumkan ongkos pengangkutan yang terjadi (Munawaroh & Mahmudy 2015a; Panharesi & Mahmudy 2015; Putri, FB, Mahmudy & Ratnawati 2015).
- Pemilihan rute terpendek (biaya terkecil) untuk mengunjungi sejumlah kota (Endarwati, Mahmudy & Ratnawati 2014; Pitaloka, Mahmudy & Sutrisno 2014).
- Penentuan komposisi makanan baik bagi manusia maupun ternak dengan biaya minimum yang harus memenuhi batasan minimal untuk setiap komponen nutrisi (Pratiwi, Mahmudy & Dewi 2014; Rianawati & Mahmudy 2015; Sari, AP, Mahmudy & Dewi 2014; Wahid & Mahmudy 2015).

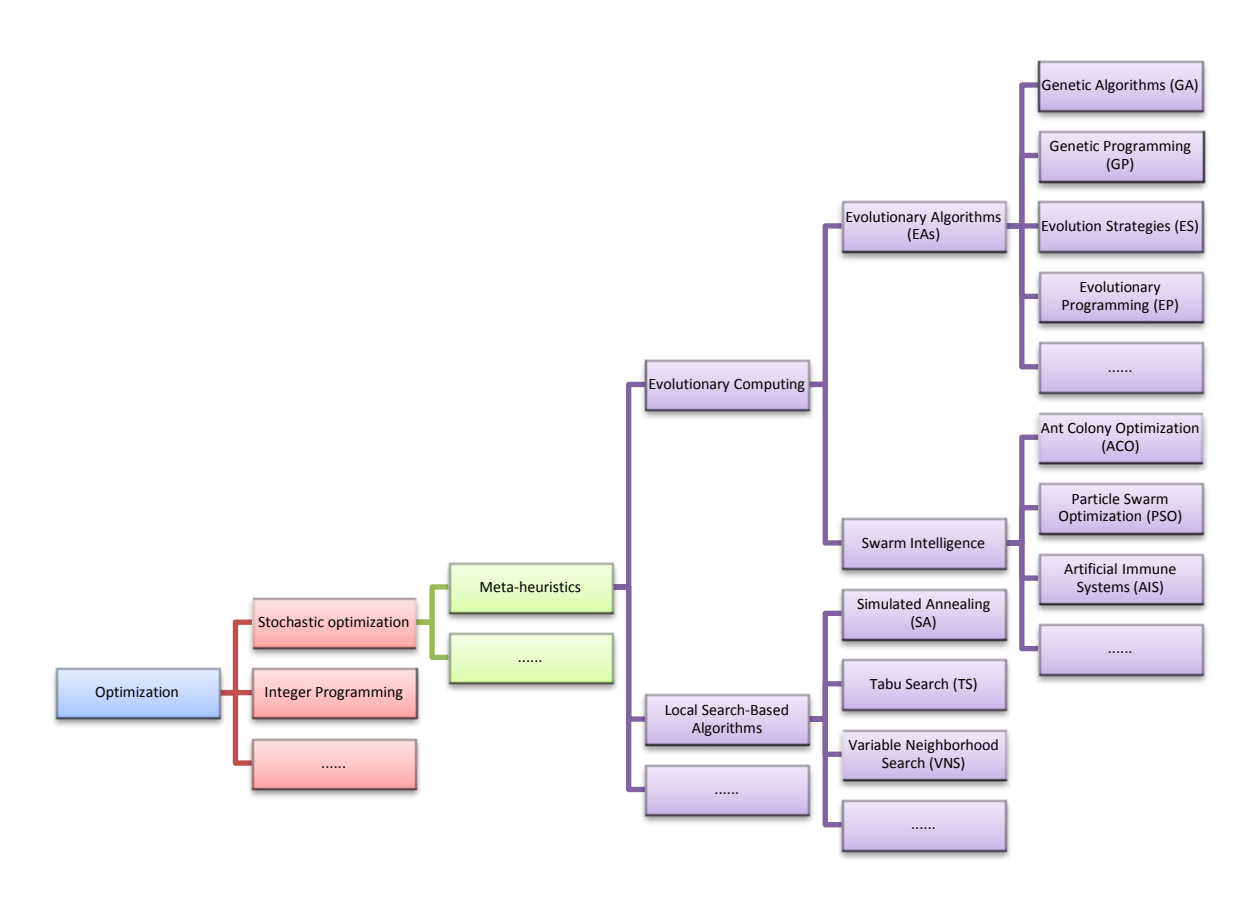
Penyelesaian masalah di atas akan mudah dilakukan jika ukuran data relatif kecil. Masalah akan menjadi kompleks jika data berukuran besar atau melibatkan sejumlah besar entitas. Pada masalah kompleks dibutuhkan juga formulasi matematika yang kompleks yang bisa jadi sangat sulit dibangun atau membutuhkan waktu yang lama. Berdasarkan model matematis yang dibangun bisa dilakukan analisis untuk mencari solusi yang terbaik

(optimum). Solusi optimum mungkin dapat diperoleh tetapi memerlukan proses perhitungan yang panjang.

Untuk menyelesaikan kasus khusus seperti di atas dapat digunakan metode heuristik, yaitu suatu metode pencarian yang didasarkan atas intuisi atau aturan-aturan empiris untuk memperoleh solusi yang lebih baik daripada solusi yang telah dicapai sebelumnya. Metode ini tidak selalu menghasilkan solusi optimum tetapi jika dirancang dengan baik akan menghasilkan solusi yang mendekati optimum dalam waktu yang relatif cepat. Metode heuristis yang bisa diterapkan pada masalah optimasi misalnya algoritma koloni semut (Irwansyah, Pinandito & Mahmudy 2014), particle swarm optimization (Mahmudy 2014c, 2015b), algoritma hill-climbing (Achnas, Cholissodin & Mahmudy 2015; Mahmudy 2008b), algoritma A* (Nurhumam & Mahmudy 2008), tabu search (Seputro, Mahmudy & Mursityo 2015), algoritma simulated annealing (Mahmudy 2014b), variable neighbourhood search (Mahmudy 2015a), dan algoritma evolusi .

1.2. Klasifikasi Teknik Optimasi

Algoritma evolusi (*evolutionary algorithms, EAs*) merupakan sub-set dari komputasi evolusi (*evolutionary computation, EC*) yang merupakan bentuk generik dari algoritma optimasi *meta-heuristic* berbasis populasi. Secara umum, posisi dari EAs di antara teknik optimasi lainnya ditunjukkan pada Gambar 1.1. Tergantung dari kriteria yang digunakan untuk pengklasifikasian, struktur ini bisa berubah.



Gambar 1.1. Posisi EA di antara teknik optimasi lain

Pada Gambar 1.1, optimization didefinisikan sebagai proses pemilihan sebuah solusi dari sejumlah alternative solusi dengan memenuhi sejumlah batasan (contstraints). Misalkan pada pencarian rute untuk mengunjungi sejumlah kota. Pada kasus ini tentu saja terdapat banyak alternative pilihan rute (solusi). Solusi yang dipilih disesuaikan dengan tujuan (objective) dari permasalahan ini, misalkan memilih rute terpendek atau rute dengan waktu tempuh tercepat. Batasan yang ada misalkan setiap kota harus dikunjungi tepat satu kali.

Stochastic optimization menggunakan bilangan acak (random) dalam pencarian solusi. Sebagai konsekuensinya, sebuah algoritma dalam kelas ini setiap dijalankan akan menghasilkan solusi akhir yang berbeda, meskipun diterapkan dalam permasalahan yang sama.

Sebuah algoritma *meta-heuristic* bertindak sebagai 'manajer' dari beberapa algoritma *heuristic* untuk secara terorganisir mencari solusi dari sebuah permasalahan. Misalkan

metode *Variable Neighborhood Search* (VNS) yang me-*manage* sebuah teknik *local search* (LS). VNS secara sistematis meng-*iterasi* LS untuk mencari solusi dari titik awal yang berbeda serta mencakup area pencarian yang lebih luas . Contoh lainnya adalah algoritma genetika yang me-*manage* beberapa *genetic operator* seperti *crossover, mutation,* dan selection. Materi pada Bab 2 akan menjelaskan hal ini secara mendetail.

Evolutionary computing merujuk kepada berbagai teknik penyelesaian masalah yang berbasis proses evolusi biologi seperti seleksi alam (natural selection) dan penurunan sifat genetis (genetic inheritance). Berbagai teknik dalam kelas ini telah diaplikasikan pada berbagai permasalahan praktis. Salah satu sub-kelas dari evolutionary computing adalah algoritma evolusi yang sedang anda pelajari.

1.3. Prinsip Kerja Algoritma Evolusi

Algoritma Evolusi (*evolutionary algorithms*, EAs) merupakan teknik optimasi yang meniru proses evolusi biologi. Menurut teori evolusi terdapat sejumlah individu dalam populasi. Dari generasi ke generasi, individu-individu ini berperan sebagai induk (*parent*) yang melakukan reproduksi menghasilkan keturunan (*offspring*). Individu-individu ini (beserta *offspring*) berevolusi dan individu-individu yang lebih baik (mampu beradaptasi dengan lingkungannya) mempunyai peluang lebih besar untuk melewati seleksi alam (*natural selection*) dan bertahan hidup. Individu yang lebih baik juga cenderung (tidak selalu tapi mempunyai kemungkinan lebih besar) menghasilkan keturunan yang lebih baik sehingga dari generasi ke generasi akan terbentuk populasi yang lebih baik. Keseluruhan proses dalam EAs ditunjukkan pada Gambar 1.2.



Gambar 1.2. Proses-proses dalam EAs

Individu-individu dalam populasi di EAs merepresentasikan solusi dari masalah yang akan diselesaikan. Sebuah fungsi *fitness* digunakan untuk mengukur seberapa baik suatu

individu. Individu terbaik di akhir generasi bisa didekodekan sebagai solusi terbaik yang bisa diperoleh.

Dari penjelasan di atas, EAs bisa dikelompokkan dalam algoritma 'generate and test' yang berbasis populasi (population based). EA juga bersifat stochastic, setiap kali dijalankan untuk masalah yang sama ada kemungkinan menghasilkan solusi yang berbeda (Smith & Eiben 2003).

Berbagai tipe EAs telah dikembangkan sebagai berikut:

- Algoritma genetika (*Genetic Algorithms*, GAs), merupakan tipe EAs yang paling popular dan banyak diterapkan pada masalah-masalah kompleks. Pada awalnya banyak menggunakan representasi string biner tapi kemudian berkembang dengan menggunakan vektor bilangan integer dan pecahan (*real*). Pembangkitkan solusi baru banyak mengandalkan proses tukar silang (*crossover*). Mutasi biasanya dipakai sebagai operator tambahan untuk menjaga keragaman populasi.
- Evolution Strategies (ES), representasi solusi biasanya menggunakan vektor bilangan pecahan. Mutasi merupakan operator reproduksi utama. Mekanisme self-adaptation digunakan untuk mengontrol perubahan nilai parameter pencarian.
- Genetic Programming (GP), digunakan untuk mengoptimasi rangkaian program komputer yang direpresentasikan dalam bentuk struktur data pohon (tree).
- Evolutionary Programming (EP), mempunyai tujuan seperti GP tapi prinsip kerjanya seperti ES. Finite State Machines (FSM) digunakan untuk merepresentasikan program komputer.

1.4. Rangkuman

Pada bab ini telah dibahas tentang klasifikasi teknik optimasi dan pentingnya algoritma evolusi untuk penyelesaian masalah kompleks yang sulit dipecahkan secara analitis menggunakan model matematis.

1.5. Latihan

Untuk memperjelas pemahaman anda, kerjakanlah latihan berikut sebisa mungkin tanpa melihat materi pada buku!

- 1. Pada jenis permasalahan apa algoritma heuristik seharusnya diterapkan?
- 2. Jelaskan apa yang dimaksud dengan individu dalam algoritma evolusi!
- 3. Apa yang dimaksud dengan fungsi fitness?
- 4. Apa yang dimaksud dengan pernyataan bahwa algoritma evolusi bersifat stochastic?

Dasar-Dasar Algoritma Genetika

2.1. Pengantar

Algoritma genetika (*Genetic Algorithms, GAs*) merupakan tipe EA yang paling popular. Algoritma genetika berkembang seiring dengan perkembangan teknologi informasi yang sangat pesat. Karena kemampuannya untuk menyelesaikan berbagai masalah kompleks, algoritma ini banyak digunakan dalam bidang fisika, biologi, ekonomi, sosiologi dan lainlain yang sering menghadapi masalah optimasi yang model matematikanya kompleks atau bahkan sulit dibangun.

Dalam bidang industri manufaktur, GAs digunakan untuk perencanaan dan penjadwalan produksi (Mahmudy, Marian & Luong 2012a, 2013a). GA juga bisa diterapkan untuk kompresi citra (Ciptayani, Mahmudy & Widodo 2009), optimasi penugasan mengajar bagi dosen (Mahmudy 2006), penjadwalan dan alokasi ruang ujian (Mawaddah & Mahmudy 2006), optimasi penjadwalan kuliah (Liliana & Mahmudy 2006), optimasi *multi travelling salesman problem* (M-TSP) (Mahmudy 2008a), distribusi produk (Sulistiyorini & Mahmudy 2015), prediksi harga saham (Rahmi, Mahmudy & Setiawan 2015), optimasi lahan pertanian (Saputro, Mahmudy & Dewi 2015), optimasi laba produksi (Samaher & Mahmudy 2015), penentuan komposisi pakan ternak (Kusuma, Mahmudy & Indriati 2015), optimasi persediaan barang (Ramuna & Mahmudy 2015), pembentukan model regresi (Permatasari & Mahmudy 2015), pembentukan fungsi keanggotaan fuzzy (Azizah, Cholissodin & Mahmudy 2015), dan penyusunan rute dan jadwal kunjungan wisata yang efisien (Widodo & Mahmudy 2010).

Algoritma genetika diilhami oleh ilmu genetika, karena itu istilah yang digunakan dalam algoritma genetika banyak diadopsi dari ilmu tersebut. Apabila dibandingkan dengan prosedur pencarian dan optimasi biasa, algoritma genetika berbeda dalam beberapa hal sebagai berikut (Michalewicz 1996):

- Manipulasi dilakukan terhadap kode dari himpunan parameter (biasa disebut *chromosome*), tidak secara langsung terhadap parameternya sendiri.
- Proses pencarian dilakukan dari beberapa titik dalam satu populasi, tidak dari satu titik saja.
- Proses pencarian menggunakan informasi dari fungsi tujuan.
- Pencariannya menggunakan *stochastic operators* yang bersifat probabilistik, tidak menggunakan aturan deterministik.

Kelebihan GAs sebagai metode optimasi adalah sebagai berikut:

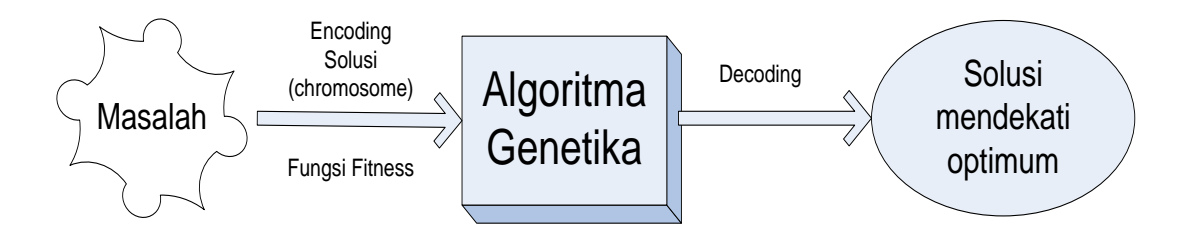
- GAs merupakan algoritma yang berbasis populasi yang memungkinkan digunakan pada optimasi masalah dengan ruang pencarian (search space) yang sangat luas dan kompleks. Properti ini juga memungkinkan GAs untuk melompat keluar dari daerah optimum lokal (Gen & Cheng 1997).
- Individu yang ada pada populasi bisa diletakkan pada beberapa sub-populasi yang diproses pada sejumlah komputer secara paralel. Hal ini bisa mengurangi waktu komputasi pada masalah yang sangat kompleks (Defersha & Chen 2010; Qi, Burns & Harrison 2000). Penggunaan sub-populasi juga bisa dilakukan pada hanya satu komputer untuk menjaga keragaman populasi dan meningkatkan kualitas hasil pencarian (Mahmudy 2009).
- GAs menghasilkan himpunan solusi optimal yang sangat berguna pada peyelesaian masalah dengan banyak obyektif (Mahmudy & Rahman 2011).
- GAs dapat digunakan untuk menyelesaikan masalah yang kompleks dengan banyak variabel. Variabel tersebut bisa kontinyu, diskrit atau campuran keduanya (Haupt & Haupt 2004).
- GAs menggunakan *chromosome* untuk mengkodekan solusi sehingga bisa melakukan pencarian tanpa memperhatikan informasi derivatif yang spesifik dari masalah yang diselesaikan (Gen & Cheng 1997; Haupt & Haupt 2004).

- GAs bisa diimplementasikan pada berbagai macam data seperti data yang dibangkitkan secara numerik atau menggunakan fungsi analitis (Haupt & Haupt 2004).
- GAs cukup fleksibel untuk dihibridisasikan dengan algoritma lainnya (Gen & Cheng 1997). Beberapa penelitian membuktikan bahwa hybrid GAs (HGAs) sangat efektif untuk menghasilkan solusi yang lebih baik (Mahmudy, Marian & Luong 2013e, 2013f, 2014).
- GAs bersifat *ergodic*, sembarang solusi bisa diperoleh dari solusi yang lain dengan hanya beberapa langkah. Hal ini memungkinkan eksplorasi pada daerah pencarian yang sangat luas dilakukan dengan lebih cepat dan mudah (Marian 2003).

2.2. Struktur Algoritma Genetika

Bagaimana menggunakan algoritma genetika untuk memecahkan suatu masalah ditunjukkan pada Gambar 2.1. Solusi dari suatu masalah harus dipetakan (encoding) menjadi string chromosome. String chromosome ini tersusun atas sejumlah gen yang menggambarkan variabel-variabel keputusan yang digunakan dalam solusi. Representasi string chromosome beserta fungsi fitness untuk menilai seberapa bagus sebuah chromosome (untuk menjadi solusi yang layak) dimasukkan ke algoritma genetika. Dalam banyak kasus, bagaimana merepresentasikan sebuah solusi menjadi chromosome sangat menentukan kualitas dari solusi yang dihasilkan (Mahmudy, Marian & Luong 2012a).

Dengan menirukan proses genetika dan seleksi alami maka algoritma genetika akan menghasilkan *chromosome* 'terbaik' setelah melewati sekian generasi. *Chromosome* 'terbaik' ini harus diuraikan (*decoding*) menjadi sebuah solusi yang diharapkan mendekati optimum.



Gambar 2.1. Mencari solusi dengan algoritma genetika

Apabila *P(t)* dan *C(t)* merupakan populasi (*parents*) dan *offspring* pada generasi ke-*t*, maka struktur umum algoritma genetika dapat dideskripsikan sebagai berikut (Gen & Cheng 1997):

```
procedure AlgoritmaGenetika begin t = 0 inisialisasi P(t) while (bukan kondisi berhenti) do reproduksi C(t) dari P(t) evaluasi P(t) dan C(t) seleksi P(t+1) dari P(t) dan C(t) t = t + 1 end while end
```

Proses dalam algoritma genetika diawali dengan inisialisasi, yaitu menciptakan individuindividu secara acak yang memiliki susunan gen (chromosome) tertentu. Chromosome
ini mewakili solusi dari permasalahan yang akan dipecahkan. Reproduksi dilakukan
untuk menghasilkan keturunan (offspring) dari individu-individu yang ada di populasi.
Evaluasi digunakan untuk menghitung kebugaran (fitness) setiap chromosome. Semakin
besar fitness maka semakin baik chromosome tersebut untuk dijadikan calon solusi.
Seleksi dilakukan untuk memilih individu dari himpunan populasi dan offspring yang
dipertahankan hidup pada generasi berikutnya. Fungsi probabilistis digunakan untuk
memilih individu yang dipertahankan hidup. Individu yang lebih baik (mempunyai nilai
kebugaran/fitness lebih besar) mempunyai peluang lebih besar untuk terpilih (Gen &
Cheng 1997).

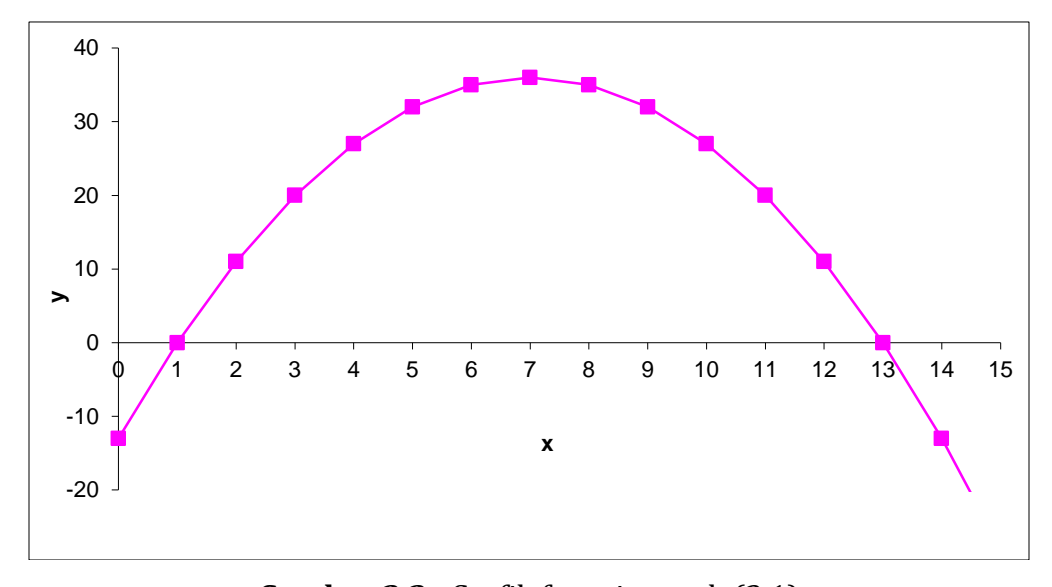
Setelah melewati sekian iterasi (generasi) akan didapatkan individu terbaik. Individu terbaik ini mempunyai susunan *chromosome* yang bisa dikonversi menjadi solusi yang terbaik (paling tidak mendekati optimum). Dari sini bisa disimpulkan bahwa algoritma genetika menghasilkan suatu solusi optimum dengan melakukan pencarian di antara sejumlah alternatif titik optimum berdasarkan fungsi probabilistic (Michalewicz 1996).

2.3. Studi Kasus: Maksimasi Fungsi Sederhana

Untuk menjelaskan siklus GAs maka diberikan contoh sederhana masalah maksimasi (mencari nilai maksimum) dari sebuah fungsi sebagai berikut:

$$\max y = f(x) = -x^2 + 14x - 13, \quad 0 \le x \le 15$$
 (2.1)

Grafik dari fungsi ini ditunjukkan pada Gambar 2.2. Nilai maksimum fungsi adalah y=36 pada x=7.



Gambar 2.2. Grafik fungsi contoh (2.1)

Dalam siklus perkembangan algoritma genetika mencari solusi (*chromosome*) 'terbaik' terdapat beberapa proses sebagai berikut:

2.3.1. Inisialisasi

Inisialisasi dilakukan untuk membangkitkan himpunan solusi baru secara acak/random yang terdiri atas sejumlah string chromosome dan ditempatkan pada penampungan

yang disebut populasi. Dalam tahap ini harus ditentukan ukuran populasi (*popSize*). Nilai ini menyatakan banyaknya individu/*chromosome* yang ditampung dalam populasi. Panjang setiap string *chromosome* (*stringLen*) dihitung berdasarkan presisi variabel solusi yang kita cari.

Misalkan kita tentukan popSize=4 dan kita gunakan representasi *chromosome* biner (bilangan basis 2). Nilai x ditentukan antara 0 sampai 15 dan bilangan biner dengan panjang 4 sudah dapat menjangkau nilai x (ingat $1111_2 = 15$). Jadi stringLen=4.

Misalkan kita dapatkan populasi inisial dan konversi *chromosome*-nya menjadi *x* sebagai berikut:

| | chromosome | Х | <i>y=f(x)</i> |
|-------|------------|---|---------------|
| P_1 | [0011] | 3 | 20 |
| P_2 | [0100] | 4 | 27 |
| P_3 | [1001] | 9 | 32 |
| P_4 | [0101] | 5 | 32 |

2.3.2. Reproduksi

Reproduksi dilakukan untuk menghasilkan keturunan dari individu-individu yang ada di populasi. Himpunan keturunan ini ditempatkan dalam penampungan offspring. Dua operator genetika yang digunakan dalam proses ini adalah tukar silang (crossover) dan mutasi (mutation). Ada banyak metode crossover dan mutation yang telah dikembangkan oleh para peneliti dan biasanya bersifat spesifik terhadap masalah dan representasi chromosome yang digunakan.

Dalam tahap ini harus ditentukan tingkat *crossover* (*crossover rate / cr*). Nilai ini menyatakan rasio *offspring* yang dihasilkan proses *crossover* terhadap ukuran populasi sehingga akan dihasilkan *offspring* sebanyak *cr* x *popSize*.

Nilai tingkat mutasi (*mutation rate / mr*) juga harus ditentukan. Nilai ini menyatakan rasio *offspring* yang dihasilkan dari proses mutasi terhadap ukuran populasi sehingga akan dihasilkan *offspring* sebanyak *mr* x *popSize*.

Jika kita tentukan cr=0,5 maka ada 0,5×4=2 offspring yang dihasilkan dari proses crossover. Jika kita tentukan setiap crossover menghasilkan dua anak maka hanya ada satu kali operasi crossover. Misalkan P_1 dan P_3 terpilih sebagai parent maka akan kita dapatkan offspring C_1 dan C_2 sebagai berikut:

$$P_1$$
 [0011]
 P_3 [1001]
 C_1 [0001]
 C_2 [1011]

Setiap *offspring* mewarisi susunan gen (*chromosome*) dari induknya. Perhatikan dua bit pertama dari C_1 didapatkan dari P_1 dan sisanya dua bit terakhir dari P_3 . C_2 mewarisi dua bit pertama dari P_3 dan sisanya dua bit terakhir dari P_1 . Metode ini selanjutnya disebut *one-cut-point crossover*.

Jika kita tentukan mr=0,2 maka ada 0,2×4=0,8 (dibulatkan jadi 1) offspring yang dihasilkan dari proses mutasi. Misalkan P_4 terpilih sebagai parent maka akan kita dapatkan offspring ke-3 (C_3) sebagai berikut:

$$P_4$$
 [0101] C_3 [0100]

Perhatikan proses mutasi dilakukan hanya dengan memilih satu gen secara random kemudian mengubah nilainya.

Sekarang kita mempunyai 3 individu dalam penampungan offspring sebagai berikut:

| | chromosome |
|-----------------------|------------|
| C_1 | [0001] |
| C_2 | [1011] |
| <i>C</i> ₃ | [0101] |

2.3.3. Evaluasi

Evaluasi digunakan untuk menghitung kebugaran (*fitness*) setiap *chromosome*. Semakin besar *fitness* maka semakin baik *chromosome* tersebut untuk dijadikan calon solusi.

Karena sebuah *chromosome* selalu memiliki nilai *fitness* dan beberapa properti lain, maka dalam pembahasan berikutnya seringkali digunakan istilah 'individu'. Hal ini bisa

dianalogikan dengan seorang manusia sebagai individu. Dia memiliki tubuh beserta susunan gen pembentuknya (*chromosome*), nama, umur, alamat dan properti lainnya.

Dari proses inisialisasi dan reproduksi kita sekarang mempunyai kumpulan individu sebagai berikut:

| | chromosome | Х | <i>y=f(x)</i> | fitness |
|-----------------------|------------|----|---------------|---------|
| P_1 | [0011] | 3 | 20 | 20 |
| P_2 | [0100] | 4 | 27 | 27 |
| P_3 | [1001] | 9 | 32 | 32 |
| P_4 | [0101] | 5 | 32 | 32 |
| C_1 | [0001] | 1 | 0 | 0 |
| C_2 | [1011] | 11 | 20 | 20 |
| C ₃ | [0100] | 4 | 27 | 27 |

Karena masalah ini adalah pencarian nilai maksimum, maka nilai *fitness* untuk tiap individu bisa dihitung secara langsung *fitness=f(x)*.

2.3.4. Seleksi

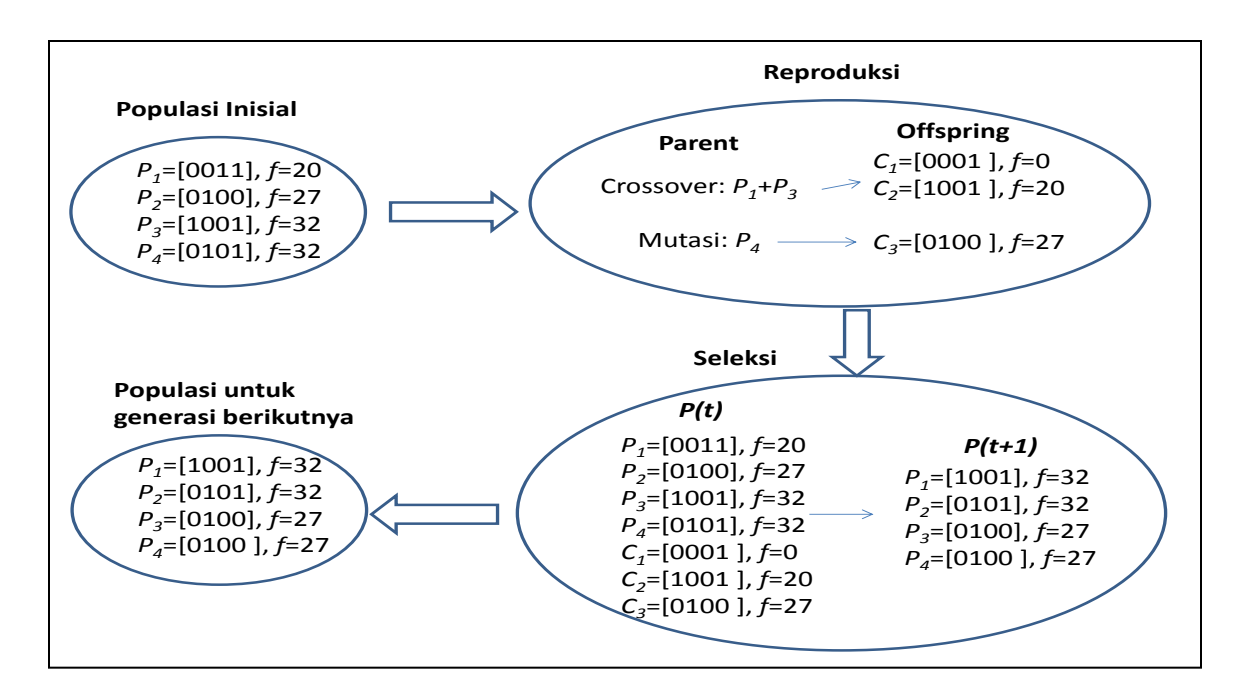
Seleksi dilakukan untuk memilih individu dari himpunan populasi dan *offspring* yang dipertahankan hidup pada generasi berikutnya. Semakin besar nilai *fitness* sebuah *chromosome* maka semakin besar peluangnya untuk terpilih. Hal ini dilakukan agar terbentuk generasi berikutnya yang lebih baik dari generasi sekarang. Metode seleksi yang sering digunakan adalah *roulette wheel*, *binary tournament*, dan *elitism*. Pembahasan metode-metode ini secara detail beserta *pseudo-code* nya ada pada subbab selanjutnya.

Misalkan kita gunakan *elitism selection*. Metode ini memilih *popSize* individu terbaik dari kumpulan individu di populasi (*parent*) dan *offspring*. Dengan cara ini maka P_3 , P_4 , P_2 dan C_3 terpilih. Sekarang kita mempunyai kumpulan individu yang bertahan hidup pada generasi berikutnya sebagai berikut:

| asal pada P(t) | P(t+1) | chromosome | Х | <i>y=f(x)</i> | fitness |
|-----------------------|--------|------------|---|---------------|---------|
| P_3 | P_1 | [1001] | 9 | 32 | 32 |
| P_4 | P_2 | [0101] | 5 | 32 | 32 |
| P_2 | P_3 | [0100] | 4 | 27 | 27 |
| <i>C</i> ₃ | P_4 | [0100] | 4 | 27 | 27 |

Sampai tahap ini kita mempunyai P_1 (atau P_2) sebagai individu terbaik karena mempunyai nilai *fitness* terbesar.

Siklus proses 2 sampai proses 4 ini akan berlangsung berulang kali (sekian generasi) sampai tidak dihasilkan perbaikan keturunan, atau sampai kriteria optimum (f(x) maksimum) ditemukan (tidak ditemukan lagi individu dengan fitness yang lebih baik). Siklus lengkap dari contoh ini ditunjukkan pada Gambar 2.3. Penjelasan berbagai macam kriteria penghentian iterasi GAs diberikan pada $\underline{Sub-Bab}$ 2.5.



Gambar 2.3. Siklus Algoritma Genetika

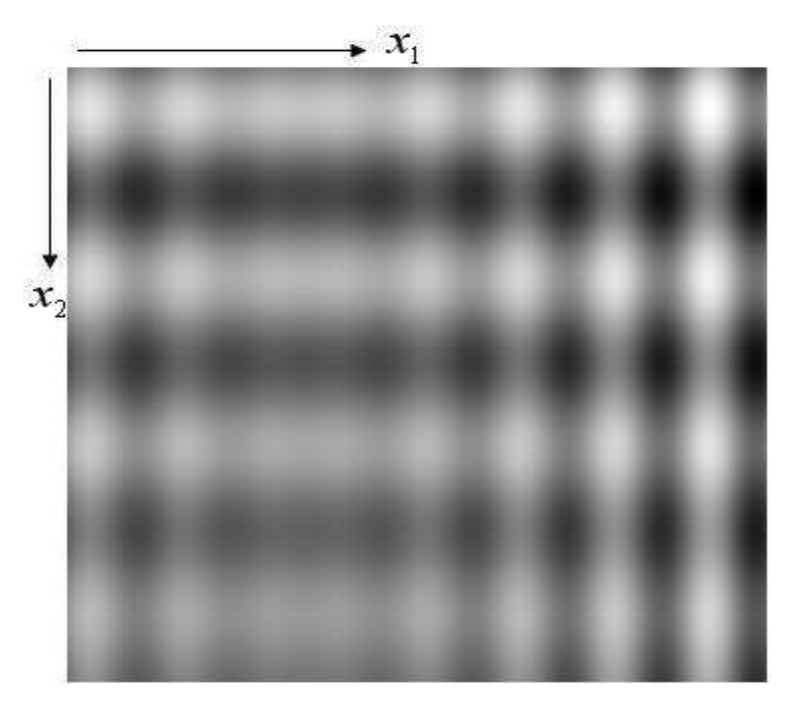
2.4. Studi Kasus: Maksimasi Fungsi dengan Presisi Tertentu

Untuk memperjelas uraian pada Sub-Bab 2.3 dan bagaimana menangani angka pecahan (desimal) serta penggunaan seleksi *roulette wheel* maka diberikan lagi contoh sederhana masalah maksimasi (mencari nilai maksimum) dari sebuah fungsi sebagai berikut:

$$\max f(x_1, x_2) = 19 + x_1 \sin(x_1 \pi) + (10 - x_2) \sin(x_2 \pi)$$

$$-5, 0 \le x_1 \le 9, 8, \quad 0, 0 \le x_2 \le 7, 3$$
(2.2)

Plotting dua dimensi dari fungsi ini ditunjukkan pada Gambar 2.4. Warna putih menunjukkan nilai fungsi yang lebih besar. Perhatikan bahwa fungsi ini mempunyai banyak nilai maksimum lokal.



Gambar 2.4. Plotting 2D fungsi contoh (2.2)

2.4.1. Representasi Chromosome

Dalam kasus ini variabel keputusan (x_1 dan x_2) dikodekan dalam string *chromosome* biner. Panjang string *chromosome* tergantung pada presisi yang dibutuhkan. Misalkan domain variabel x_j adalah [a_j , b_j] dan presisi yang dibutuhkan adalah d angka di belakang titik desimal, maka interval dari domain tiap variabel setidaknya mempunyai lebar (b_j - a_j)×10 d . Banyaknya bit yang dibutuhkan (m_j) untuk variabel x_j adalah (Gen & Cheng 1997):

$$(b_j - a_j) \times 10^d \le 2^{m_j} - 1 \tag{2.3}$$

Konversi (decoding) dari substring biner menjadi bilangan real untuk variabel x_j adalah sebagai berikut:

$$x_{j} = a_{j} + decimal(substring) \frac{b_{j} - a_{j}}{2^{m_{j}} - 1}$$
(2.4)

decimal(substring) merepresentasikan nilai desimal dari substring bagi variabel keputusan x_i .

Contoh:

Misalkan untuk variabel x_1 dan x_2 kita tentukan mempunyai ketelitian 4 angka di belakang titik desimal, maka kebutuhan bit untuk kedua variabel tersebut adalah:

$$(9.8 - (-5)) \times 10^{4} \le 2^{m_{1}} - 1$$

$$148.001 \le 2^{m_{1}} \rightarrow m_{1} = 18$$

$$(7.3 - 0) \times 10^{4} \le 2^{m_{2}} - 1$$

$$73.001 \le 2^{m_{2}} \rightarrow m_{2} = 17$$

Maka panjang string *chromosome* adalah $m_1 + m_2 = 35$. Misalkan sebuah string *chromosome* yang dibangkitkan secara random adalah sebagai berikut:

Maka chromosome tersebut bisa diuraikan (decoding) sebagai berikut:

| | angka biner | angka desimal |
|-----------------------|--------------------|---------------|
| X ₁ | 011010101010110001 | 109.233 |
| <i>X</i> ₂ | 00010010001001000 | 9.288 |

$$x_1 = -5 + 109.233 \times \frac{9,8 - (-5)}{2^{18} - 1} = 1,1670$$

$$x_2 = 0 + 9.288 \times \frac{7,3-(0)}{2^{17}-1} = 0,5173$$

2.4.2. Inisialisasi

Populasi inisial dibangkitkan secara random. Misalkan ditentukan *popSize*=10 maka akan dihasilkan populasi seperti contoh berikut:

| | chromosome | <i>X</i> ₁ | X ₂ | $f(x_1,x_2)$ |
|-------|--|-----------------------|----------------|--------------|
| P_1 | [001100000100000010100101111111111010] | -2,2104 | 4,3341 | 25,2705 |
| P_2 | [100111101111011111111110110100011111] | 4,1904 | 7,0309 | 21,0716 |

```
P_3
                                                        2,4627 26,3991
      [101011010001000101010101110010111001]
                                               5,0055
P_4
                                                        2,4092 28,7747
      [10000001100101010101010100011111001]
                                               2,4915
P_5
     [10010001001011001010110111000110010]
                                               3,3929
                                                        5,2212 12,7376
P_6
      [000111000001000101010101110001011101]
                                              -3,3773
                                                        2,4575 23,3457
P_7
     [10101101000110011100011010001011101]
                                               5,0074
                                                        0,7466 25,4962
P_8
      [0001110000010001010101011100111001]
                                              -3,3773
                                                        2,4575 23,3457
P_9
      [001100000110000010100101111111111010]
                                              -2,2032
                                                        4,3341 25,2263
     [10101101000110011100011010001011101]
                                               5,0074
                                                        0,7466 25,4962
P_{10}
                                                      Rata-Rata
                                                                 23,7163
```

Nilai x_1 , x_2 , dan $f(x_1,x_2)$ didapatkan melalui proses decoding. Perhitungan fitness akan dijelaskan pada <u>Sub-Bab 2.4.4</u>. Individu terbaik pada populasi inisial ini adalah P₄ dengan fitness= $f(x_1,x_2)$ = 28,7747.

2.4.3. Reproduksi

Crossover dilakukan dengan memilih dua induk (*parent*) secara acak dari populasi. Metode *crossover* yang digunakan adalah metode *one-cut-point*, yang secara acak memilih satu titik potong dan menukarkan bagian kanan dari tiap induk untuk menghasilkan *offspring*.

Misalkan yang terpilih sebagai induk adalah P_6 dan P_2 . Titik potong (*cut point*) adalah titik 2. Maka akan dihasilkan dua *offspring* (C_1 dan C_2) sebagai berikut:

↓ titik potong

```
P<sub>6</sub>  [00 0111000001000101010101010001011101]
P<sub>2</sub>  [10 011110111111111111110110100011111]

C<sub>1</sub>  [00 0111101111011111111110110100011111]
C<sub>2</sub>  [10 0111000001000101010101011100111101]
```

Jika kita tentukan *cr*=0,4 maka ada 0,4×10=4 *offspring* yang dihasilkan. Karena setiap *crossover* menghasilkan dua anak maka ada dua kali operasi *crossover*.

Misalkan yang terpilih sebagai induk pada *crossover* ke-2 adalah P_9 dan P_7 . Titik potong (*cut point*) adalah titik 11. Maka akan dihasilkan dua *offspring* (C_3 dan C_4) sebagai berikut:

```
C_3 [00110000011110011100011010001011101]

C_4 [101011010000000010100101111111111010]
```

Mutasi dilakukan dengan memilih satu induk secara acak dari populasi. Metode mutasi yang digunakan adalah dengan memilih satu titik acak kemudian mengubah nilai gen pada titik tersebut.

Misalkan yang terpilih sebagai induk adalah P_9 . Titik acak yang terpilih adalah 18. Maka akan dihasilkan offspring (C_5) sebagai berikut:

```
titik terpilih \downarrow

P_9 [00110000011000001\underline{\mathbf{0}}100101111111111010]

C_5 [00110000011000001\underline{\mathbf{1}}10010111111111010]
```

Anggap kita tentukan mr=0,2 maka ada 0,2×10=2 offspring yang dihasilkan dari proses mutasi. Misalkan yang terpilih sebagai induk pada mutasi ke-2 adalah P_1 dan titik acak yang terpilih adalah 19 maka akan dihasilkan offspring (C_6) sebagai berikut:

$$C_6$$
 [00110000010000010000101111111111010]

Keseluruhan *offspring* yang dihasilkan dari proses reproduksi (*crossover* dan mutasi) adalah sebagai berikut:

| - | |
|-----------------------|--|
| | chromosome |
| C_1 | [000111101111011111111110110100011111] |
| C_2 | [10011100000100010101010110001011101] |
| C ₃ | [00110000011110011100011010001011101] |
| C_4 | [101011010000000010100101111111111010] |
| C ₅ | [001100000110000011100101111111111010] |
| C_6 | [00110000010000010000101111111111010] |

Perhatikan bahwa sekarang kita mempunyai 16 individu (10 dari populasi awal ditambah 6 offspring).

2.4.4. Evaluasi

Evaluasi dilakukan terhadap keseluruhan 16 individu dengan cara:

- Mengubah/memetakan setiap string biner menjadi variabel x_1 dan x_2 .
- Menghitung nilai fungsi obyektive $f(x_1, x_2)$.

Konversi nilai $f(x_1,x_2)$ menjadi nilai *fitness*. Karena masalah ini adalah pencarian nilai maksimum, maka nilai *fitness* untuk tiap individu bisa dihitung secara langsung sebagai berikut:

$$fitness = f(x_1, x_2) \tag{2.5}$$

Untuk masalah pencarian nilai minimum maka bisa digunakan rumusan (2.6) atau (2.7). *C* pada (2.6) merupakan nilai konstan yang harus ditetapkan sebelumnya. Penggunaan (2.7) harus dilakukan secara hati-hati untuk memastikan tidak terjadi pembagian dengan nol.

$$fitness = C - f(X) \tag{2.6}$$

$$fitness = \frac{1}{f(X)} \tag{2.7}$$

2.4.5. Seleksi

Seleksi dilakukan untuk memilih 10 dari 16 individu yang dipertahankan hidup pada generasi berikutnya. Metode yang digunakan adalah *roulette wheel*. Pendekatan ini dilakukan dengan menghitung nilai probabilitas seleksi (*prob*) tiap individu berdasarkan nilai fitnessnya. Dari nilai *prob* ini bisa dihitung probabilitas kumulatif (*probCum*) yang digunakan pada proses seleksi tiap individu.

Langkah-langkah membentuk roulette wheel berdasarkan probabilitas kumulatif adalah:

Misalkan fitness(P_k) adalah nilai fitness individu ke-k. Maka bisa dihitung total fitness
 sebagai berikut:

$$totalFitness = \sum_{k=1}^{popSize} fitness(P_k)$$

Perhatikan bahwa nilai popSize sekarang adalah 16.

Hitung nilai probabilitas seleksi (prob) tiap individu:

$$prob_k = \frac{fitness(P_k)}{totalFitness}, \qquad k = 1, 2, ..., popSize$$

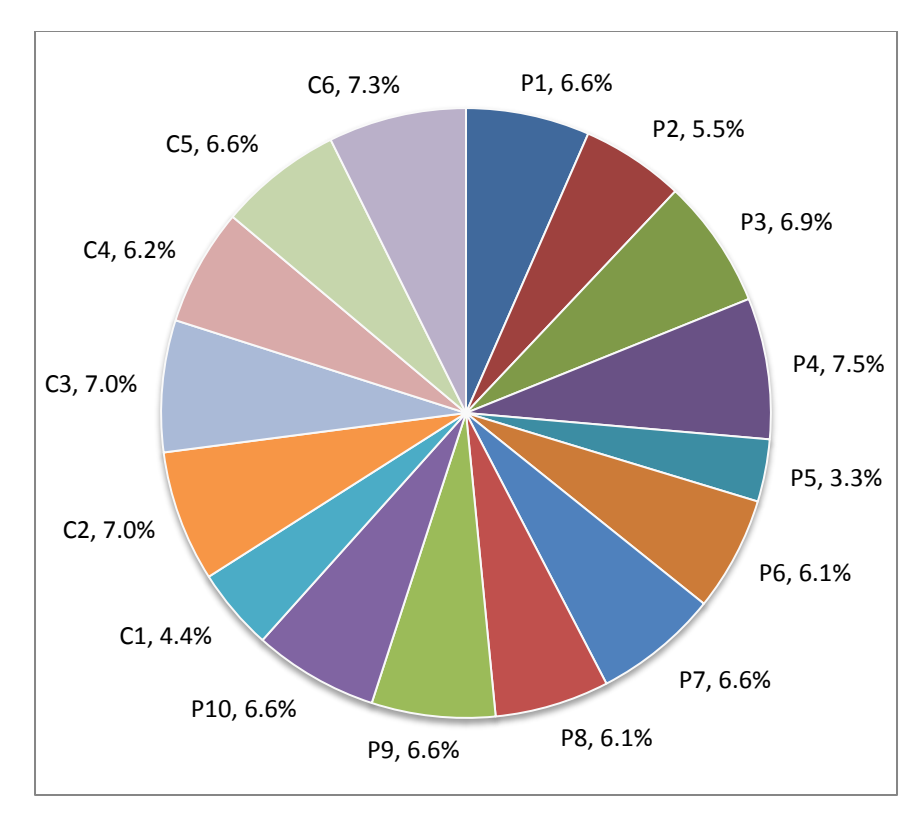
Hitung nilai probabilitas kumulatif (probCum) tiap individu:

$$probCum_k = \sum_{j=1}^{k} prob_j$$
, $k = 1,2,...,popSize$

Dari proses evaluasi dan perhitungan probabilitas kumulatif, kita sekarang mempunyai kumpulan individu sebagai berikut:

| | <i>X</i> ₁ | <i>X</i> ₂ | $f(x_1,x_2)$ | fitness | prob | probCum |
|-----------------------|-----------------------|-----------------------|--------------|----------|--------|---------|
| $\overline{P_1}$ | -2,2104 | 4,3341 | 25,2705 | 25,2705 | 0,0657 | 0,0657 |
| P_2 | 4,1904 | 7,0309 | 21,0716 | 21,0716 | 0,0548 | 0,1204 |
| P_3 | 5,0055 | 2,4627 | 26,3991 | 26,3991 | 0,0686 | 0,1890 |
| P_4 | 2,4915 | 2,4092 | 28,7747 | 28,7747 | 0,0748 | 0,2638 |
| P_5 | 3,3929 | 5,2212 | 12,7376 | 12,7376 | 0,0331 | 0,2969 |
| P_6 | -3,3773 | 2,4575 | 23,3457 | 23,3457 | 0,0607 | 0,3576 |
| P_7 | 5,0074 | 0,7466 | 25,4962 | 25,4962 | 0,0663 | 0,4238 |
| P_8 | -3,3773 | 2,4575 | 23,3457 | 23,3457 | 0,0607 | 0,4845 |
| P_9 | -2,2032 | 4,3341 | 25,2263 | 25,2263 | 0,0656 | 0,5500 |
| P_{10} | 5,0074 | 0,7466 | 25,4962 | 25,4962 | 0,0663 | 0,6163 |
| C_1 | -3,2097 | 7,0309 | 16,7478 | 16,7478 | 0,0435 | 0,6598 |
| C_2 | 4,0227 | 2,4575 | 26,7618 | 26,7618 | 0,0695 | 0,7293 |
| C ₃ | -2,1975 | 0,7466 | 26,8905 | 26,8905 | 0,0699 | 0,7992 |
| C_4 | 5,0017 | 4,3341 | 23,8865 | 23,8865 | 0,0621 | 0,8613 |
| C ₅ | -2,2031 | 4,3341 | 25,2259 | 25,2259 | 0,0655 | 0,9268 |
| C_6 | -2,2104 | 0,684 | 28,1587 | 28,1587 | 0,0732 | 1,0000 |
| | | Total | | 384,8348 | | |

Dengan nilai probabilitas seleksi (*prob*) tiap individu maka kita mempunyai *roulette* wheel sebagai berikut:



Gambar 2.5. Roulette wheel peluang terpilihnya setiap individu

Perhatikan ukuran tiap potongan pie pada Gambar 2.5 adalah sesuai dengan probabilitas (*prob* x 100%) terpilihnya setiap individu.

Sekarang waktunya memutar *roulette wheel* untuk memilih setiap individu dengan langkah-langkah berikut:

- Bangkitkan r bilangan random pada range [0,1].
- Pilih/cek nilai k mulai dari 1 sampai popSize sehingga r≤probCum_k.
 Misal r=0,5210 maka k=9, artinya individu yang ke-9 terpilih. Hasil selengkapnya bisa dilihat sebagai berikut:

| P(t+1) | random | k | individu terpilih | chromosome | fitness |
|--------|--------|----|-----------------------|--|---------|
| P_1 | 0,5210 | 9 | P_9 | [001100000110000010100101111111111010] | 25,2263 |
| P_2 | 0,4307 | 8 | P_8 | [000111000001000101010101110001011101] | 23,3457 |
| P_3 | 0,5297 | 9 | P_9 | [001100000110000010100101111111111010] | 25,2263 |
| P_4 | 0,9050 | 15 | C ₅ | [001100000110000011100101111111111010] | 25,2259 |
| P_5 | 0,0745 | 2 | P_2 | [100111101111011111111110110100011111] | 21,0716 |
| P_6 | 0,0900 | 2 | P_2 | [100111101111011111111110110100011111] | 21,0716 |
| P_7 | 0,7803 | 13 | C ₃ | [00110000011110011100011010001011101] | 26,8905 |
| | | | | | |

| P_8 | 0,4032 | 7 | P_7 | [10101101000110011100011010001011101] | 25,4962 |
|----------|--------|---|-------|--|---------|
| P_9 | 0,1680 | 3 | P_3 | [101011010001000101010101110010111001] | 26,3991 |
| P_{10} | 0,4594 | 8 | P_8 | [000111000001000101010101110001011101] | 23,3457 |

Sekarang kita telah menyelesaikan satu iterasi (generasi) dengan individu terbaik adalah P_7 dengan fitness=26,8905 yang bisa diuraikan (*decoding*) sebagai berikut:

$$x_1 = -2,1975$$

$$x_2 = 0,7466$$

$$f(x_1, x_2) = 26,8905$$

Perhatikan individu terbaik pada generasi ke-1 (*fitness*=26,8905) ini lebih buruk dari pada individu terbaik pada populasi inisial (*fitness*=28,7747). Ingat dengan mekanisme *roulette wheel* maka individu dengan fitness lebih besar akan mempunyai peluang lebih besar untuk terpilih. Karena berupa peluang maka tidak menjamin bahwa individu terbaik akan selalu terpilih untuk masuk pada generasi berikutnya. Pada implementasi program komputer, individu terbaik ini disimpan pada variabel tersendiri untuk menghindari kemungkinan tereliminasi pada proses seleksi.

Program uji telah dijalankan sampai generasi ke-1000 dan hasil terbaik didapatkan pada generasi ke-322 sebagai berikut:

chromosome: [11101001110000011100010000110010110]

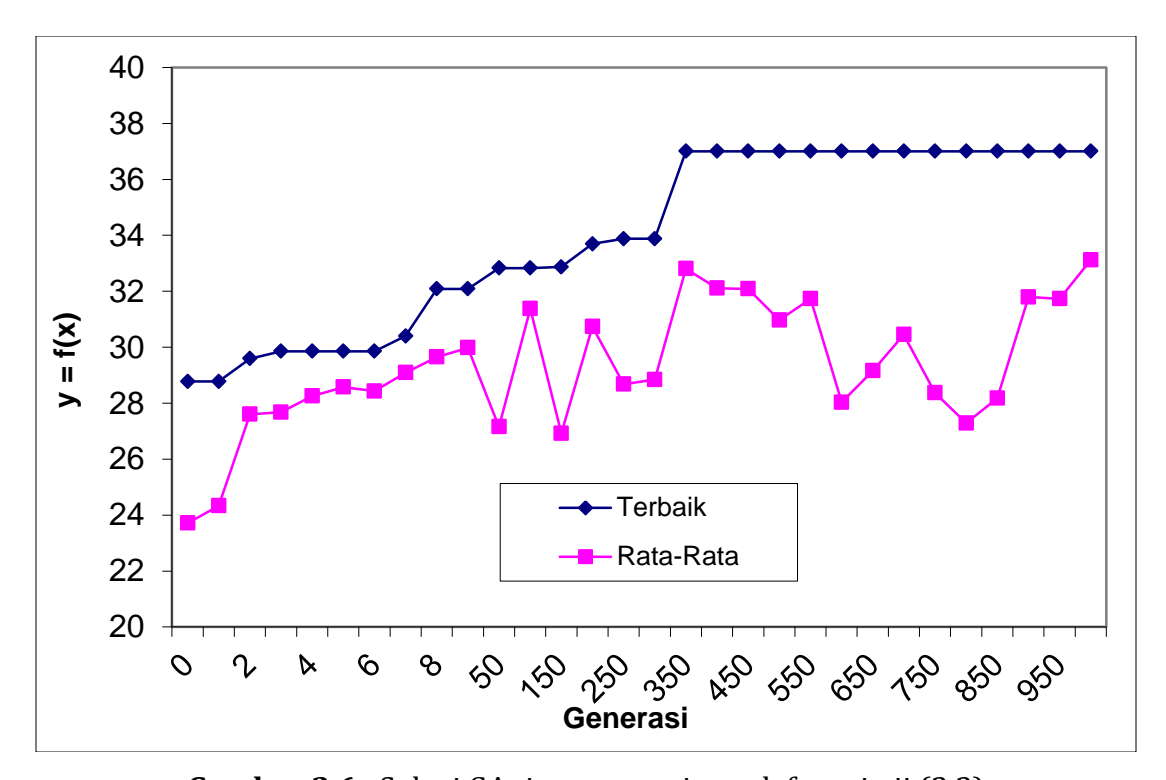
$$x_1 = 8,5141$$

$$x_2 = 0,4789$$

$$f(x_1, x_2) = 37,0059$$

Hasil untuk beberapa generasi telah ditabelkan dan dibuat grafiknya pada Gambar 2.6 untuk menunjukkan solusi yang dicapai oleh GA sampai generasi ke-1000. Perhatikan bahwa nilai rata-rata fungsi obyektif bersifat fluktuatif tapi cenderung naik sepanjang generasi.

| ganarasi | f(x | ₁ ,x ₂) | ganarasi | $f(x_1,x_2)$ | |
|----------|---------|--------------------------------|----------|--------------|-----------|
| generasi | terbaik | rata-rata | generasi | terbaik | rata-rata |
| 0 | 28,7747 | 23,7164 | 300 | 33,8751 | 28,8446 |
| 1 | 28,7747 | 24,3299 | 350 | 37,0059 | 32,8052 |
| 2 | 29,5915 | 27,6008 | 400 | 37,0059 | 32,1089 |
| 3 | 29,8536 | 27,6772 | 450 | 37,0059 | 32,0864 |
| 4 | 29,8536 | 28,2518 | 500 | 37,0059 | 30,9705 |
| 5 | 29,8536 | 28,5771 | 550 | 37,0059 | 31,7303 |
| 6 | 29,8536 | 28,4292 | 600 | 37,0059 | 28,0305 |
| 7 | 30,4004 | 29,0905 | 650 | 37,0059 | 29,1582 |
| 8 | 32,0874 | 29,6504 | 700 | 37,0059 | 30,4500 |
| 9 | 32,0874 | 29,9816 | 750 | 37,0059 | 28,3685 |
| 50 | 32,8296 | 27,1568 | 800 | 37,0059 | 27,2866 |
| 100 | 32,8296 | 31,3788 | 850 | 37,0059 | 28,1736 |
| 150 | 32,8699 | 26,9207 | 900 | 37,0059 | 31,7932 |
| 200 | 33,6935 | 30,7364 | 950 | 37,0059 | 31,7336 |
| 250 | 33,8751 | 28,6786 | 1000 | 37,0059 | 33,1172 |



Gambar 2.6. Solusi GA tiap generasi untuk fungsi uji (2.2)

2.5. Kondisi Berhenti (Termination Condition)

Iterasi GAs diulang terus sampai kondisi berhenti tercapai. Beberapa kriteria bisa dipakai untuk hal ini sebagai berikut:

- Iterasi berhenti sampai generasi n. Nilai n ditentukan sebelumnya berdasarkan beberapa eksperimen pendahuluan. Semakin tinggi ukuran dan kompleksitas masalah maka nilai n semakin besar. Nilai n ditentukan sedemikian rupa sehingga konvergensi populasi tercapai dan akan sulit didapatkan solusi yang lebih baik setelah n iterasi (Yogeswaran, Ponnambalam & Tiwari 2009).
- Iterasi berhenti setelah n generasi berurutan tidak dijumpai solusi yang lebih baik (Mahmudy, Marian & Luong 2012b). Kondisi ini menunjukkan bahwa GAs sulit mendapatkan solusi yang lebih baik dan penambahan iterasi hanya membuang waktu.
- 3. Iterasi berhenti setelah *t* satuan waktu tercapai. Ini biasa digunakan jika diinginkan untuk membandingkan performa dari beberapa algoritma (Mahmudy 2014a).

Dalam implementasi praktis, kombinasi kondisi (1) dan (2) bisa dipakai (Mahmudy, Marian & Luong 2013b).

2.6. Rangkuman

Pada bab ini telah dibahas struktur GAs beserta siklusnya. GAs merupakan sub-kelas paling popular dari algoritma evolusi. Kelebihan GAs sebagai metode optimasi dirangkumkan dari berbagai sumber literatur.

Studi kasus maksimasi fungsi sederhana diberikan untuk memperjelas beberapa tahapan dalam penyelesaian masalah menggunakan GAs yang meliputi inisialisasi chromosome, proses reproduksi menggunakan *crossover* dan mutasi, evaluasi chromosome menggunakan fungsi fitness, dan proses seleksi menggunakan metode *elitism*. Satu metode crossover untuk representasi biner, *one-cut-point crossover*, dikenalkan pada Sub-Bab 2.3.2.

Satu kasus lagi diberikan pada <u>Sub-Bab 2.4</u> untuk menjelaskan bagaimana menangani angka pecahan (desimal) serta penggunaan seleksi *roulette wheel*.

2.7. Latihan

Untuk memperjelas pemahaman anda, kerjakanlah latihan berikut sebisa mungkin tanpa melihat materi pada buku!

- 1. Sebutkan semua proses utama dalam siklus algoritma genetika?
- 2. Jelaskan keunggulan algoritma genetika sebagai algoritma yang berbasis populasi!
- 3. Jelaskan apa yang dimaksud dengan algoritma genetika bersifat ergodic?
- 4. Iterasi GAs diulang terus sampai kondisi berhenti tercapai. Jelaskan beberapa kriteria untuk hal ini?
- 5. Misalkan P_1 dan P_2 adalah *parent* untuk proses crossover. Tentukan offspring yang terbentuk jika dilakukan *one-cut-point crossover* pada titik ke-5.

$$P_1$$
 [0011001] P_2 [1001111]

6. Misalkan *P* adalah *parent* untuk proses mutasi. Tentukan offspring yang terbentuk jika dilakukan mutasi pada titik ke-5.

7. Untuk masalah maksimasi (mencari nilai maksimum) dari sebuah fungsi sebagai berikut

$$\max y = f(x) = -\frac{x^2}{2} + 4x + 40, \quad 0 \le x \le 15$$

Lengkapi tabel berikut:

| | chromosome | Х | <i>y=f(x)</i> | fitness |
|-------|------------|---|---------------|---------|
| P_1 | [0001] | | | |
| P_2 | [1100] | | | |
| P_3 | [1011] | | | |
| P_4 | [1111] | | | |

8. Untuk fungsi uji (2.2) maksimasi fungsi dengan presisi tertentu, lengkapi tabel berikut:

| chromosome | <i>X</i> ₁ | <i>X</i> ₂ | $f(x_1,x_2)$ |
|------------|-----------------------|-----------------------|--------------|
| | | | |

- P_1 [10101101000110011100011010001011101]
- P_2 [00011100000100010101010110001011101]
- P_3 [001100000110000010100101111111111010]
- P_4 [10101101000110011100011010001011101]
- 9. Pada table berikut *P* menunjukkan *parent* dan *C* menunjukkan *offspring*. Untuk seleksi *roulette wheel*, lengkapi kolom untuk probabilitas dan probabilitas kumulatif!

| | fitness | prob | probCum |
|-------|---------|------|---------|
| P_1 | 25,2705 | | |
| P_2 | 21,0716 | | |
| P_3 | 26,3991 | | |
| P_4 | 28,7747 | | |
| C_1 | 12,7376 | | |
| C_2 | 23,3457 | | |

- 10. Untuk soal no. 9, tentukan empat individu yang terpilih jika diberikan angka random 0,5342, 0,2189, 0,1987, dan 0,8652!
- 11. Untuk fungsi uji (2.2), jika variabel x_1 dan x_2 kita tentukan mempunyai ketelitian 5 angka di belakang titik desimal, hitung kebutuhan bit untuk kedua variabel tersebut!

BAB3

Algoritma Genetika dengan Pengkodean Real (*Real-Coded GA/RCGA*)

Kelemahan algoritma genetika dengan pengkodean biner jika digunakan pada optimasi fungsi adalah tidak bisa menjangkau beberapa titik solusi jika range solusi berada dalam daerah kontiyu. Selain itu, pada optimasi fungsi yang kompleks dan membutuhkan banyak generasi, operasi transformasi biner ke bilangan desimal (real) dan sebaliknya sangat menyita waktu. Pengkodean real (*real-coded genetic algorithms, RCGA*) bisa menyelesaikan masalah ini (Herrera, Lozano & Verdegay 1998). Dengan fungsi yang sama pada Sub-Bab 2.4 akan diberikan contoh bagaimana *RCGA* bekerja.

3.1. Siklus RCGA

Sub-bab ini membahas secara detail siklus RCGA.

3.1.1. Representasi Chromosome

Dalam kasus ini variabel keputusan (x_1 dan x_2) langsung menjadi gen string *chromosome*, sehingga panjang string *chromosome* adalah 2.

3.1.2. Inisialisasi

Populasi inisial dibangkitkan secara random. Misalkan ditentukan *popSize*=10 maka akan dihasilkan populasi sebagai berikut:

| | chromo | | |
|-------|-----------------------|-----------------------|--------------|
| | <i>X</i> ₁ | <i>X</i> ₂ | $f(x_1,x_2)$ |
| P_1 | 1,4898 | 2,0944 | 19,8206 |
| P_2 | 8,4917 | 2,5754 | 34,7058 |
| P_3 | 1,4054 | 6,3035 | 20,6707 |
| P_4 | 5,8114 | 5,0779 | 14,5624 |
| P_5 | -1,8461 | 1,7097 | 11,5858 |
| P_6 | 4,0206 | 4,4355 | 24,7106 |
| P_7 | -0,1634 | 2,974 | 19,653 |

| P_8 | 5,2742 | 0,7183 | 22,1813 |
|----------|---------|--------|---------|
| P_9 | 9,4374 | 6,6919 | 12,4694 |
| P_{10} | -4,5575 | 0,1679 | 28,4324 |

3.1.3. Reproduksi

Crossover dilakukan dengan memilih dua induk (*parent*) secara acak dari populasi. Metode *crossover* yang digunakan adalah *extended intermediate crossover* (Muhlenbein & Schlierkamp-Voosen 1993) yang menghasilkan *offspring* dari kombinasi nilai dua induk. Misalkan P_1 dan P_2 adalah dua kromosom yang telah diseleksi untuk melakukan crossover, maka offspring C_1 dan C_2 bisa dibangkitkan sebagai berikut:

$$C_1 = P_1 + a (P_2 - P_1)$$

$$C_2 = P_2 + a (P_1 - P_2)$$

a dipilih secara acak pada interval [-0,25, 1,25].

Misalkan yang terpilih sebagai induk adalah P_4 dan P_9 , α =[0,1104, 1,2336] maka akan dihasilkan dua offspring (C_1 dan C_2) sebagai berikut:

$$C_1$$
: $x_1 = 5,8114 + 0,1104 (9,4374-5,8114) = 6,2118$
 $x_2 = 5,0779 + 1,2336 (6,6919-5,0779) = 7,0690$
 C_2 : $x_1 = 9,4374 + 0,1104 (5,8114-9,4374) = 9,0370$
 $x_2 = 6,6919 + 1,2336 (5,0779-6,6919) = 4,7008$

Jika kita tentukan pc=0,4 maka ada 0,4×10=4 offspring yang dihasilkan. Karena setiap crossover menghasilkan dua anak maka ada dua kali operasi crossover. Anggap dua offspring berikutnya adalah C_3 dan C_4 .

Mutasi dilakukan dengan memilih satu induk secara acak dari populasi. Metode mutasi yang digunakan adalah *random mutation* yang dilakukan dengan menambah atau mengurangi nilai gen terpilih dengan bilangan random yang kecil. Misalkan domain

variabel x_j adalah $[min_j, max_j]$ dan offspring yang dihasilkan adalah $C=[x'_1...x'_n]$, maka nilai gen offspring bisa dibangkitkan sebagai berikut:

$$x'_i = x'_i + r (max_i - min_i)$$

range *r* misalkan [-0,1, 0,1].

Misalkan yang terpilih sebagai induk adalah P_2 , gen yang terpilih nomer 2 (x_2) dan r=-0,0584. Maka akan dihasilkan *offspring* (C_5) sebagai berikut:

$$C_5$$
: x_1 = 8,4917 (tetap)
$$x_2$$
= 2,5754 - 0,0584 (7,3-0,0) = 2,1491

Anggap kita tentukan pm=0,2 maka ada 0,2×10=2 offspring yang dihasilkan dari proses mutasi. Anggap offspring berikutnya adalah C_6 .

Keseluruhan *offspring* yang dihasilkan dari proses reproduksi (*crossover* dan mutasi) adalah sebagai berikut:

| | chromo | f/v v l | |
|-----------------------|---------|-----------------------|--------------|
| | x_1 | <i>X</i> ₂ | $f(x_1,x_2)$ |
| C_1 | 6,2118 | 7,0690 | 22,2048 |
| C_2 | 9,0370 | 4,7008 | 22,2313 |
| C ₃ | 7,1636 | 0,0000 | 15,4774 |
| C_4 | 7,5479 | 7,3000 | 9,3531 |
| C ₅ | 8,4917 | 2,1494 | 31,0389 |
| C_6 | -1,1238 | 1,7097 | 12,0177 |

Perhatikan bahwa sekarang kita mempunyai 16 individu (10 dari populasi mula-mula ditambah 6 offspring)

3.1.4. Seleksi

Seleksi dilakukan untuk memilih 10 dari 16 individu yang dipertahankan hidup pada generasi berikutnya. Metode yang digunakan adalah tournament selection. Pendekatan ini dilakukan dengan mengambil secara acak sejumlah kecil individu (biasanya 2, disebut binary tournament selection) dari penampungan populasi dan offspring. Satu individu dengan nilai fitness lebih besar akan terpilih untuk masuk populasi berikutnya. Langkah

ini diulangi sampai terpenuhi *popSize* individu terpilih. Pseudo-code *binary tournament* selection disajikan pada Gambar 3.1 sebagai berikut:

```
PROCEDURE BinaryTournamentSelection
Input:
    POP:
               himpunan individu pada populasi
    pop size: ukuran populasi
             himpunan individu anak (offspring) hasil reproduksi
              menggunakan crossover and mutasi
             banyaknya offspring
    ns:
Output:
    POP:
             himpunan individu pada populasi setelah proses
              seleksi selesai
FOR i=1 TO ns DO
   /* pilih satu individu pada POP secara acak */
  p = Random (1, pop size)
  IF Fitness (OS_i) > Fitness (POP_p) THEN
      POP_p \leftarrow OS_i
  END IF
END FOR
END PROCEDURE
```

Gambar 3.1. Pseudo-code binary tournament selection

Selengkapnya hasil seleksi ini adalah:

| D/+ . 4.) | individu | individu | individu | £:4 |
|-----------------|-----------------|-----------------|-----------------|---------|
| P(t+1) | pertama | kedua | terpilih | fitness |
| P_1 | P_4 | P_9 | P_4 | 14,5624 |
| P_2 | P_1 | P_{10} | P_{10} | 28,4324 |
| P_3 | P_1 | C_{11} | C ₁₁ | 22,2048 |
| P_4 | C ₁₃ | C ₁₆ | C ₁₃ | 15,4774 |
| P_5 | C ₁₃ | P_9 | C ₁₃ | 15,4774 |
| P_6 | P_4 | P_3 | P_3 | 20,6707 |
| P_7 | P_1 | C ₁₅ | C ₁₅ | 31,0389 |
| P_8 | P_7 | C ₁₃ | P_7 | 19,6530 |
| P_9 | P_8 | P_6 | P_6 | 24,7106 |
| P ₁₀ | P_4 | C ₁₁ | C ₁₁ | 22,2048 |

Program uji telah dijalankan sampai generasi ke-1000 dan hasil terbaik didapatkan pada generasi ke-847 sebagai berikut:

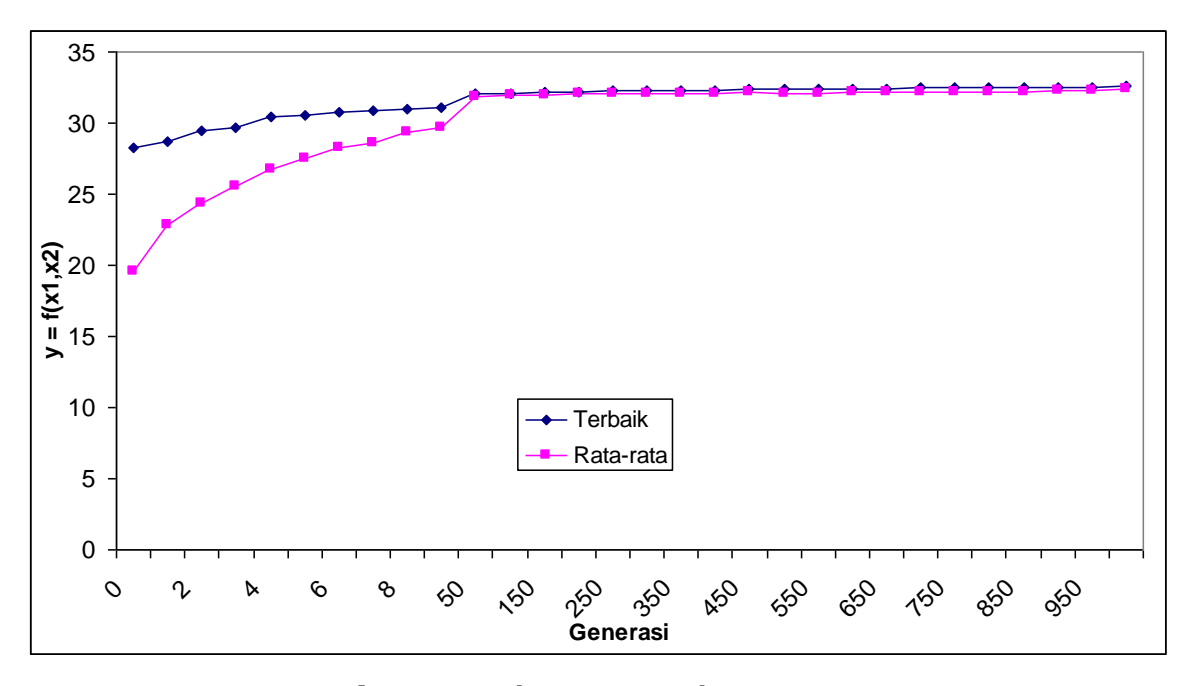
$$x_1 = 8,5113$$

$$x_2 = 2,4865$$

$$f(x_1, x_2) = 35,0127$$

Hasil untuk beberapa generasi telah ditabelkan dan dibuat grafiknya pada Gambar 3.2 untuk menunjukkan solusi yang dicapai oleh GA sampai generasi ke-1000.

| gonoraci | generasi $\frac{f(x_1,x_2)}{g(x_1,x_2)}$ gene | | gonoraci | $f(x_1,x_2)$ | | |
|----------|---|-----------|----------|--------------|---------|-----------|
| generasi | terbaik | rata-rata | | generasi | terbaik | rata-rata |
| 0 | 28,3061 | 19,5587 | | 300 | 32,2609 | 32,0358 |
| 1 | 28,6909 | 22,8057 | | 350 | 32,2610 | 32,0586 |
| 2 | 29,4916 | 24,3434 | | 400 | 32,2818 | 32,0519 |
| 3 | 29,6801 | 25,4945 | | 450 | 32,3695 | 32,1262 |
| 4 | 30,4030 | 26,6921 | | 500 | 32,3695 | 32,0759 |
| 5 | 30,5790 | 27,5221 | | 550 | 32,3696 | 32,0937 |
| 6 | 30,7323 | 28,2436 | | 600 | 32,3757 | 32,1531 |
| 7 | 30,8796 | 28,6316 | | 650 | 32,4447 | 32,1509 |
| 8 | 30,9930 | 29,3526 | | 700 | 32,4711 | 32,2167 |
| 9 | 31,0899 | 29,6470 | | 750 | 32,4711 | 32,2074 |
| 50 | 32,0672 | 31,8526 | | 800 | 32,4712 | 32,1594 |
| 100 | 32,1134 | 31,9385 | | 850 | 32,4712 | 32,2035 |
| 150 | 32,1303 | 31,9970 | | 900 | 32,5104 | 32,2639 |
| 200 | 32,1990 | 32,0365 | | 950 | 32,5508 | 32,2895 |
| 250 | 32,2386 | 32,0225 | | 1000 | 32,5631 | 32,3744 |



Gambar 3.2. Solusi RCGA pada tiap generasi

Perhatikan ada masalah serius di sini yaitu hasil yang dicapai tidak sebaik representasi biner karena menggunakan seleksi *tournament* pada pengkodean real ternyata menyebabkan terjadinya konvergensi dini. Mulai generasi ke-50 hampir semua individu bernilai sama, perhatikan kondisi populasi pada generasi ke-1000:

| | chromo | $f(x_1,x_2)$ | |
|-----------------|--------|-----------------------|----------|
| | x_1 | <i>X</i> ₂ | J(*1,*2) |
| P_1 | 8,5113 | 2,4865 | 35,0127 |
| P_2 | 8,5113 | 2,4865 | 35,0127 |
| P_3 | 8,5113 | 2,4865 | 35,0127 |
| P_4 | 8,5113 | 2,4865 | 35,0127 |
| P_5 | 8,5113 | 2,4865 | 35,0127 |
| P_6 | 8,5113 | 2,7325 | 32,9188 |
| P_7 | 8,5113 | 2,4865 | 35,0127 |
| P_8 | 9,6026 | 2,4865 | 17,3987 |
| P_9 | 8,5113 | 2,4865 | 35,0127 |
| P ₁₀ | 8,5113 | 2,4865 | 35,0127 |

Pada kondisi seperti ini maka proses reproduksi juga akan menghasilkan *offspring* yang hampir sama dengan induknya sehingga eksplorasi solusi tidak berjalan baik. Bagaimana untuk mengatasi kondisi seperti ini akan dibahas mendetail pada subbab berikutnya.

3.2. Alternatif Operator Reproduksi pada Pengkodean Real

Metode *one-cut-point crossover* yang digunakan pada pengkodean chromosome biner bisa dengan mudah diterapkan pada pengkodean real. Misalkan pada kasus optimasi fungsi dengan 6 variabel keputusan, P_1 dan P_1 adalah *parent*, titik potong pada posisi ke-4, maka akan kita dapatkan *offspring* C_1 dan C_2 sebagai berikut:

```
P<sub>1</sub> [0,078 9,231 7,629 3,517 3,619 1,498]
P<sub>2</sub> [1,903 8,729 2,578 4,529 0,592 2,337]
C<sub>1</sub> [0,078 9,231 7,629 3,517 0,592 2,337]
C<sub>2</sub> [1,903 8,729 2,578 4,529 3,619 1,498]
```

Metode *one-cut-point crossover* ini akan memberikan hasil yang memuaskan jika dikombinasikan dengan operator crossover yang dikhususkan pada pengkodean real. Kombinasi dilakukan dengan memilih satu metode crossover secara acak setiap kali proses reproduksi dilakukan (Mahmudy, Marian & Luong 2012a, 2012b).

3.3. Alternatif Operator Seleksi

Metode seleksi *roulette wheel* telah dibahas dalam bab sebelumnya. Dalam bab ini telah dikenalkan metode seleksi *binary tournament*. Metode seleksi lain yang sering digunakan dalam penelitian adalah *elitism selection* dan *replacement selection*.

3.3.1. Elitism Selection

Metode seleksi *elitism* bekerja dengan mengumpulkan semua individu dalam populasi (*parent*) dan *offspring* dalam satu penampungan. *popSize* individu terbaik dalam penampungan ini akan lolos untuk masuk dalam generasi selanjutnya. Metode seleksi ini menjamin individu yang terbaik akan selalu lolos. Pseudo-code *elitism selection* disajikan pada Gambar 3.3 sebagai berikut:

```
PROCEDURE ElitismSelection
Input:
    POP:
               himpunan individu pada populasi
    pop size: ukuran populasi
               himpunan individu anak (offspring) hasil reproduksi
               menggunakan crossover and mutasi
Output:
    POP:
               himpunan individu pada populasi setelah proses
               seleksi selesai
/* gabungkan individu pada POP dan OS ke dalam TEMP */
TEMP \leftarrow Merge (POP, OS)
/* urutkan individu berdasarkan fitness secara ascending */
OrderAscending (Temp)
/* copy pop size individu terbaik ke POP */
POP \leftarrow CopyBest (Temp, pop size)
END PROCEDURE
```

Gambar 3.3. Pseudo-code elitism selection

Misalkan terdapat himpunan individu dalam populasi dengan *popSize*=5 sebagai berikut:

| individu | fitness |
|----------|---------|
| P_1 | 10 |
| P_2 | 8 |
| P_3 | 4 |
| P_4 | 7 |

 P_{5} 6

Terdapat juga himpunan offspring sebagai berikut:

| individu | fitness |
|-----------------------|---------|
| <i>C</i> ₁ | 3 |
| C_2 | 8 |
| C ₃ | 5 |

Maka akan didapatkan himpunan individu yang lolos ke generasi berikutnya sebagai berikut:

| P(t+1) | asal P(t) | fitness |
|--------|-----------|---------|
| P_1 | P_1 | 10 |
| P_2 | P_2 | 8 |
| P_3 | C_2 | 8 |
| P_4 | P_4 | 7 |
| P_5 | P_5 | 6 |

Salah satu kelemahan dari *elitism selection* adalah tidak memberikan kesempatan kepada individu dengan nilai fitness rendah untuk bereproduksi. Dalam beberapa kasus, solusi optimum justru bisa dicapai dari hasil reproduksi individu dengan nilai fitness rendah. Penggunaan *random injection* yang akan dibahas di sub-bab berikutnya akan memperkuat kemampuan GAs yang menggunakan *elitism selection*.

3.3.2. Replacement Selection

Metode seleksi *replacement* mempunyai dua aturan sebagai berikut (Mahmudy, Marian & Luong 2013d, 2013e):

- Offspring yang diproduksi melalui proses mutasi menggantikan induknya jika mempunyai nilai fitness yang lebih baik.
- Offspring yang diproduksi melalui proses crossover (menggunakan dua induk) akan menggantikan induk yang terlemah jika mempunyai nilai fitness yang lebih baik daripada induk yang terlemah tersebut.

Metode seleksi *replacement* ini menjamin individu yang terbaik akan selalu lolos. Tetapi properti ini tidak menutup peluang individu dengan nilai fitness rendah untuk lolos ke generasi berikutnya. Hal ini merupakan keunggulan dari *replacement selection* karena

seperti telah diuraikan pada modul sebelumnya, solusi optimum mungkin didapatkan dari hasil reproduksi individu-individu dengan nilai fitness rendah.

Pseudo-code replacement selection disajikan pada Gambar 3.4 sebagai berikut:

```
PROCEDURE ReplacementSelection
Input:
    POP:
              himpunan individu pada populasi
            himpunan individu anak (offspring) hasil reproduksi
    OS:
             menggunakan crossover and mutasi
    ns:
             banyaknya offspring
              list dari indeks parent individu dalam offspring
    P:
Output:
           himpunan individu pada populasi setelah proses
    POP:
              seleksi selesai
FOR i=1 TO ns DO
  /* get index of parent */
  p = P_i
  IF Fitness (OS_i) > Fitness (POP_p) THEN
     POP_p \leftarrow OS_i
  END IF
END PROCEDURE
```

Gambar 3.4. Pseudo-code replacement selection

Misalkan terdapat himpunan individu dalam populasi dengan popSize=5 sebagai berikut:

| fitness |
|---------|
| 10 |
| 8 |
| 4 |
| 7 |
| 6 |
| |

Terdapat juga himpunan offspring sebagai berikut:

| individu | parent | fitness |
|-----------------------|-----------------|---------|
| C_1 | P_2 dan P_3 | 3 |
| C_2 | P₄ dan P₅ | 8 |
| <i>C</i> ₃ | P_3 | 5 |

Maka akan didapatkan himpunan individu yang lolos ke generasi berikutnya sebagai berikut:

| P(t+1) | asal <i>P(t)</i> | fitness |
|--------|-----------------------|---------|
| P_1 | P_1 | 10 |
| P_2 | P_2 | 8 |
| P_3 | <i>C</i> ₃ | 5 |
| P_4 | P_4 | 7 |
| P_5 | C_2 | 8 |

3.4. Diskusi: Nilai Parameter Algoritma Genetika

Menentukan nilai parameter yang tepat untuk algoritma genetika bukanlah pekerjaan mudah. Jika nilai parameter ukuran populasi (popSize), crossover rate (cr) dan mutation rate (mr) semakin besar maka akan meningkatkan kemampuan eksplorasi algoritma genetika untuk mencari solusi terbaik. Tetapi hal ini akan sangat membebani waktu komputasi (proses berlangsung lama) karena bisa jadi algoritma genetika akan mengeksplorasi area yang tidak mempunyai nilai optimum.

Tidak ada metode pasti untuk menentukan nilai parameter GAs. Kombinasi nilai yang tepat untuk parameter tersebut sangat dipengaruhi oleh permasalahan yang akan diselesaikan. Dalam penelitian optimasi menggunakan algoritma genetika, serangkaian pengujian pendahuluan diperlukan untuk mendapatkan kombinasi nilai parameter yang sesuai (Mahmudy, Marian & Luong 2014). Ukuran populasi (*popSize*) antara 30 sampai 50, *pc* antara 0,3 sampai 0,8, dan *pm* antara 0,1 sampai 0,3 biasanya sudah memadai untuk pengujian awal.

3.5. Diskusi: Mekanisme Sampling Proses Seleksi

Pada proses seleksi terdapat mekanisme sampling untuk memilih individu yang dipertahankan hidup. Ada tiga kategori metode dasar untuk melakukan sampling, yaitu (Gen & Cheng 1997):

- Stochastic sampling
- Deterministic sampling
- Mixed sampling

Stochastic sampling memilih menggunakan angka random dan berdasarkan nilai probabilitas. *Roulette wheel selection* merupakan contoh kategori ini, semakin besar nilai *fitness* sebuah individu maka semakin besar juga peluangnya untuk terpilih.

Deterministic sampling bekerja dengan aturan tetap, misalkan mengurutkan kumpulan individu (*parent+offspring*) berdasarkan nilai *fitness*-nya kemudian mengambil sejumlah individu dengan nilai *fitness* terbaik (sesuai dengan *popSize*). *Elitism selection* termasuk dalam kategori ini.

Mixed sampling merupakan strategi campuran dari stochastic sampling dan deterministic sampling. *Tournament selection* merupakan contoh kategori ini dengan memilih secara random 2 atau lebih individu kemudian mengambil satu yang terbaik.

Deterministic sampling menjamin individu terbaik akan selalu dipertahankan hidup. Roulette wheel selection dan tournament selection yang kita gunakan sebelumnya tidak menjamin individu terbaik akan selalu terpilih. Dalam implementasi program disediakan variabel tersendiri untuk menyimpan nilai individu terbaik ini.

Dalam bab-bab selanjutnya akan dikenalkan berbagai macam metode sampling yang sesuai untuk permasalahan yang kita hadapi.

3.6. Diskusi: Probabilitas Seleksi

Pada proses seleksi *roulette wheel* di subbab sebelumnya dihitung nilai probabilitas (prob) dan probabilitas kumulatif (probCum) berdasarkan nilai *fitness*. Karena yang dihadapi adalah masalah maksimasi maka nilai *fitness* dihitung secara langsung *fitness*= f(x). Rumusan ini bisa digunakan jika tidak ada nilai f(x) yang negatif. Jika ada nilai f(x) yang negatif maka rumus menghitung *fitness* bisa diubah sebagai berikut:

$$fitness = \frac{f(x) - f_{min}(x)}{f_{max}(x) - f_{min}(x)}$$
(3.1)

 $f_{min}(x)$ dan $f_{max}(x)$ merupakan nilai terkecil dan terbesar dari fungsi obyektif pada generasi tersebut. Contoh:

| | f(x) | fitness | prob | probCum |
|-------|-------|---------|-------|---------|
| P_1 | -1 | 0,000 | 0,000 | 0,000 |
| P_2 | 0 | 0,200 | 0,100 | 0,100 |
| P_3 | 3 | 0,800 | 0,400 | 0,500 |
| P_4 | 4 | 1,000 | 0,500 | 1,000 |
| | Total | 2,000 | | |

 $f_{min}(x)$ =-1 dan $f_{max}(x)$ =4

Perhatikan tabel di atas. Individu terbaik akan selalu mempunyai *fitness*=1 dan individu terburuk selalu mempunyai *fitness*=0. Sebagai akibatnya individu dengan nilai fungsi obyektif terkecil tidak akan pernah terpilih karena nilai probabilitasnya 0. Beberapa penelitian menunjukkan bahwa bisa jadi individu dengan nilai *fitness* lebih kecil justru menempati area yang lebih dekat dengan titik optimum. Hal ini biasanya terjadi pada optimasi fungsi yang mempunyai banyak titik optimum lokal. Berdasarkan kondisi ini maka rumus (3.1) bisa dimodifikasi sebagai berikut (Gen & Cheng 1997):

$$fitness = \frac{f(x) - f_{min}(x) + c}{f_{max}(x) - f_{min}(x) + c}$$
(3.2)

0 < c < 1

Perhatikan variasi nilai fitness untuk berbagai nilai c berikut:

| | f/v) | | | fitness | | |
|-------|------|-------------|---------------|---------------|---------------|---------------|
| | f(x) | <i>c</i> =0 | <i>c</i> =0.1 | <i>c</i> =0.3 | <i>c</i> =0.5 | <i>c</i> =0.7 |
| P_1 | -1 | 0,000 | 0,020 | 0,057 | 0,091 | 0,123 |
| P_2 | 0 | 0,200 | 0,216 | 0,245 | 0,273 | 0,298 |
| P_3 | 3 | 0,800 | 0,804 | 0,811 | 0,818 | 0,825 |
| P_4 | 4 | 1,000 | 1,000 | 1,000 | 1,000 | 1,000 |

Semakin besar nilai c akan meningkatkan peluang individu terburuk untuk terpilih. Untuk masalah minimasi maka bisa digunakan rumus:

$$fitness = \frac{f_{min}(x) - f(x) + c}{f_{max}(x) - f_{min}(x) + c}$$
(3.3)

Rumus (3.3) menjamin individu dengan nilai fungsi obyektif lebih kecil akan mempunyai nilai *fitness* yang lebih besar.

3.7. Diskusi: Penanganan Konvergensi Dini

Perhatikan masalah konvergensi dini yang terjadi pada Sub-Bab 3.1.4. Hampir semua individu bernilai sama sebelum tercapainya titik optimum yang diinginkan. Ada banyak metode untuk mengatasi masalah ini. Satu metode sederhana yang bisa diterapkan adalah dengan melakukan random injection yaitu proses seleksi hanya memilih popSize-n individu (n=1..3). n individu terakhir dibangkitkan secara random seperti pada saat inisialisasi (Mahmudy, Marian & Luong 2013d, 2013e). $n=0,1 \times popSize$ biasanya sudah cukup memadai. Untuk popSize=10, dengan memasukkan 1 individu random ini maka keragaman populasi akan tetap terjaga karena individu ini juga terlibat dalam proses reproduksi. Untuk menghemat waktu komputasi, pemasukan individu random ini tidak harus pada setiap generasi tapi bisa dilakukan setiap g interval generasi. Penentuan nilai g yang sesuai dilakukan melalui beberapa percobaan pendahuluan.

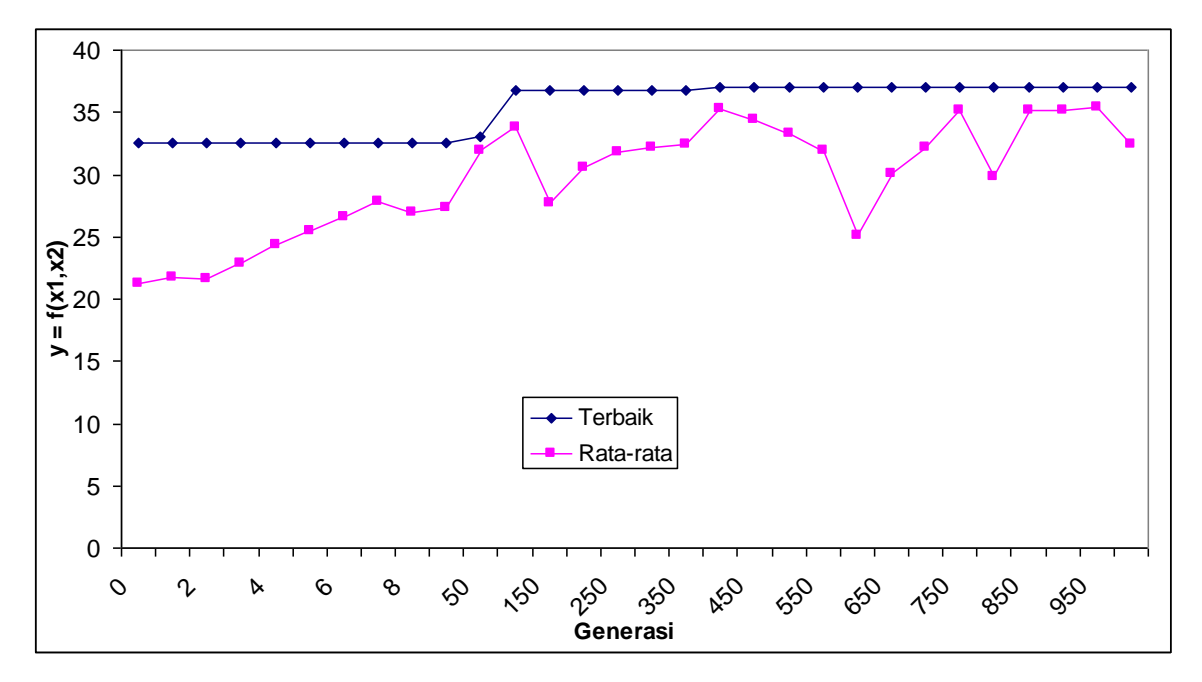
Dengan mengacu struktur GAs murni pada sub-bab sebelumnya maka teknik penanganan konvergensi dini dengan *random injection* bisa disusun sebagai berikut:

```
procedure AlgoritmaGenetika
begin

t = 0
inisialisasi P(t)
while (bukan kondisi berhenti) do
reproduksi C(t) dari P(t)
evaluasi P(t) dan C(t)
seleksi P(t+1) dari P(t) dan C(t)
if (t \mod g = 0)
replace n individu
end
t = t + 1
end while
```

Berikut ini adalah hasil penggunaan *random injection* 1 individu untuk kasus pada Sub-Bab 2.4.

| | $f(x_1,x_2)$ | | • | ~~~~ | $f(x_1,x_2)$ | |
|----------|--------------|------------------|---|----------|--------------|-----------|
| generasi | terbaik | rata-rata | | generasi | terbaik | rata-rata |
| 0 | 32,5606 | 21,2507 | | 300 | 36,7112 | 32,2169 |
| 1 | 32,5606 | 21,7481 | | 350 | 36,7112 | 32,4219 |
| 2 | 32,5606 | 21,6480 | | 400 | 37,0110 | 35,3276 |
| 3 | 32,5606 | 22,8637 | | 450 | 37,0112 | 34,4334 |
| 4 | 32,5606 | 24,3919 | | 500 | 37,0112 | 33,2982 |
| 5 | 32,5606 | 25,4174 | | 550 | 37,0112 | 31,9309 |
| 6 | 32,5606 | 26,5430 | | 600 | 37,0112 | 25,1292 |
| 7 | 32,5606 | 27,7997 | | 650 | 37,0112 | 30,1114 |
| 8 | 32,5606 | 26,9720 | | 700 | 37,0112 | 32,1155 |
| 9 | 32,5606 | 27,3259 | | 750 | 37,0112 | 35,1785 |
| 50 | 33,0101 | 31,9865 | | 800 | 37,0112 | 29,8486 |
| 100 | 36,7112 | 33,7484 | | 850 | 37,0112 | 35,1296 |
| 150 | 36,7112 | 27 <i>,</i> 7559 | | 900 | 37,0113 | 35,1574 |
| 200 | 36,7112 | 30,5534 | | 950 | 37,0113 | 35,4518 |
| 250 | 36,7112 | 31,7417 | - | 1000 | 37,0113 | 32,4105 |



Gambar 3.5. Solusi RCGA pada tiap generasi menggunakan random injection satu individu

Metode ini (*random injection*) terbukti menghasilkan individu-individu yang lebih bervariasi dan juga nilai fungsi *fitness* yang lebih besar.

Cara lain yang bisa diterapkan adalah dengan melakukan pengujian konvergensi populasi yang diterapkan secara periodik sepanjang generasi. Jika nilai keragaman populasi dibawah nilai threshold maka mutasi akan dilakukan terhadap sebagaian chromosome. Gambar 3.6 menunjukkan perhitungan kemiripan dari dua kromosom dengan reprentasi biner atau bilangan bulat (*integer*). Setiap gen kromosom dibandingkan dan rasio kemiripan (*simmilarity ratio*) dinyatakan dalam persentase.

```
PROCEDURE Simmilarity
Input: chromosome1, chromosome2
Output: simmilarity_ratio

length ← LengthOf (chromosomes1)
sim ← 0
FOR i=1 TO length DO
   IF chromosome1[i]= chromosome2[i] THEN
        sim ← sim + 1
   END IF
NEXT i
simmilarity_ratio ← sim/length * 100
RETURN simmilarity_ratio
END PROCEDURE
```

Gambar 3.6. Pseudo-code perhitungan rasio kemiripan dua kromosom Gambar 3.7 menunjukkan perhitungan nilai keragaman (*diversity*) dari populasi (*pop*). Setiap kromosom dalam populasi dibandingkan dan dihitung rasio kemiripannya. Nilai keragaman didapatkan dengan mengurangi 1 dengan rata-rata rasio kemiripan.

```
PROCEDURE PopulationSimmilarity
Input: pop, pop_size
Ouput: diversity

total ← 0
n ← 0
FOR i=1 TO popSize-1 DO
FOR j=i+1 TO popSize DO
total ← total + Simmilarity (pop[i], pop[j])
n ← n + 1
NEXT j
NEXT i
diversity ← 1-total/n
END PROCEDURE
```

Gambar 3.7. Pseudo-code perhitungan nilai keragaman populasi
Beberapa metode yang lebih kompleks untuk penanganan konvergensi dini akan dibahas dalam bab berikutnya.

3.8. Rangkuman

Pada bab ini telah dibahas struktur GAs menggunakan pengkodean chromosome bilangan pecahan (*real-coded chromosome*). Metode reproduksi yang dibahas adalah *extended intermediate crossover* dan *random mutation*. Dibahas juga metode *one-cut-point crossover* yang digunakan pada pengkodean chromosome biner bisa dengan mudah diterapkan pada pengkodean real.

Metode seleksi yang dibahas adalah *binary tournament selection*. Metode seleksi lain yang sering digunakan dalam penelitian, *elitism selection* dan *replacement selection*, juga dibahas beserta contoh penerapannya. Untuk semua metode seleksi yang dibahas diberikan juga *pseudo-code*-nya.

Bab ini ditutup dengan diskusi penentuan parameter GAs yang tepat, mekanisme sampling yang digunakan pada proses seleksi, penyesuaian (*adjustment*) probabilitas seleksi, dan penggunaan *random injection* untuk menangani konvergensi dini.

3.9. Latihan

Untuk memperjelas pemahaman anda, kerjakanlah latihan berikut sebisa mungkin tanpa melihat materi pada buku!

- 1. Sebutkan kelemahan algoritma genetika dengan pengkodean biner jika digunakan pada optimasi fungsi!
- 2. Misalkan yang terpilih sebagai induk adalah P_1 =(2,3, 5,2) dan P_2 =(4,8, 3,1). Jika a=[0,1, 0,2] tentukan dua offspring (C_1 dan C_2) yang terbentuk dari extended intermediate crossover!
- 3. Misalkan yang terpilih sebagai induk adalah P=(2,3,5,2) dan nilai x_2 berada pada range [1,0, 10,0]. Jika r=0,01 dan gen yang terpilih nomer 2, tentukan offspring C yang terbentuk dari r and r mutation!
- Misalkan terdapat himpunan individu dalam populasi dengan popSize=5 sebagai berikut:

| individu | fitness |
|----------|---------|
| P_1 | 9 |
| P_2 | 10 |
| P_3 | 2 |
| P_4 | 9 |
| P_5 | 6 |

Terdapat juga himpunan offspring sebagai berikut:

| individu | fitness |
|-----------------------|---------|
| C_1 | 4 |
| C_2 | 8 |
| <i>C</i> ₃ | 7 |

Tentukan himpunan individu yang lolos ke generasi selanjutnya jika digunakan elitism selection!

5. Misalkan terdapat himpunan individu dalam populasi dengan popSize=5 sebagai berikut:

| individu | fitness |
|----------|---------|
| P_1 | 9 |
| P_2 | 10 |
| P_3 | 2 |
| P_4 | 9 |
| P_5 | 6 |

Terdapat juga himpunan offspring sebagai berikut:

| individu | parent | fitness |
|-----------------------|-----------------------------------|---------|
| C_1 | P ₁ dan P ₃ | 4 |
| C_2 | P ₃ dan P ₅ | 8 |
| C ₃ | P_4 | 5 |

Tentukan himpunan individu yang lolos ke generasi selanjutnya jika digunakan replacement selection!

- 6. Sebutkan keuntungan dan kerugian jika nilai parameter ukuran populasi (*popSize*), probabilitas *crossover* (*pc*) dan probabilitas mutasi (*pm*) ditentukan semakin besar?
- 7. Pada proses seleksi terdapat mekanisme sampling untuk memilih individu yang dipertahankan hidup. Sebutkan tiga kategori metode dasar untuk melakukan sampling!
- 8. Apa tujuan dari penyesuaian (adjustment) probabilitas seleksi?

Optimasi Masalah Kombinatorial

4.1. Pengantar

Masalah kombinatorial adalah masalah yang mempunyai himpunan solusi *feasible* yang terhingga. Meskipun secara prinsip solusi dari masalah ini bisa didapatkan dengan enumerasi lengkap, pada masalah kompleks dibutuhkan waktu yang tidak bisa diterima secara praktis (Gen & Cheng 2000). Sebagai contoh pada masalah *Travelling Salesperson Problem (TSP)* yang melibatkan pemilihan rute terbaik untuk mengunjungi n kota. Metode enumerasi lengkap harus menguji n! kemungkinan solusi. Untuk masalah sederhana dengan n=20 ada lebih dari 2,4×10¹⁸ kemungkinan solusi. Sebuah *personal computer* mungkin memerlukan waktu lebih dari 5 jam untuk melakukan enumerasi lengkap (Mahmudy 2006), sebuah hal yang tidak bisa diterima secara praktis.

Algoritma genetika telah sukses diterapkan pada berbagai masalah kombinatorial seperti perencanaan dan penjadwalan produksi pada industry manufaktur (Mahmudy, Marian & Luong 2012b, 2013b, 2013e). Meskipun solusi optimum tidak diperoleh, tetapi solusi yang mendekati optimum bisa didapatkan dalam waktu yang relatif cepat dan bisa diterima secara praktis. Bab ini membahas berbagai permasalahan kombinatorial sederhana yang banyak ditemui di kehidupan nyata.

4.2. Travelling Salesman Problem (TSP)

Perncarian rute terbaik merupakan salah satu permasalahan yang sering dihadapi dalam kehidupan sehari-hari. Salah satu contoh yaitu rute manakah yang memiliki biaya paling murah (atau paling pendek) untuk dilalui seorang *salesman* yang harus mengunjungi sejumlah daerah, tiap daerah harus dikunjungi tepat satu kali kemudian kembali lagi ke tempat semula. Permasalahan tersebut dikenal sebagai *Travelling Salesman Problem*

(TSP). Jika terdapat lebih dari seorang salesman maka disebut multi Travelling Salesman Problem (m-TSP).

Secara matematis *TSP* bisa diformulasikan sebagai masalah minimasi biaya perjalanan sebagai berikut:

$$Z = \min \left\{ \sum_{i=1}^{n} \sum_{i=1}^{n} c_{ii} x_{ii} \right\}$$
 (4.1)

dengan kendala (contraint):

$$\sum_{i=1}^{n} x_{ij} = 1$$
, untuk $j = 1, 2, 3, ..., n - 1$ (4.2)

$$\sum_{j=1}^{n} x_{ij} = 1$$
, untuk $i = 1, 2, 3, ..., n - 1$ (4.3)

n menyatakan banyaknya kota (selanjutnya disebut simpul/node).

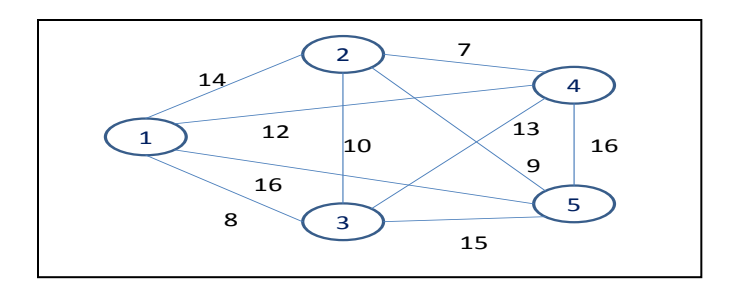
 $x_{ij}=1$ apabila ada perjalanan *salesman* dari simpul *i* menuju simpul *j*, 0 jika tidak ada perjalanan.

 c_{ij} menyatakan biaya (atau jarak, tergantung tujuan minimasi) dari simpul i menuju simpul j.

Persamaan (4.2) dan Persamaan (4.3) menjamin bahwa setiap simpul hanya dikunjungi sekali oleh *salesman*.

4.2.1. Representasi Chromosome

Perhatikan masalah TSP pada Gambar 4.1. Ada 4 simpul (kota) yang terhubung dan angka pada busur menunjukkan jarak antar simpul.



Gambar 4.1. Contoh masalah TSP

Dari Gambar 4.1 bisa dibuat tabel jarak antar simpul sebagai berikut:

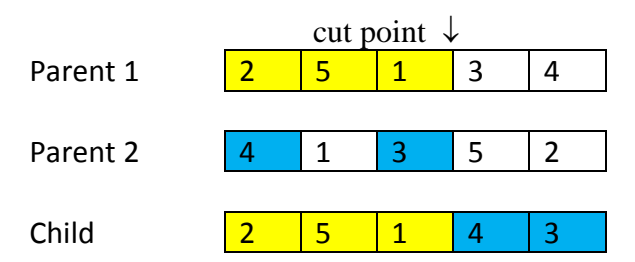
| Node | 1 | 2 | 3 | 4 | 5 |
|------|----|----|----|----|----|
| 1 | - | 14 | 8 | 12 | 16 |
| 2 | 14 | - | 10 | 7 | 9 |
| 3 | 8 | 10 | - | 13 | 15 |
| 4 | 12 | 7 | 13 | - | 16 |
| 5 | 16 | 9 | 15 | 16 | - |

Representasi permutasi bisa digunakan untuk menyatakan sebuah solusi. Setiap gen pada chromosome berupa angka integer yang menyatakan nomer dari tiap simpul. Sebuah chromosome [2 3 4 1 5] menyatakan bahwa perjalanan dimulai dari simpul 2 kemudian secara berurutan mengunjungi simpul 3, 4, 1, 5 dan kemudian kembali ke simpul 2. Berikut ini contoh beberapa chromosome dan total jarak antar simpul beserta nilai fitnessnya:

| No | Chromosome | Total Jarak (J) | $fitness = \frac{100}{J}$ |
|----|------------|-------------------|---------------------------|
| 1 | [12345] | 14+10+13+16+16=69 | 1,449 |
| 2 | [23415] | 10+13+12+16+9=60 | 1,667 |
| 3 | [41253] | 12+14+9+15+13=63 | 1,587 |

4.2.2. Crossover

Metode crossover paling sederhana adalah dengan melakukan modifikasi *one-cut-point crossover* yang digunakan pada representasi biner. Perhatikan contoh pada Gambar 4.2. Segment kiri dari chromosome *child* didapatkan dari *parent* 1 dan segmen kanan didapatkan dari urutan gen tersisa dari *parent* 2.

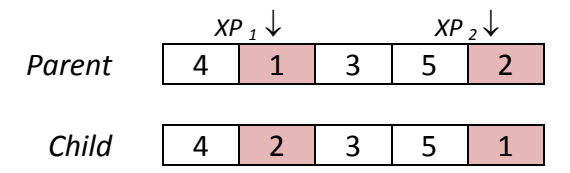


Gambar 4.2. Crossover pada representasi permutasi

Beberapa metode lain yang digunakan pada representasi permutasi adalah *partial-mapped crossover* (PMX), *order crossover* (OX), *cycle crossover* (CX), *position-based crossover*, *order-based crossover*, dan *heuristic crossover* (Gen & Cheng 1997).

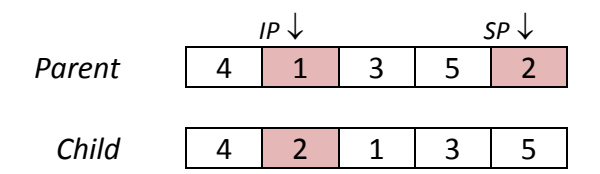
4.2.3. Mutasi

Metode mutasi yang paling sederhana adalah *reciprocal exchange mutation*. Metode ini bekerja dengan memilih dua posisi (*exchange point* / XP) secara random kemudian menukarkan nilai pada posisi tersebut seperti pada Gambar 4.3.



Gambar 4.3. Reciprocal exchange mutation

Metode lain yang bisa digunakan adalah *insertion mutation*. Metode ini bekerja dengan memilih satu posisi (*selected point / SP*) secara random kemudian mengambil dan menyisipkan nilainya pada posisi lain (*insertion point / IP*) secara random seperti pada Gambar 4.4.



Gambar 4.4. Insertion mutation

4.3. Flow-Shop Scheduling Problem (FSP)

FSP berkaitan dengan penjadwalan sejumlah j job pada sejumlah m mesin. Semua job mempunyai urutan pemrosesan (operasi) yang sama, mulai dari mesin ke-1, mesin ke-2, dan seterusnya sampai mesin ke-m. Waktu pemrosesan setiap operasi pada sebuah mesin mungkin berbeda dan diasumsikan telah diketahui sebelumnya.

Kendala lengkap dari FSP bisa diringkas sebagai berikut:

- Sebuah job hanya mengunjungi sebuah mesin tepat satu kali.
- Tidak ada kendala *precedence* di antara operasi-operasi dari job yang berbeda.
- Operasi job pada mesin tidak bisa dinterupsi.
- Sebuah mesin hanya bisa memproses satu operasi pada satu waktu.

Urutan job yang harus diselesaikan menentukan waktu selesainya seluruh job (*makespan*). Proses optimasi dilakukan untuk menentukan urutan operasi yang menghasilkan nilai *makespan* minimum. Perhatikan masalah penjadwalan 3 job (J1, J2, dan J3) pada 4 mesin yang mempunyai waktu pemrosesan sebagai berikut:

| Job | Mesin | | | | | |
|-----|-------|---|---|---|--|--|
| 100 | 1 | 2 | 3 | 4 | | |
| 1 | 2 | 3 | 2 | 4 | | |
| 2 | 3 | 2 | 2 | 1 | | |
| 3 | 1 | 3 | 2 | 1 | | |

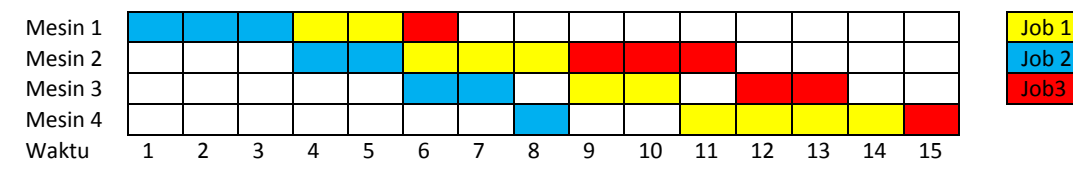
Jika pemrosesan job dilakukan dengan urutan J1 \rightarrow J2 \rightarrow J3 maka didapatkan makespan sebesar 13 yang ditunjukan dalam Gantt-Chart pada Gambar 4.5.





Gambar 4.5. Gantt-Chart untuk urutan job J1 \rightarrow J2 \rightarrow J3

Jika pemrosesan job dilakukan dengan urutan J2 \rightarrow J1 \rightarrow J3 maka didapatkan makespan sebesar 15 yang ditunjukan dalam Gantt-Chart pada Gambar 4.6.



Gambar 4.6. Gantt-Chart untuk urutan job $J2 \rightarrow J1 \rightarrow J3$

Representasi permutasi seperti yang digunakan pada TSP bisa diadopsi untuk masalah FSP. Setiap gen pada chromosome menyatakan nomer dari tiap job. Operator crossover dan mutasi yang sama pada TSP juga bisa digunakan.

4.4. Two-Stage Assembly Flow-Shop Scheduling Problem

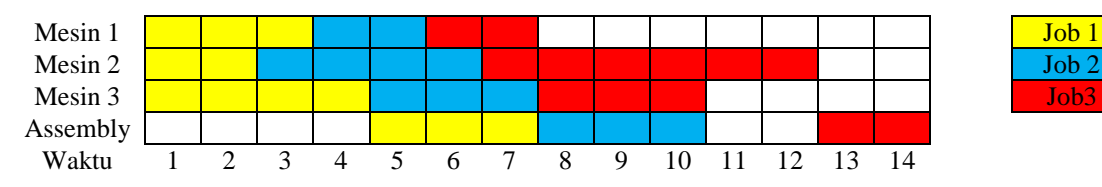
Two-stage assembly flowshop merupakan variasi dari FSP. Pada permasalahan ini sebuah job memiliki *m* operasi yang bisa dikerjakan pada *m* mesin secara paralel. Pemrosesan tahap kedua (assembly stage) hanya bisa dilakukan setelah semua operasi pada tahap pertama telah diselesaikan (Allahverdi & Al-Anzi 2008).

Ilustrasi sederhana dari masalah ini adalah pada proses pembuatan sebuah *personal computer* (PC) yang bisa dianggap sebagai sebuah job. Setelah sejumlah komponen seperti CPU, harddisk, memory dan lain-lain selesai dibuat pada tahap pertama pada tempat/mesin yang berbeda secara paralel maka komponen-komponen ini masuk ke *assembly-station* pada tahap kedua untuk dirakit sesuai spesifikasi yang dibutuhkan konsumen. Jika pada saat yang sama terdapat *n* pesanan PC dengan spesifikasi yang berbeda maka bisa dikatakan ada *n* job. Masalah yang timbul adalah bagaimana menentukan urutan pembuatan semua pesanan PC supaya didapatkan waktu penyelesaian semua PC dalam waktu yang paling singkat

Misalkan terdapat 3 job yang harus diproses pada 3 mesin dengan waktu operasi sebagai berikut:

| ioh | | mesin | assembly | |
|-----|---|-------|----------|----------|
| job | 1 | 2 | 3 | assembly |
| 1 | 3 | 2 | 4 | 3 |
| 2 | 2 | 4 | 3 | 3 |
| 3 | 2 | 6 | 3 | 2 |

Misalkan urutan pemrosesan job ditentukan job $1 \rightarrow$ job $2 \rightarrow$ job 3. Pada job 1, operasi tahap kedua (*assembly*) bisa dilakukan pada waktu ke-4 setelah setelah semua operasi tahap pertama diselesaikan. Gantt-chart dari urutan operasi tersebut ditunjukan pada Gambar 4.7 dengan nilai makespan=14.



Gambar 4.7. Gantt-chart untuk two-stage assembly flowshop

Seperti halnya pada FSP, representasi permutasi seperti yang digunakan pada TSP bisa diadopsi untuk masalah *two-stage assembly flowshop*. Operator crossover dan mutasi yang sama pada TSP juga bisa digunakan.

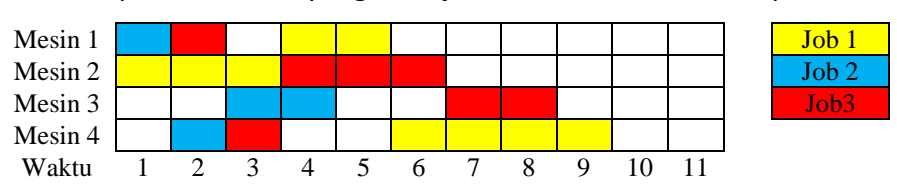
4.5. Job-Shop Scheduling Problem (JSP)

JSP merupakan perluasan (bentuk umum) dari FSP. Pada masalah ini tiap job mungkin mempunyai urutan operasi yang berbeda. Pada beberapa kasus, sebagian job hanya memerlukan sebagian mesin. Perhatikan masalah JSP berikut:

| Job | Wakt | u Opera | Urutan Onorasi | | | | | |
|-----|------|---------|----------------|---|---|--|--|--|
| JOB | 1 | 2 | 3 | 4 | Urutan Operasi | | | |
| 1 | 2 | 3 | - | 4 | $2 \rightarrow 1 \rightarrow 4$ | | | |
| 2 | 1 | - | 2 | 1 | $1 \rightarrow 4 \rightarrow 3$ | | | |
| 3 | 1 | 3 | 2 | 1 | $1 \rightarrow 4 \rightarrow 2 \rightarrow 3$ | | | |

Pada kasus ini, job 1 tidak memerlukan mesin 3 dan urutan operasinya dimulai dari mesin 2, kemudian ke mesin 1 dan 4.

Misalkan $O_{i,j}$ menyatakan operasi ke-j dari job i. Jika pemrosesan job dilakukan dengan urutan $O_{1,1} \to O_{2,1} \to O_{1,2} \to O_{3,1} \to O_{3,2} \to O_{1,3} \to O_{2,2} \to O_{3,3} \to O_{3,4} \to O_{2,3}$ maka didapatkan makespan sebesar 9 yang ditunjukan dalam Gantt-Chart pada Gambar 4.8.



Gambar 4.8. Gantt-chart untuk JSP

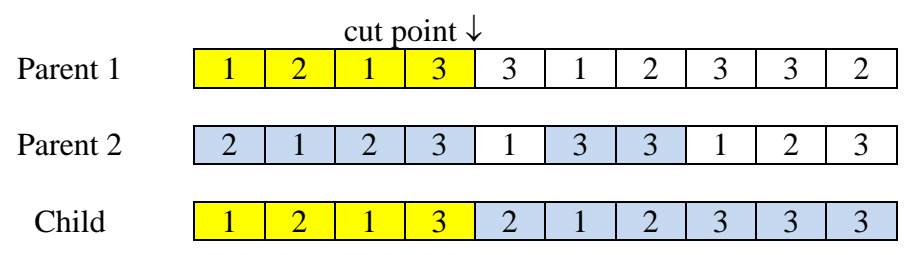
4.5.1. Representasi Chromosome

Representasi integer yang memuat nomer job (*job-based representation*) bisa digunakan untuk masalah JSP. Misalkan untuk solusi di atas maka bisa dinyatakan sebagai:

Perhatikan pada representasi ini angka 1 muncul sebanyak 3 kali yang menyatakan bahwa job 1 mempunyai 3 operasi. Hal serupa terjadi pada angka 3 yang muncul sebanyak 4 kali yang menyatakan bahwa job 3 mempunyai 4 operasi.

4.5.2. Crossover

Modifikasi *one-cut-point crossover* bisa diterapkan pada *job-based representation*. Perhatikan contoh pada Gambar 4.9. Segment kiri dari chromosome *child* didapatkan dari *parent 1* dan segmen kanan didapatkan dari urutan gen tersisa dari *parent 2*.



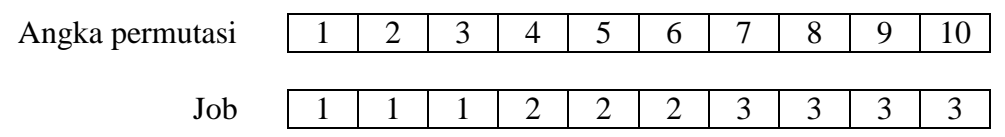
Gambar 4.9. Crossover pada job-based representation

4.5.3. Mutasi

Metode *reciprocal exchange mutation* dan *insertion mutation* yang digunakan pada representasi permutasi bisa dengan mudah diterapkan untuk *job-based representation*.

4.5.4. Representasi Permutasi Untuk JSP

Dengan penanganan khusus, representasi permutasi bisa diterapkan untuk JSP. Untuk permasalahan JSP yang telah diuraikan sebelumnya, diperlukan peta sebagai berikut:



Gambar 4.10. Representasi permutasi untuk JSP

Peta pada Gambar 4.10 menunjukkan aturan konversi dari angka permutasi yang muncul pada chromosome ke indeks dari tiap job. Misalkan didapatkan chromosome dengan representasi permutasi sebagai berikut:

Maka bisa dikonversi menjadi job-based representation sebagai berikut:

Dengan representasi permutasi ini, operator crossover dan mutasi yang sama pada TSP juga bisa digunakan.

4.6. Transportation Problem

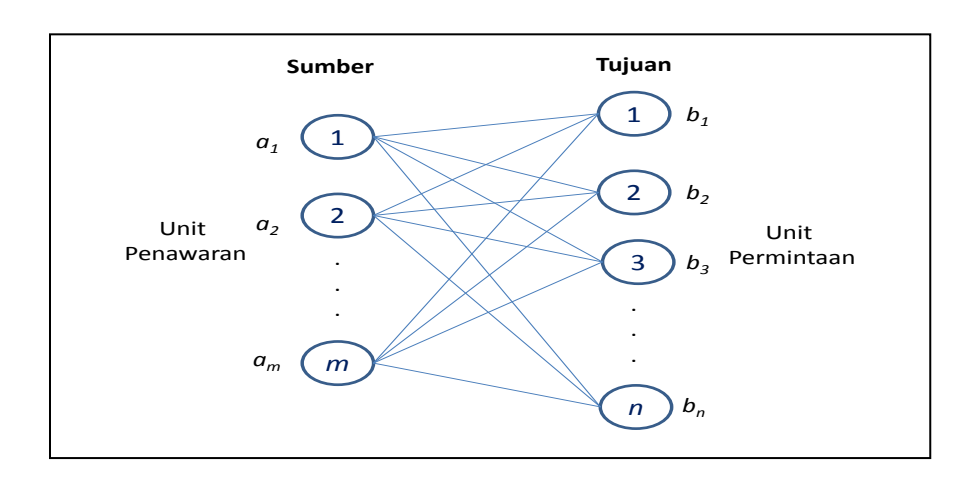
Persoalan transportasi berkaitan dengan pendistribusian suatu komoditas atau produk dari sejumlah sumber (*supply*) kepada sejumlah tujuan (*destination*, *demand*) dengan

tujuan meminimumkan ongkos pengangkutan yang terjadi. Persoalan ini mempunyai beberapa karakteristik yang bisa diringkas sebagai berikut (Taha 2011):

- 1. Terdapat sejumlah sumber dan sejumlah tujuan tertentu.
- 2. Kuantitas komoditas yang didistribusikan dari setiap sumber dan yang diminta oleh setiap tujuan besarnya tertentu.
- 3. Komoditas yang dikirim atau diangkut dari suatu sumber ke suatu tujuan besarnya sesuai dengan permintaan dan atau kapasitas sumber.
- 4. Ongkos pengangkutan komoditas dari suatu sumber ke suatu tujuan besarnya tertentu.

Persoalan transportasi merupakan kasus khusus dari model pemrograman linier (*linear programming*). Persoalan ini membutuhkan pembatas (*constrains*) dan variabel yang sangat banyak sehingga penggunaan komputer dalam penyelesaiannya dengan model matematis (misalnya dengan metode simplex) memerlukan perhitungan yang panjang dan tidak praktis. GAs terbukti efektif untuk mendapatkan solusi yang mendekati optimum dalam waktu yang relatif cepat (Mahmudy 2007).

Model transportasi sederhana dari sebuah jaringan dengan m sumber dan n tujuan digambarkan sebagai berikut (Taha 2011):



Gambar 4.11. Model Transportasi

Gambar 4.11 menyatakan bahwa sumber i (i = 1, 2, ..., m) mempunyai persediaan a_i unit untuk didistribusikan ke tujuan-tujuan, dan tujuan j (j = 1, 2, ..., n) mempunyai permintaan b_i unit untuk diterima dari sumber-sumber.

Variabel c_{ij} (i = 1, 2, ..., m; j = 1, 2, ..., n) adalah biaya pendistribusian yang dibutuhkan dari sumber i ke tujuan j. x_{ij} (i = 1, 2, ..., m; j = 1, 2, ..., n) adalah variabel keputusan yang menyatakan banyaknya produk yang harus dikirimkan dari sumber i ke tujuan j.

Dari gambaran yang telah diberikan, permasalahan transportasi dapat dinyatakan secara matematis sebagai berikut:

$$Z = \min \left\{ \sum_{i=1}^{m} \sum_{j=1}^{n} c_{ij} x_{ij} \right\}$$
 (4.4)

dengan kendala (contraint):

$$\sum_{i=1}^{n} x_{ij} = a_i$$
, untuk $i = 1, 2, 3, ..., m$ (4.4)

$$\sum_{i=1}^{m} x_{ij} = b_j$$
, untuk $j = 1, 2, 3, ..., n$ (4.5)

$$x_{ij} \ge 0$$
, untuk semua $i \operatorname{dan} j$ (4.5)

Persamaan (4.4) menyatakan bahwa jumlah barang yang dikirim dari setiap sumber sama dengan ketersediaan barang pada sumber tersebut. Persamaan (4.5) menyatakan bahwa jumlah barang yang dikirim ke setiap tujuan sama dengan permintaan barang pada tujuan tersebut. Kendala-kendala yang diberikan menyatakan bahwa penawaran total sama dengan permintaan total yang biasa disebut model transportasi seimbang.

4.6.1. Representasi Chromosome

Misalkan diberikan permasalahan transportasi dengan 3 sumber dan 4 tujuan. Persediaan di sumber adalah 10, 15 dan 5. Permintaan di tujuan adalah 10, 5, 5 dan 10.

Matriks biaya adalah sebagai berikut:

$$C = \begin{bmatrix} 4 & 5 & 1 & 2 \\ 3 & 2 & 4 & 5 \\ 5 & 4 & 3 & 1 \end{bmatrix}$$

Karena solusi permasalahan transportasi adalah matriks yang menyatakan banyaknya produk yang harus dikirimkan dari sumber *i* ke tujuan *j* maka sebuah chromosome dapat dinyatakan sebagai matriks dengan contoh berikut:

Perhatikan total elemen setiap baris sama dengan banyaknya persediaan di tiap sumber dan total elemen setiap kolom sama dengan banyaknya pemintaan di tiap tujuan. Total biaya dari solusi di atas adalah $5\times1+5\times2+10\times3+5\times2+5\times1=60$.

4.6.2. Crossover

Crossover dilakukan dengan melakukan perhitungan rata-rata tiap elemen dari dua chromosome (P₁ dan P₂) untuk menghasilkan anak (C) seperti contoh berikut:

$$P_{1} = \begin{bmatrix} 0 & 0 & 5 & 5 \\ 10 & 5 & 0 & 0 \\ 0 & 0 & 0 & 5 \end{bmatrix}$$

$$P_{2} = \begin{bmatrix} 5 & 0 & 0 & 5 \\ 0 & 5 & 5 & 5 \\ 5 & 0 & 0 & 0 \end{bmatrix}$$

$$C = \begin{bmatrix} 3 & 0 & 3 & 5 \\ 5 & 5 & 3 & 3 \\ 3 & 0 & 0 & 3 \end{bmatrix}$$

$$\mathbf{a}_{i}$$

$$\mathbf{b}_{j}$$

$$\mathbf{11}$$

$$\mathbf{5}$$

$$\mathbf{6}$$

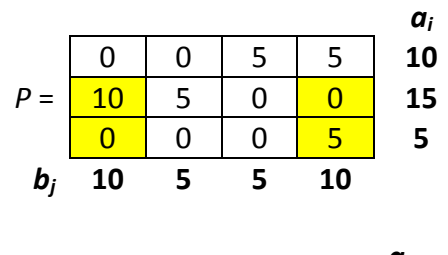
$$\mathbf{11}$$

Karena ada proses pembulatan ke atas maka dihasilkan chromosome yang infeasible. Perhatikan total nilai tiap baris dan kolom yang tidak sama dengan persediaan dan permintaan. Mekanisme perbaikan (*repairing*) diperlukan untuk menghasilkan chromosome yang feasible sebagai berikut:

Perbaikan chromosome di atas dilakukan dengan melakukan perubahan pada tiap sel yang total nilai baris dan kolomnya tidak sesuai.

4.6.3. Mutasi

Metode mutasi sederhana bekerja dengan memilih 4 titik secara acak sehingga membentuk loop tertutup. Alokasi barang pada tiap titik sudut loop diubah sedemikian rupa sehingga total tiap baris dan total tiap kolom tidak berubah (Mahmudy 2007).



| b i | 10 | 5 | 5 | 10 | ı |
|------------|----|---|---|----|----|
| | 5 | 0 | 0 | 0 | 5 |
| <i>C</i> = | 5 | 5 | 0 | 5 | 15 |
| | 0 | 0 | 5 | 5 | 10 |
| | | | | | ui |

4.6.4. Representasi Permutasi

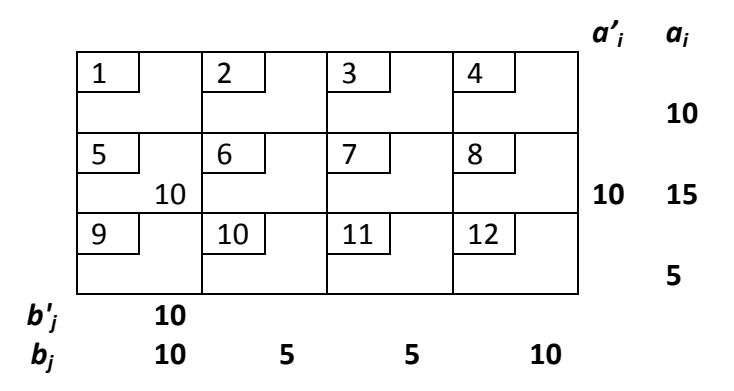
Representasi permutasi bisa diadopsi untuk permasalahan transportasi. Misalkan untuk contoh kasus pada Subbab 4.6.1, setiap sel pada matriks alokasi diberi nomer urut seperti contoh berikut:

| 1 | 2 | 3 | 4 | |
|---|----|----|----|--|
| 5 | 6 | 7 | 8 | |
| 9 | 10 | 11 | 12 | |

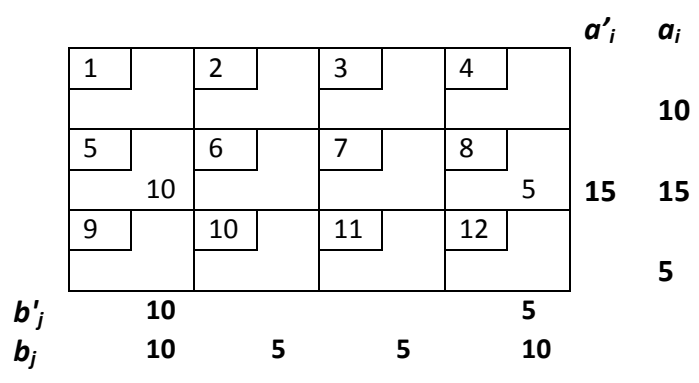
Setiap gen pada chromosome menyatakan prioritas alokasi. Untuk contoh chromosome:

maka bisa diuraikan menjadi sebuah solusi dengan langkah-langkah berikut:

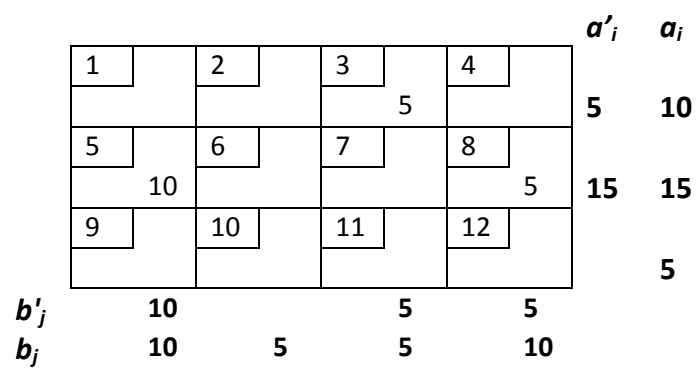
1. Alokasikan unit maksimum pada sel dengan nomor urut 5. Pada sel ini unit maksimum yang bisa dialokasikan sebesar 10. a'_i dan b'_j menunjukkan total baris dan kolom sementara.



2. Isi sel 8 dengan unit maksimum sebesar 5.

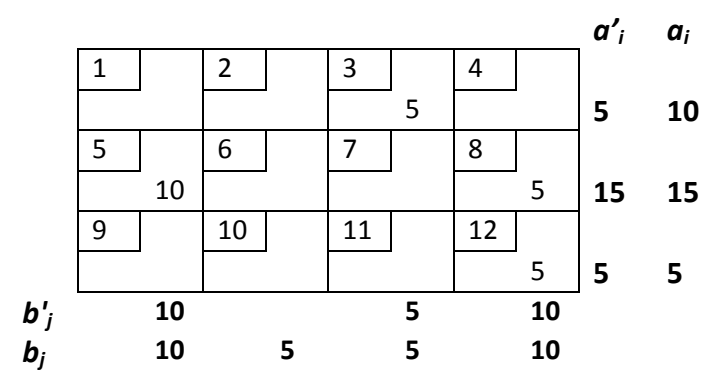


3. Isi sel 3 dengan unit maksimum sebesar 5.

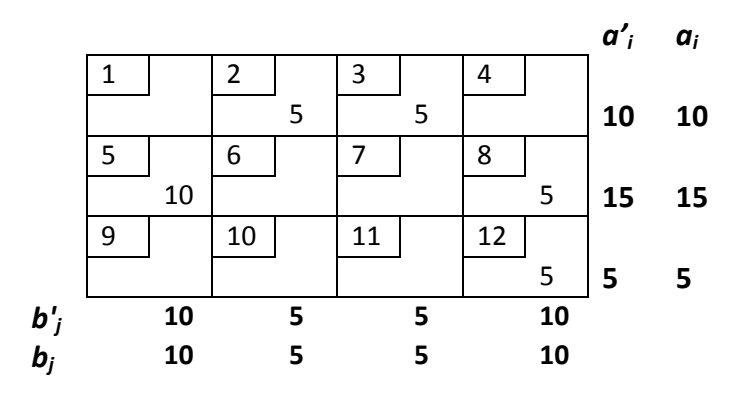


4. Sesuai urutan gen pada chromosome, isi sel 1. Tetapi sel ini tidak bisa disi karena kolom 1 sudah penuh ($b'_1 = b_1$). Hal yang sama juga terjadi pada sel 9 karena kolom yang bersesuaian sudah penuh.

5. Isi sel 12 dengan unit maksimum sebesar 5.



- 6. Sel 10 dan 11 tidak bisa disi karena baris 3 sudah penuh ($a'_3 = a_3$). Hal yang sama juga terjadi pada sel 6 karena baris 2 sudah penuh.
- 7. Isi sel 2 dengan unit maksimum sebesar 5. Setelah sel ini disi maka alokasi sudah komplit ($a'_i=a_i$ dan $b'_j=b_i$) sehingga pengecekan gen setelahnya tidak perlu dilakukan.



4.7. Flexible Job-Shop Scheduling Problem (FJSP)

Flexible job-shop problem (FJSP) merupakan bentuk umum (*generalized form*) dari JSP klasik. Pada permasalahan FSP, sebuah job memiliki beberapa operasi. Sebuah operasi bisa dikerjakan pada beberapa pilihan mesin. Skenario ini lebih dekat dengan kasus nyata yang ditemui pada industri manufaktur (Zhang et al. 2009). Keberadaan mesin alternatif ini membuat FJSP lebih sulit diselesaikan dibandingkan JSP.

Ada dua keputusan yang harus dibuat pada FJPS. Keputusan yang pertama adalah penentuan mesin untuk tiap operasi (*routing problem*). Keputusan yang kedua adalah menentukan urutan operasi-operasi tersebut (*scheduling problem*). Seperti halnya

dengan JSP, tujuan utama dari FJSP adalah meminimumkan waktu selesainya seluruh job (*makespan*).

Karena ada dua keputusan yang harus dibuat, maka pendekatan untuk menyelesaikan FJPS bisa diklasifikasikan dalam dua kategori dasar, yaitu pendekatan hirarki (hierarchical approaches) dan pendekatan terintegrasi (integrated approaches).

Pendekatan hirarki digunakan untuk mengurangi kompleksitas permasalahan dengan menguraikan FJSP ke dalam dua sub permasalahan. Sub permasalahan yang pertama adalah penentuan mesin menggunakan metode heuristik atau dispatching rules. Sub permasalahan yang kedua adalah menentukan urutan operasi-operasi tersebut yang menghasilkan nilai makespan minimum. Pendekatan terintegrasi menyelesaikan kedua sub permasalahan tersebut secara bersamaan/simultan (Al-Hinai & ElMekkawy 2011; Pezzella, Morganti & Ciaschetti 2008; Yazdani, Amiri & Zandieh 2010). Meskipun pendekatan terintegrasi lebih sulit dan membutuhkan waktu komputasi yang lebih tinggi, sejumlah penelitian membuktikan bahwa pendekatan ini mampu memberikan hasil yang lebih baik.

4.7.1. Representasi Chromosome Task Sequencing List

Satu kasus FJSP diadopsi dari (Mahmudy, Marian & Luong 2013a) disajikan sebagai berikut:

| job | operasi | machine | time |
|-----|---------|---------|------|
| 1 | 1 | 1 | 5 |
| | | 2 | 6 |
| | 2 | 3 | 4 |
| 2 | 1 | 2 | 7 |
| | | 3 | 8 |
| | 2 | 1 | 6 |
| | | 3 | 4 |
| | 3 | 2 | 3 |
| 3 | 1 | 1 | 4 |
| | 2 | 2 | 4 |
| 4 | 1 | 1 | 5 |
| | 2 | 3 | 4 |
| | 3 | 1 | 6 |

Tabel di atas menunjukkan terdapat 4 job. Operasi 1 dari job 1 bisa dikerjakan di dua pilihan mesin. Jika dikerjakan di mesin 1 maka memerlukan waktu sebesar 5 unit. Jika dikerjakan di mesin 2 maka memerlukan waktu sebesar 6 unit.

Satu representasi yang dinamakan *task sequencing list representation* diusulkan oleh Kacem et al. (2002). Representasi ini memuat tiga bilangan bulat, yaitu: job, operasi dan mesin. Contoh dari chromosome untuk representasi ini ditunjukkan dalam Gambar 4.12.

| job | 2 | 4 | 1 | 2 | 3 | 1 | 3 | 4 | 2 | 4 |
|---------|---|---|---|---|---|---|---|---|---|----|
| operasi | 1 | 1 | 1 | 2 | 1 | 2 | 2 | 2 | 3 | 3 |
| mesin | 2 | 1 | 2 | 1 | 1 | 3 | 2 | 3 | 2 | 1 |
| urutan | 1 | 2 | 3 | 4 | 5 | 6 | 7 | 8 | 9 | 10 |

Gambar 4.12. Contoh chromosome dari *task sequencing list representation*Contoh chromosome dalam Gambar 4.12 menunjukan bahwa prioritas penjadwalan yang pertama adalah memproses operasi 1 dari job 2 pada mesin 2, diikuti dengan memproses operasi 1 dari job 4 pada mesin 1, dan seterusnya.

Representasi *task sequencing list* mensyaratkan bahwa operasi reproduksi menggunakan crossover dan mutasi harus dilaksanakan secara hati-hati untuk menghasilkan *offspring* yang feasible.

4.7.2. Representasi Chromosome Bilangan Pecahan

Mahmudy, Marian and Luong (2013a) mengajukan penggunaan vector bilangan real sebagai representasi chromosome untuk FJSP. Keunggulan representasi ini adalah berbagai jenis metode crossover dan mutasi bisa diterapkan. Representasi ini juga selalu menghasilkan solusi feasible. Properti ini sangat berguna untuk menghemat waktu komputasi yang dibutuhkan untuk proses perbaikan (*repairing*) chromosome infeasible.

Untuk proses decoding chromosome untuk kasus pada Sub-Bab 4.7.1, dibutuhan tabel yang memetakan indeks urutan kemunculan gen dengan nomer job sebagai berikut:

| index | 1 | 2 | 3 | 4 | 5 | 6 | 7 | 8 | 9 | 10 |
|-------|---|---|---|---|---|---|---|---|---|----|
| job | 1 | 1 | 2 | 2 | 2 | 3 | 3 | 4 | 4 | 4 |

Berdasarkan tabel di atas maka sebuah chromosome P=[143, 209, 115,173, 75, 179, 193, 96 83, 144] bisa diuraikan menjadi sebuah solusi seperti ditunjukkan pada table berikut:

| - | | | | | |
|---|-----|---------|----------|----------|------------|
| | X | operasi | sorted x | operasi' | job,op,mac |
| | 143 | 1 | 75 | 5 | 2, 1, 3 |
| | 209 | 2 | 83 | 9 | 4, 1, 1 |
| | 115 | 3 | 96 | 8 | 4, 2, 3 |
| | 173 | 4 | 115 | 3 | 2, 2, 3 |
| | 75 | 5 | 143 | 1 | 1, 1, 2 |
| | 179 | 6 | 144 | 10 | 4, 3, 1 |
| | 193 | 7 | 173 | 4 | 2, 3, 2 |
| | 96 | 8 | 179 | 6 | 3, 1, 1 |
| | 83 | 9 | 193 | 7 | 3, 2, 2 |
| | 144 | 10 | 209 | 2 | 1, 2, 3 |
| | | | | | |

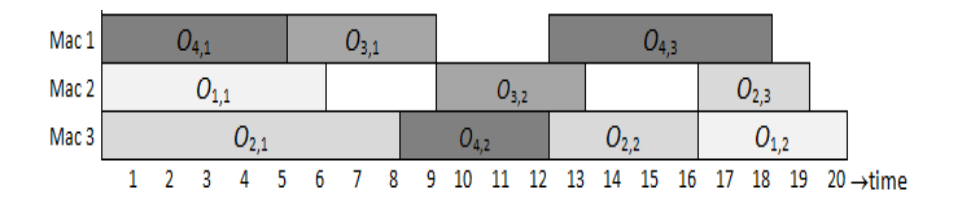
Langkah pertama untuk mengkonversi chromosome manjadi solusi adalah dengan mengurutkan x (bersama-sama *operasi*) secara *ascending* sehingga dihasilkan *sorted* x dan *operasi*. Dari *operasi* bisa didapatkan nomer *job* pada kolom terakhir dengan menggunakan table peta sebelumnya. Misal operasi 5 menunjukkan job 2, operasi 9 menunjukkan job 4, dan seterusnya. Operasi (*op*) pada kolom terakhir bisa didapatkan dengan memberi nomor urut kemunculan *job* yang sama.

Untuk menentukan mesin yang dipakai (mac) maka x dikonversi ke bilangan biner. Misalkan x_1 dikonversi ke $(1001011)_2$. 2 bit paling kanan $(11)_2=3$ dipakai untuk menentukan indeks mesin. Karena ada 2 alternatif mesin (n=2) yang bisa dipakai untuk operasi pertama dari job 2, maka digunakan rumus sebagai berikut:

$$indeks\ mesin = 3\ MOD\ n + 1 = 3\ MOD\ 2 + 1 = 2$$

MOD merupakan operator untuk menghitung sisa pembagian. Dari hasil ini maka operasi pertama dari job 2 dilakukan pada alternatif mesin yang ke-2, yaitu mesin 3. Pada proses kenversi ini digunakan 2 bit paling kanan karena maksimum banyaknya alternative mesin untuk setiap operasi adalah sebesar 2 yang hanya memerlukan 2 bit pada representasi biner. Untuk kasus lain dengan banyak alternatif mesin sebanyak 10 maka diperlukan 4 bit.

Dari solusi ini bisa dihasilkan Gantt-chart untuk menghitung makespan sebagai berikut:



Gambar 4.13. Gant-chart untuk menghitung makespan

4.8. Multi Travelling Salesman Problem (m-TSP)

Multi Travelling Salesman Problem (m-TSP) merupakan pengembangan dari TSP. Pada permasalahan ini terdapat lebih dari seorang salesman. Representasi permutasi yang digunakan untuk TSP bisa dimodifikasi sehingga bisa digunakan untuk mTSP. Modifikasi bisa dilakukan dengan menambahkan segmen untuk menunjukan banyaknya daerah yang dikunjungi oleh tiap salesman.

Misalkan terdapat 10 daerah yang harus dikunjungi (m=10) dan 3 orang salesman (n=3), maka sebuah chromosome bisa ditunjukkan seperti pada Gambar 4.14.

| posisi | 1 | 2 | 3 | 4 | 5 | 6 | 7 | 8 | 9 | 10 | 11 | 12 | 13 |
|----------|---|---|---|---|---|----|---|---|---|----|------|-----|----|
| gen | 2 | 5 | 1 | 7 | 6 | 10 | 4 | 9 | 8 | 3 | 3 | 4 | 3 |
| segmen 1 | | | | | | | | | | se | gmer | 1 2 | |

Gambar 4.14. Contoh chromosome untuk mTSP

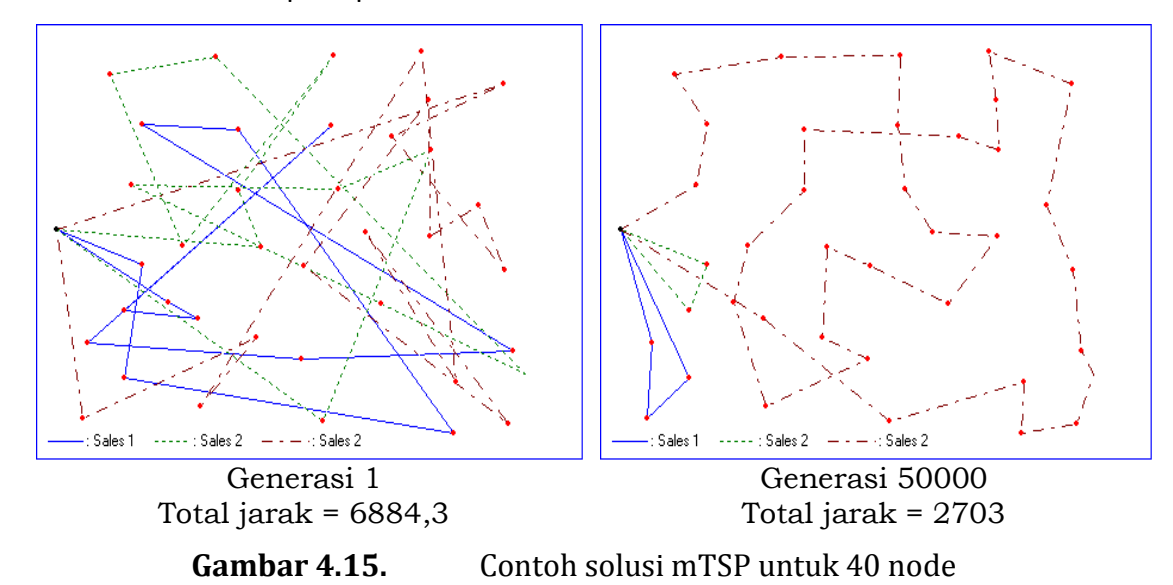
Gen-gen yang ada pada segmen 1 (posisi 1 sampai 10) menunjukkan urutan daerah yang dikunjungi, segmen 2 (posisi 11 sampai 13) menunjukkan banyaknya daerah yang dikunjungi tiap salesman. Dengan asumsi bahwa tiap salesman berangkat dari kantor pusat (KP) dan harus kembali juga ke kantor pusat, maka dari Gambar 2.4 dihasilkan rute tiap salesman sebagai berikut:

Salesman 1 : KP \rightarrow daerah 2 \rightarrow daerah 5 \rightarrow daerah 1 \rightarrow KP

Salesman 2 : KP \rightarrow daerah 7 \rightarrow daerah 6 \rightarrow daerah 10 \rightarrow daerah 4 \rightarrow KP

Salesman 3 : KP \rightarrow daerah 9 \rightarrow daerah 8 \rightarrow daerah 3 \rightarrow KP

Untuk sebuah kasus dengan 40 node, Mahmudy (2008a) menunjukkan solusi yang dihasilkan oleh GAs seperti pada Gambar 4.15.



mTSP telah diterapkan misalnya untuk kasus distribusi air mineral (Sari, RN & Mahmudy

4.9. Vehicle Routing Problem With Time Window (VRPTW)

2015).

Vehicle Routing Problem (VRP) merupakan permasalahan optimasi yang ada pada berbagai sistem distribusi. Pada permasalahan ini terdapat sejumlah kendaraan yang harus melayani sejumlah pelanggan. Setiap kendaraan punya kapasitas angkut tertentu dan setiap pelanggan mempunyai kuantitas permintaan tertentu. Solusi yang ingin dicapai adalah bagaimana memenuhi semua permintaan pelanggan dengan biaya minimum atau total jarak perjalanan terpendek.

Salah satu variasi dari VRP adalah *Vehicle Routing Problem with Time Windows* (VRPTW). Pada VRPTW terdapat *constraint* tambahan yaitu setiap pelanggan mempunyai waktu ketersediaan tertentu. Mereka hanya bisa dilayani pada interval waktu tersebut. Jika kendaraan datang sebelum waktu tersebut maka kendaraan harus menunggu. Sebaliknya jika kendaraan datang setelah waktu tersebut maka artinya pelanggan tersebut tidak akan dilayani. *Constraint* ini disebut *time window*.

VRPTW telah diterapkan pada berbagai kasus distribusi, misalnya:

- Distribusi makanan instan (Saputri, Mahmudy & Ratnawati 2015).
- Distribusi minuman (Harun, Mahmudy & Yudistira 2014).
- Distribusi beras bersubsidi (Putri, FB, Mahmudy & Ratnawati 2015).

Secara umum VRPTW bisa diselesaikan oleh algoritma evolusi dengan menggunakan representasi kromosom permutasi.

4.10. Rangkuman

Pada bab ini telah dibahas penerapan berbagai representasi chromosome dan operator reproduksi untuk menyelesaikan berbagai permasalahan kombinatorial. Representasi permutasi bisa digunakan untuk menyatakan sebuah solusi pada *Travelling Salesman Problem* (TSP). Setiap gen pada chromosome berupa angka integer yang menyatakan nomer dari tiap simpul. Metode crossover yang bisa digunakan adalah dengan melakukan modifikasi *one-cut-point crossover* yang digunakan pada representasi biner. Metode mutasi yang dibahas adalah *reciprocal exchange mutation* dan *insertion mutation*.

Multi Travelling Salesman Problem (m-TSP) merupakan pengembangan dari TSP. Pada permasalahan ini terdapat lebih dari seorang salesman.

Persoalan transportasi berkaitan dengan pendistribusian suatu komoditas atau produk dari sejumlah sumber (*supply*) kepada sejumlah tujuan (*destination*, *demand*) dengan tujuan meminimumkan ongkos pengangkutan yang terjadi.

Flow-Shop Scheduling Problem (FSP) berkaitan dengan penjadwalan sejumlah j job pada sejumlah m mesin. Semua job mempunyai urutan pemrosesan (operasi) yang sama. Representasi permutasi seperti yang digunakan pada TSP bisa diadopsi untuk FSP. Setiap gen pada chromosome menyatakan nomer dari tiap job. Operator crossover dan mutasi yang sama pada TSP juga bisa digunakan.

Two-stage Assembly Flowshop merupakan variasi dari FSP. Pada permasalahan ini sebuah job memiliki *m* operasi yang bisa dikerjakan pada *m* mesin secara paralel.

Pemrosesan tahap kedua (*assembly stage*) hanya bisa dilakukan setelah semua operasi pada tahap pertama telah diselesaikan. Representasi permutasi seperti yang digunakan pada TSP bisa diadopsi untuk *two-stage assembly flowshop*.

Job-Shop Scheduling Problem (JSP) merupakan perluasan dari FSP. Pada masalah ini tiap job mungkin mempunyai urutan operasi yang berbeda. Pada beberapa kasus, sebagian job hanya memerlukan sebagian mesin. Representasi permutasi seperti yang digunakan pada TSP bisa diadopsi untuk JSP.

Flexible job-shop problem (FJSP) merupakan bentuk umum (generalized form) dari JSP klasik. Pada permasalahan FSP, sebuah job memiliki beberapa operasi. Sebuah operasi bisa dikerjakan pada beberapa pilihan mesin. Skenario ini lebih dekat dengan kasus nyata yang ditemui pada industri manufaktur.

Bab ini juga menyajikan beberapa alternatif representasi chromosome untuk tiap permasalahan.

4.11. Latihan

- Jelaskan karakteristik dari masalah kombinatorial?
- 2. Untuk studi kasus TSP pada <u>Sub-Bab 4.2</u> terdapat chromosome *P*=[3 4 2 1 5]. Hitung nilai total jarak dan fitnessnya!
- 3. Tentukan chromosome child untuk crossover pada representasi permutasi berikut!

| | cut | point | \downarrow | | |
|----------|-----|-------|--------------|---|---|
| Parent 1 | 2 | 1 | 5 | 4 | 3 |
| | | | | | |
| Parent 2 | 3 | 5 | 1 | 4 | 2 |
| | | | | | |
| Child | | | | | |

4. Tentukan chromosome child untuk *insertion mutation* pada representasi permutasi berikut!

| | | IP↓ | | SP ↓ | |
|--------|---|-----|---|------|---|
| Parent | 1 | 4 | 2 | 5 | 3 |
| | | | | | |
| Child | | | | | |

5. Tentukan chromosome child untuk *reciprocal exchange mutation* pada representasi permutasi berikut!

| | XI | P1 ↓ | XI | P2 ↓ | |
|--------|----|------|----|------|---|
| Parent | 1 | 4 | 2 | 5 | 3 |
| | | | | | |
| Child | | | | | |

6. Untuk dua individu pada permasalahan transportasi berikut tentukan offspring yang terbentuk dari proses crossover!

$$P_1 = \begin{bmatrix} 0 & 0 & 0 & 10 \\ 10 & 5 & 0 & 0 \\ 0 & 0 & 5 & 0 \end{bmatrix}$$

$$P_2 = \begin{bmatrix} 5 & 0 & 0 & 5 \\ 0 & 5 & 5 & 5 \\ 5 & 0 & 0 & 0 \end{bmatrix}$$

7. Untuk individu pada permasalahan transportasi berikut tentukan offspring yang terbentuk dari proses mutasi dengan menggunakan titik sudut yang diberi warna kuning!

$$P = \begin{bmatrix} 0 & 0 & 0 & 10 \\ 10 & 5 & 0 & 0 \\ 0 & 0 & 5 & 0 \end{bmatrix}$$

- 8. Konversikan representasi permutasi *P*=[2 1 5 12 7 9 4 10 8 3 6 11] untuk menjadi solusi permasalah transportasi!
- 9. Hitung makespan untuk solusi FJSP dari representasi real *P*=[57 142 78 152 121 241 17 79 213 7] pada kasus di <u>Sub-Bab 4.7</u>!
- 10. Hitung makespan untuk solusi FJSP dari representasi real *P*=[129 114 147 186 220 58 159 11 31 235] pada kasus di <u>Sub-Bab 4.7</u>!

Topik Lanjut pada Algoritma Genetika

5.1. Pengantar

Meskipun GAs dianggap *powerful* untuk menyelesaikan berbagai permasalahan rumit, implementasi GAs sederhana seringkali tidak cukup efektif untuk menyelesaikan permasalahan kompleks dengan area pencarian yang sangat luas. Representasi chromosome dan operator genetika yang tepat, kombinasi (*hybrid*) dengan metode lain, dan strategi yang efisien untuk menghindari konvergensi dini diperlukan untuk memperkuat kemampuan GAs (Lozano & Herrera 2003; Rothlauf 2006). Bab ini membahas bagaimana strategi-strategi ini diterapkan.

5.2. Hybrid Genetic Algorithms (HGAs)

Algoritma genetika murni memberikan hasil kurang optimum pada ruang pencarian yang kompleks. Penggabungan (*hybridisation*) dengan teknik lain dapat meningkatkan akurasi dan efisiensi pencarian solusi optimum (Mahmudy, Marian & Luong 2014). Hibridisasi GAs dengan teknik pencarian lokal (*local search* / LS) menghasilkan *memetic algorithms* (MAs). Teknik LS sederhana yang bisa dipakai misalnya algoritma *hill-climbing* yang sukses digunakan pada optimasi fungsi tanpa kendala (Mahmudy 2008b).

Kekuatan utama MAs adalah keseimbangan antara kemampuan eksplorasi GAs dalam pencarian pada area global dan kemampuan eksplotasi LS dalam area local (Lozano et al. 2004). Dalam implementasinya, LS diterapkan pada setiap individu baru dengan menggerakkannya menuju optimum lokal sebelum dimasukkan ke dalam populasi. Dengan mengacu struktur GAs murni pada Sub-Bab 2.2 maka struktur MAs bisa disusun dengan menambahkan perbaikan lokal sebagai berikut:

```
procedure AlgoritmaGenetika

begin

t = 0

inisialisasi P(t)

while (bukan kondisi berhenti) do

reproduksi C(t) dari P(t)

evaluasi P(t) dan C(t)

perbaiki C(t)

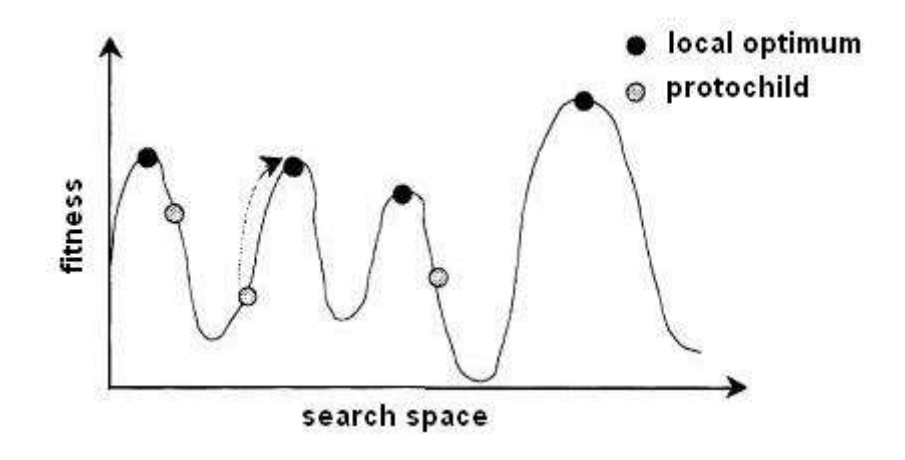
seleksi P(t+1) dari P(t) dan C(t)

t = t + 1

end while

end
```

Mekanisme perbaikan offspring tersibut diilustrasikan pada Gambar 5.1. Anak yang baru terbentuk (*protochild*) akan didorong menuju optimum lokal.



Gambar 5.1. MAs dan optimasi lokal (Gen & Cheng 2000)

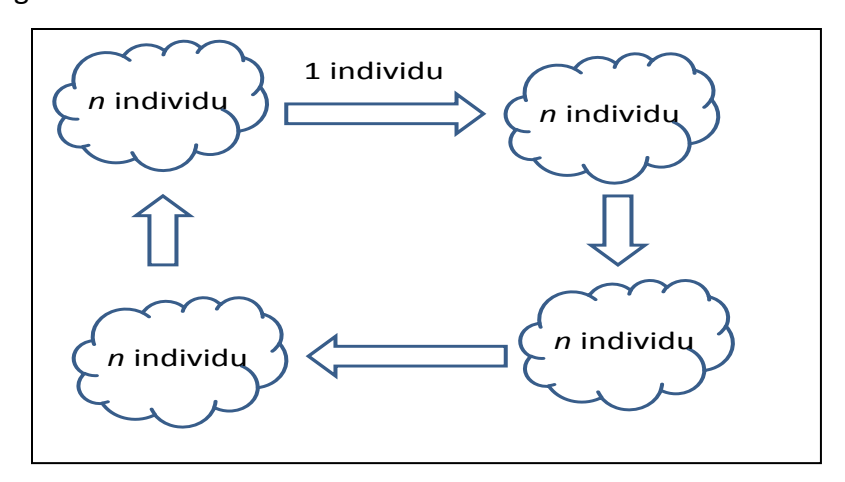
Karena GAs bisa dihibridisasi dengan algoritma meta-heuristik yang lain (tidak selalu LS) maka dalam pembahasan selanjutnya disebut *hybrid* GAs (HGAs). Salah satu penerapannya misalnya hibridisasi *real-coded* GAs (RCGA) dengan *variable neighbourhoods search* (VNS) untuk penyelesaian permasalahan *part type selection* dan *machine loading* pada *flexible manufacturing system* (FMS) (Mahmudy, Marian & Luong 2013c). Penyelesaian kedua permasalahan tersebut secara terintegrasi dikenal sangat sulit sehingga GAs dihibridisasi dengan algoritma lainnya seperti *particle swarm optimization* (Biswas & Mahapatra 2008) dan *simulated annealing* (Yogeswaran, Ponnambalam & Tiwari 2009)

5.3. Parallel Genetic Algorithms (PGAs)

Pada ruang pencarian yang luas dan kompleks, GAs sering terjebak dalam daerah optimum lokal. Hal ini terjadi karena kurangnya keragaman individu dalam populasi. Hal ini bisa diatasi dengan meletakkan individu-individu dalam beberapa sub-populasi. Pada tiap sub-populasi diterapkan operator genetika (crossover, mutasi, dan seleksi) yang berbeda. Operator migrasi digunakan untuk memindahkan satu atau beberapa individu dari satu sub-populasi ke dalam sub-populasi lain. Pendekatan ini menghasilkan metode yang disebut algoritma genetika terdistribusi (*distributed genetic algorithms*, DGAs). DGAs terbukti efektif menjaga keragaman populasi dan meningkatkan kualitas hasil pencarian (Mahmudy 2009).

Individu-individu yang ada juga bisa diletakkan pada beberapa sub-populasi yang diproses pada beberapa komputer secara paralel. Hal ini untuk mengurangi waktu komputasi pada masalah yang sangat kompleks (Defersha & Chen 2010; Qi, Burns & Harrison 2000). Karena itu DGAs sering juga disebut *parallel genetic algorithms* (PGAs).

Mekanisme migrasi sederhana dideskripsikan pada Gambar 5.2 yang menunjukkan ada empat sub-populasi. Pada setiap g generasi, satu invidu terbaik dipindahkan ke sub-populasi yang lain.



Gambar 5.2. Mekanisme migrasi

5.4. Nilai Parameter Adaptif

Kinerja GAs ditentukan oleh kemampuannya dalam menjelajahi (*explore*) dan mengeksploitasi (*exploit*) ruang pencarian (*search space*). Eksplorasi merujuk pada kemampuan untuk menginvestigasi area baru pada ruang pencarian. Eksploitasi merujuk pada kemampuan untuk meningkatkan kualitas solusi pada area tetangga (*neighbourhoods*) dari solusi yang didapatkan melalui eksplorasi (Lozano & Herrera 2003). Dari sini bisa disimpulkan bahwa keseimbangan kemampuan eksplorasi dan eksploitasi sangat penting untuk mendapatkan solusi yang baik (optimum atau mendekati optimum).

Keseimbangan kemampuan eksplorasi dan eksploitasi bisa didapatkan melalui penentuan *crossover rate* dan *mutation rate* yang tepat (Lozano & Herrera 2003). Jika menggunakan nilai *crossover rate* yang terlalu rendah maka GAs akan sangat tergantung pada proses mutasi. Walaupun *mutation rate* yang tinggi memungkinkan GAs mempunyai level eksplorasi dan diversitas populasi yang tinggi, *crossover rate* yang rendah membuatnya tidak bisa secara efektif 'belajar' dari generasi sebelumnya. Hal ini menyebabkan ruang pencarian tidak bisa diekploitasi secara efektif (Mahmudy 2014a).

Hal sebaliknya terjadi jika *crossover rate* yang tinggi dan *mutation rate* yang rendah digunakan. GAs akan mengalami penurunan kemampuan untuk menjaga diversitas pupolasi. *Crossover rate* yang tinggi akan menghasilkan *offspring* yang mempunyai kemiripan yang tinggi dengan induknya. Hal ini menyebabkan GAs mengalami konvergensi dini hanya dalam beberapa generasi dan kehilangan kesempatan untuk mengeksplorasi area lain dalam ruang pencarian (Mahmudy 2014a).

Penentuan kombinasi terbaik *crossover rate* dan *mutation rate* merupakan pekerjaan sulit dan memerlukan beberapa percobaan pendahuluan (Mahmudy, Marian & Luong 2013e). Untuk permasalahan yang berbeda dibutuhkan nilai yang berbeda pula. Karena itu beberapa penelitian menerapkan mekanisme perubahan *crossover rate* dan *mutation rate* secara adaptif sepanjang generasi (Im & Lee 2008; Liqun et al. 2010; Mahmudy & Rahman 2011). Serangkaian percobaan menunjukkan bahwa penggunaan

tingkat reproduksi adaptif mempercepat pergerakan GA ke daerah *feasible* yang sekaligus mempercepat pencapaian solusi (Mahmudy & Rahman 2011).

Mahmudy and Rahman (2011) menerapkan pengaturan *mutation rate* secara adaptif sepanjang generasi. Pada setiap generasi dihitung rata-rata nilai fitness seluruh individu dalam populasi (*fAvg*). Jika ada peningkatan rata-rata nilai fitness yang signifikan dibanding generasi sebelumnya (*fAvg*>>*fAvgOld*) maka nilai *mutation rate* diturunkan. Hal ini memungkinkan GAs untuk lebih fokus mengeksploitasi ruang pencarian lokal. Jika terjadi hal yang sebaliknya (tidak ada peningkatan signifikan) maka nilai *mutation rate* dinaikkan. Hal ini memungkinkan GA untuk lebih memperluas pencarian (eksplorasi) dengan melompati daerah optimum lokal. *Pseudo-code* dari mekanisme ini disajikan pada Gambar 5.3.

```
PROCEDURE UpdateMutationRate
Input:
              rata-rata nilai fitness pada generasi sekarang (t)
    fAvg:
    fAvgOld: rata-rata nilai fitness pada generasi sebelumnya (t-
    threshold: nilai perbedaan yang menyatakan bahwa ada peningkatan
             yang signifikan
    mutRate: nilai mutation yang belum berubah
Output:
    mutRate: nilai mutation yang telah berubah
if fAvg- fAvgOld>threshold then
  mutRate ← mutRate * 0.95
else
  mutRate ← mutRate * 1.1;
endif
if mutRate>mutRateMax then
  mutRate \leftarrow mutRateMax
else if mutRate<mutRateMin then
  mutRate ← mutRateMin
endif
END PROCEDURE
```

Gambar 5.3. Mekanisme pengubahan mutation rate secara adaptif

Pada pseudo-code di atas ditambahkan satu mekanisme untuk menjaga nilai *mutation* rate dalam range [mutRateMin, mutRateMax].

5.5. Rangkuman

Pada bab ini telah dibahas tiga teknik lanjut yang bisa diterapkan untuk memperkuat kemampuan algoritma genetika klasik, yaitu: *Parallel Genetic Algorithms* (PGAs), pengaturan nilai parameter algoritma genetika secara adaptif, dan *Hybrid Genetic Algorithms* (HGAs).

5.6. Latihan

- 1. Apa tujuan dari penerapan algoritma genetika terdistribusi?
- 2. Jelaskan mekanisme kerja dari algoritma genetika terdistribusi!
- 3. Apa tujuan dari pengembangan *Hybrid Genetic Algorithms* (HGAs)?
- 4. Apa tujuan dari penerapan nilai parameter adaptif?

Evolution Strategies (ES)

6.1. Pengantar

Teknik optimasi evolution strategies (ES) dicetuskan sejak awal tahun 1960-an dan kemudian dikembangkan lebih lanjut pada tahun 1970-an oleh Ingo Rechenberg, Hans-Paul Schwefel, dan rekan-rekannya di Technical University of Berlin (TUB) (Beyer & Schwefel 2002). Seperti halnya GAs, ES telah diaplikasikan dalam berbagai bidang, misalnya penjadwalan pemrosesan sinyal digital pada system multiprocessor (Greenwood, G W, Gupta & McSweeney 1994), pemrosesan citra dan computer vision (Louchet 2000), optimasi pelepasan airbag secara otomatis pada mobil (Ostertag, Nock & Kiencke 1995), penjadwalan tugas pada real-time distributed computing systems (Greenwood, G. W., Lang & Hurley 1995), optimasi komposisi pakan ternak (Milah & Mahmudy 2015), dan penentuan rute distribusi produk (Harun, Mahmudy & Yudistira 2014; Munawaroh & Mahmudy 2015b; Vista & Mahmudy 2015). ES juga cukup efektif dikombinasikan/dihibridisasi dengan algoritma lain seperti particle swarm optimization untuk penjadwalan staff (Nissen & Günther 2009). ES juga diterapkan untuk mendapatkan model terbaik dari Fuzzy AHP (Putri, AMDA, Mahmudy & Cholissodin 2015).

Ciri utama evolution strategies (ES) adalah penggunaan vektor bilangan pecahan (real-vector) sebagai representasi solusi. Berbeda dengan GAs yang menggunakan crossover sebagai operator reproduksi utama dan mutasi sebagai operator penunjang, ES lebih bertumpu pada operator mutasi. Mekanisme self-adaptation digunakan untuk mengontrol perubahan nilai parameter pencarian. GAs dan ES bisa digunakan untuk menyelesaikan permasalahan yang sama. Tetapi mana yang terbaik di antara kedua metode tersebut sangat tergantung pada permasalahan yang dihadapi.

6.2. Struktur Dasar Evolution Strategies

Beberapa notasi digunakan oleh ES. μ (*miu*) menyatakan ukuran populasi (sama seperti *popSize* pada GAs). λ (*lambda*) menyatakan banyaknya offspring yang dihasilkan pada proses reproduksi (sama seperti *crossover rate* dan *mutation rate* pada GAs). Beberapa penelitian menyarankan besarnya nilai λ sebesar 7μ .

Apabila *P(t)* dan *C(t)* merupakan populasi (*parents*) dan *offspring* pada generasi ke-*t*, maka siklus ES dapat dideskripsikan sebagai berikut:

```
procedure EvolutionStrategies begin t=0 inisialisasi P(t): generate \mu individu while (bukan kondisi berhenti) do recombinasi: produksi C(t) sebanyak \lambda dari P(t) mutasi C(t) seleksi P(t+1) dari P(t) dan C(t) t=t+1 end while end
```

Perhatikan bahwa siklus ini serupa dengan siklus algoritma genetika (GAs). Perbedaan nyata ES dan GAs adalah pada operator yang digunakan. Perbedaan yang lain adalah mutasi pada GAs digunakan untuk menghasilkan individu baru (offspring) sebagai tambahan dari offspring yang diproduksi oleh operator crossover. Pada ES, mutasi diterapkan pada offspring yang dihasilkan proses rekombinasi. Rekombinasi pada ES mirip dengan operator crossover pada GAs tapi bisa menggunakan lebih dari satu induk.

Karena ES lebih mengandalkan mutasi, maka proses rekombinasi tidak selalu digunakan. Secara umum terdapat empat tipe proses dari ES, yaitu:

- (μ, λ)
- $(\mu/r, \lambda)$
- $(\mu + \lambda)$
- $(\mu/r + \lambda)$

 $ES(\mu,\lambda)$ tidak menggunakan rekombinasi dalam proses reproduksi. Seleksi menggunakan *elitism selection* hanya melibatkan individu dalam *offspring*, individu induk dalam populasi tidak dilibatkan. $ES(\mu/r,\lambda)$ serupa dengan $ES(\mu,\lambda)$ dengan tambahan melibatkan proses rekombinasi. $ES(\mu+\lambda)$ tidak menggunakan rekombinasi dan proses seleksi menggunakan *elitism selection* melibatkan individu *offspring* dan induk.

6.3. Siklus ES (μ, λ)

Permasalahan pada Sub-Bab 2.4 (Studi Kasus: Maksimasi Fungsi dengan Presisi Tertentu) akan digunakan untuk menjelaskan siklus ES secara detil.

6.3.1. Representasi Chromosome

Seperti halnya untuk real-coded GA pada pada Bab 3, variabel keputusan (x_1 dan x_2) langsung menjadi gen string *chromosome*. Selain gen yang menyatakan variabel keputusan, parameter tambahan yang melekat pada setiap *chromosome* adalah σ (sigma). Nilai ini menyatakan level mutasi untuk *chromosome* tersebut. Nilai ini akan ikut berubah secara adaptif sepanjang generasi. Jika P adalah satu *chromosome* maka $P=(x_1,x_2,\sigma_1,\sigma_2)$ dengan panjang string sebesar 4.

6.3.2. Inisialisasi

Populasi inisial dibangkitkan secara random. Nilai x_1 dan x_2 dibangkitkan dalam rentang variabel ini (lihat Modul 1). Nilai σ_1 dan σ_2 dibangkitkan dalam rentang [0,1]. Misalkan ditentukan μ =4 maka akan dihasilkan populasi seperti contoh berikut:

| P(t) | X ₁ | X ₂ | $\sigma_{\!\scriptscriptstyle 1}$ | $\sigma_{\!\scriptscriptstyle 2}$ | $f(x_1,x_2)$ |
|-------|-----------------------|----------------|-----------------------------------|-----------------------------------|--------------|
| P_1 | 1,48980 | 2,09440 | 0,14197 | 0,91090 | 19,8212830 |
| P_2 | 8,49170 | 2,57540 | 0,53801 | 0,86904 | 34,7060873 |
| P_3 | -1,84610 | 1,70970 | 0,99835 | 0,49351 | 11,5863900 |
| P_4 | 5,81140 | 5,07790 | 0,40521 | 0,98911 | 14,5620828 |

6.3.3. Reproduksi

Karena rekombinasi tidak digunakan maka hanya mutasi yang berperan menghasilkan offspring. Misalkan $P=(x_1,x_2,\sigma_1,\sigma_2)$ adalah individu yang terpilih untuk melakukan mutasi, maka dihasilkan offspring $P'=(x'_1,x'_2,\sigma'_1,\sigma'_2)$ sebagai berikut:

$$x' = x + \sigma N(0,1)$$

Rumusan ini bisa didetailkan sebagai berikut:

$$x'_1 = x_1 + \sigma_1 N(0,1)$$

$$x'_2 = x_2 + \sigma_2 N(0,1)$$

N(0,1) merupakan bilangan acak yang mengikuti sebaran normal dengan rata-rata sebesar 0 dan standard deviasi sebesar 1. Pada program komputer, nilai N(0,1) bisa didapatkan dengan membangkitkan dua bilangan random r_1 dan r_2 pada interval [0,1]. Rumus yang digunakan adalah (Schwefel 1995):

$$N(0,1) = \sqrt{-2.\ln r_1} \sin 2\pi r_2$$

Misalkan r_1 = 0,4749 dan r_2 = 0,3296 maka didapatkan N(0,1) = 1,0709.

Nilai σ dinaikkan jika ada paling sedikit 20% hasil mutasi yang menghasilkan individu yang lebih baik dari induknya. Jika tidak maka nilai σ diturunkan. Misalkan $\lambda=3\times\mu=12$, maka setiap individu dalam populasi akan menghasilkan 3 *offspring*. Pada kasus ini, nilai σ akan dinaikkan jika ada setidaknya 1 offspring yang lebih baik.

Contoh hasil mutasi diberikan sebagai berikut:

| C(t) | Induk | N ₁ (0,1) | N ₂ (0,1) | x' ₁ | x' ₂ | $\sigma_{\scriptscriptstyle 1}$ | $\sigma_{2}^{'}$ | $f(x_1,x_2)$ |
|-----------------------|-------|----------------------|----------------------|-----------------|-----------------|---------------------------------|------------------|--------------|
| C_1 | P_1 | 0,0098 | -0,8394 | 1,491191 | 1,3298 | 0,15617 | 1,00199 | 10,04952 |
| C_2 | | 1,0334 | -0,6351 | 1,63651 | 1,5159 | 0,15617 | 1,00199 | 9,03814 |
| <i>C</i> ₃ | | -1,9967 | -1,8970 | 1,206331 | 0,3664 | 0,15617 | 1,00199 | 27,06928 |
| C ₄ | P_2 | -0,0398 | 0,6565 | 8,470287 | 3,1459 | 0,48421 | 0,78214 | 24,40017 |
| C ₅ | | -0,7821 | -0,2305 | 8,070926 | 2,3751 | 0,48421 | 0,78214 | 27,82881 |
| C ₆ | | 1,3563 | 0,1430 | 9,221397 | 2,6997 | 0,48421 | 0,78214 | 19,00143 |
| <i>C</i> ₇ | P_3 | -1,1466 | 1,3203 | -2,9908 | 2,3613 | 1,09818 | 0,54286 | 26,01116 |
| <i>C</i> ₈ | | 1,1021 | -1,9381 | -0,74582 | 0,7532 | 1,09818 | 0,54286 | 26,00610 |

| C ₉ | | 0,7094 | -0,2813 | -1,13787 | 1,5709 | 1,09818 | 0,54286 | 10,30137 |
|-----------------------|-------|--------|---------|----------|--------|---------|---------|----------|
| C ₁₀ | P_4 | 1,8635 | -0,2293 | 6,566503 | 4,8511 | 0,44573 | 1,08802 | 27,74543 |
| C_{11} | | 0,5542 | -1,2182 | 6,035966 | 3,873 | 0,44573 | 1,08802 | 17,29977 |
| C_{12} | | 1,4608 | -0,5120 | 6,403326 | 4,5715 | 0,44573 | 1,08802 | 30,40250 |

Perhatikan dari hasil mutasi ini, nilai σ dari offspring yang dihasilkan P_1 , P_3 , dan P_4 dinaikkan dengan rumusan $\sigma' = \sigma \times 1,1$. Nilai σ dari offspring yang dihasilkan P_2 diturunkan dengan rumusan $\sigma' = \sigma \times 0,9$.

6.3.4. Seleksi

Seleksi menggunakan *elitism selection* hanya melibatkan individu dalam *offspring,* individu induk dalam populasi tidak dilibatkan. Dari proses ini didapatkan populasi baru sebagai berikut:

| P(t+1) | asal | X ₁ | <i>X</i> ₂ | $\sigma_{\!\scriptscriptstyle 1}$ | $\sigma_{\!\scriptscriptstyle 2}$ | $f(x_1,x_2)$ |
|--------|-----------------------|-----------------------|-----------------------|-----------------------------------|-----------------------------------|--------------|
| P_1 | C ₁₂ | 6,40333 | 4,57148 | 0,44573 | 1,08802 | 30,4025035 |
| P_2 | C ₅ | 8,07093 | 2,37509 | 0,48421 | 0,78214 | 27,8288128 |
| P_3 | C_{10} | 6,56650 | 4,85110 | 0,44573 | 1,08802 | 27,7454295 |
| P_4 | <i>C</i> ₃ | 1,20633 | 0,36642 | 0,15617 | 1,00199 | 27,0692849 |

6.4. Siklus ES ($\mu/r + \lambda$)

Pada sub-bab ini, siklus ES dibahas lagi dengan melibatkan proses rekombinasi. Populasi inisial pada Sub-Bab 6.3.2 digunakan lagi.

6.4.1. Reproduksi: Recombinasi dan Mutasi

Recombinasi dilakukan untuk menghasilkan offspring sebanyak λ dari sejumlah μ individu dalam populasi. Setiap satu individu offspring dihasilkan dari beberapa induk. Induk dipilih secara acak dari populasi. Metode rekombinasi paling sederhana adalah dengan menghitung rata-rata nilai elemen induk. Contoh proses rekombinasi diberikan sebagai berikut:

- Misalkan offspring didapatkan dari 2 induk. Jika P_1 dan P_3 terpilih maka akan didapatkan offspring C=(-0,17815,1,90205,0,57016,0,70221).

- Misalkan offspring didapatkan dari 3 induk. Jika P_1 , P_2 dan P_3 terpilih maka akan didapatkan offspring C=(2,71180, 2,12650, 0.55944, 0,75782).

Pada studi kasus ini, misalkan λ =6 dan offspring didapatkan dari 2 induk. Contoh hasil rekombinasi diberikan sebagai berikut

| C(t) | Induk | X ₁ | X ₂ | $\sigma_{\!\scriptscriptstyle 1}$ | $\sigma_{\!\scriptscriptstyle 2}$ | $f(x_1,x_2)$ |
|-----------------------|-----------------|-----------------------|----------------|-----------------------------------|-----------------------------------|--------------|
| C_1 | P_1 dan P_3 | -0,17815 | 1,90205 | 0,57016 | 0,70221 | 16,6418295 |
| C_2 | P_2 dan P_3 | 3,32280 | 2,14255 | 0,76818 | 0,68128 | 19,5813015 |
| <i>C</i> ₃ | P_1 dan P_4 | 3,65060 | 3,58615 | 0,27359 | 0,95001 | 9,5700496 |
| C_4 | P_2 dan P_4 | 7,15155 | 3,82665 | 0,47161 | 0,92907 | 12,5240357 |
| C ₅ | P_1 dan P_3 | -0,17815 | 1,90205 | 0,57016 | 0,70221 | 16,6418295 |
| C_6 | P_3 dan P_4 | 1,98265 | 3,39380 | 0,70178 | 0,74131 | 12,6500683 |

Dengan cara yang sama pada sub-bab sebelumnya, mutasi dilakukan. nilai σ dinaikkan jika hasil mutasi lebih baik. Sebaliknya jika hasil mutasi lebih buruk maka nilai σ diturunkan. Berikut ini contoh hasil mutasi:

| Ć (t) | N ₁ (0,1) | $N_2(0,1)$ | x '1 | X 2 | $\sigma_{\scriptscriptstyle 1}$ | $\sigma_{2}^{'}$ | $f(x_1,x_2)$ |
|-----------------------|----------------------|------------|----------|----------|---------------------------------|------------------|--------------|
| C_1 | 0,1885 | 0,2747 | -0,07068 | 2,094946 | 0,62717 | 0,77243 | 21,3386958 |
| C_2 | -1,7947 | -0,1359 | 1,944154 | 2,049965 | 0,84499 | 0,74940 | 19,9034447 |
| C ₃ | -0,5603 | -1,8657 | 3,497309 | 1,813724 | 0,30095 | 1,04501 | 10,9809788 |
| C_4 | 0,6189 | -0,4613 | 7,443427 | 3,398068 | 0,42445 | 0,83617 | 5,4075091 |
| C ₅ | -0,1371 | -0,4201 | -0,25632 | 1,607053 | 0,51314 | 0,63199 | 11,2620580 |
| <i>C</i> ₆ | 1,1125 | -0,2153 | 2,763377 | 3,234196 | 0,77195 | 0,81544 | 16,3293685 |

6.4.2. Seleksi

Seleksi menggunakan *elitism selection* melibatkan individu dalam *offspring* dan individu induk dalam populasi. Dari proses ini didapatkan populasi baru sebagai berikut

| P(t+1) | asal | X_1 | <i>X</i> ₂ | $\sigma_{\!\scriptscriptstyle 1}$ | $\sigma_{\!\scriptscriptstyle 2}$ | $f(x_1,x_2)$ |
|--------|-------|----------|-----------------------|-----------------------------------|-----------------------------------|--------------|
| P_1 | P_2 | 8,49170 | 2,57540 | 0,53801 | 0,86904 | 34,7060873 |
| P_2 | C_1 | -0,07068 | 2,09495 | 0,62717 | 0,77243 | 21,3386958 |
| P_3 | C_2 | 1,94415 | 2,04996 | 0,84499 | 0,74940 | 19,9034447 |
| P_4 | P_1 | 1,48980 | 2,09440 | 0,14197 | 0,91090 | 19,8212830 |

6.5. Studi Kasus ES ($\mu + \lambda$): Optimasi Fungsi Berkendala

Perhatikan permasalahan pada sebuah perusahaan yang akan memproduksi dua jenis lemari, sebut saja lemari A dan lemari B. Untuk memproduksi kedua lemari tersebut dibutuhkan tiga macam bahan baku, yaitu: kayu, aluminium, dan kaca. Kebutuhan detil tiga bahan baku tersebut (dalam unit tertentu) untuk tiap buah lemari ditampilkan pada tabel berikut:

| lemari | kayu | aluminium | kaca |
|--------|------|-----------|------|
| Α | 10 | 9 | 12 |
| В | 20 | 8 | 18 |

Persedian bahan baku kayu, aluminium, dan kaca di gudang berturut-turut adalah 350, 200, dan 300. Jika keuntungan penjualan sebuah lemari A sebesar 400 dan B sebesar 500, berapakah banyaknya lemari A dan B harus diproduksi agar didapatkan keuntungan maksimum?

Untuk menyelesaikan permasalahan ini dibutuhkan sebuah model matematis. Model ini disusun atas sejumlah fungsi tujuan (*objective functions*) dan sejumlah kendala (*constraints*). Fungsi tujuan merepresentasikan tujuan yang ingin dioptimalkan (maksimumkan atau minimumkan). Jika banyaknya lemari yang harus diproduksi dilambangkan dengan x_1 dan x_2 , maka fungsi tujuan bisa dinyatakan sebagai:

maksimumkan
$$f(x_1, x_2) = 400x_1 + 500x_2$$
 (6.1)

Kendala ketersediaan bahan baku bisa dinyatakan sebagai berikut:

kendala 1:
$$10x_1 + 20x_2 \le 350$$
 (6.2)

kendala 2:
$$9x_1 + 8x_2 \le 200$$
 (6.3)

kendala 3:
$$12x_1 + 18x_2 \le 300$$
 (6.4)

Pada optimasi fungsi berkendala, penentuan rumus perhitungan fitness harus dilakukan secara tepat agar solusi optimum bisa ditemukan secara efisien. Beberapa aturan diadopsi dari (Mahmudy & Rahman 2011) untuk menentukan mana individu yang lebih baik bisa dinyatakan sebagai berikut:

- Jika tidak ada kendala yang dilanggar maka sebuah individu dikatakan lebih baik dari individu yang lain jika nilai fungsi obyektifnya lebih besar (perhatikan ini berlaku untuk masalah maksimasi).
- Jika kedua individu melanggar minimal satu kendala maka dipilih yang total pelanggaran terhadap kendala lebih kecil. Hal ini untuk menjamin solusi yang dipilih memenuhi kendala sebanyak mungkin.

Berdasarkan dua aturan ini bisa disusun fungsi fitness sebagai berikut:

$$fitness(x_1, x_2) = f(x_1, x_2) - M(c_1 + c_2 + c_3)$$
(6.5)

M: bilangan positif yang cukup besar, misalnya pada kasus ini adalah 1000

$$c_1 = \begin{cases} 0, & \text{jika } 10x_1 + 20x_2 \le 350\\ (10x_1 + 20x_2) - 350, & \text{selainnya} \end{cases}$$

$$c_2 = \begin{cases} 0, & \text{jika } 9x_1 + 8x_2 \le 200\\ (9x_1 + 8x_2) - 200, & \text{selainnya} \end{cases}$$

$$c_3 = \begin{cases} 0, & \text{jika } 12x_1 + 18x_2 \le 300\\ (12x_1 + 18x_2) - 300, & \text{selainnya} \end{cases}$$

Contoh perhitungan fitness diberikan dalam tabel berikut

| X ₁ | Х2 | $Round(x_1)$ | $Round(x_2)$ | $f(x_1,x_2)$ | C ₁ | C ₂ | <i>C</i> ₃ | fitness |
|-----------------------|------|--------------|--------------|--------------|-----------------------|-----------------------|-----------------------|---------|
| 21,9 | 0,3 | 22 | 0 | 8800 | 0 | 0 | 0 | 8800 |
| 0,2 | 15,9 | 0 | 16 | 8000 | 0 | 0 | 0 | 8000 |
| 10,3 | 11,4 | 10 | 11 | 9500 | 0 | 0 | 18 | -8500 |
| 8,1 | 13,6 | 8 | 14 | 10200 | 10 | 0 | 48 | -47800 |

Nilai x_1 dan x_2 merupakan bilangan pecahan (*real*). Karena permasalahan ini memerlukan solusi dalam bentuk bilangan bulat maka dalam perhitungan fitness nilai x_1 dan x_2 dibulatkan terlebih dahulu.

6.5.1. Inisialisasi

Populasi inisial dibangkitkan secara random. Nilai x_1 dan x_2 dibangkitkan sebagai bilangan pecahan (*real*) dalam rentang [0,50]. Misalkan ditentukan μ =4 maka akan dihasilkan populasi dengan contoh sebagai berikut:

| P(t) | X ₁ | X ₂ | $\sigma_{\!\scriptscriptstyle 1}$ | $\sigma_{\!\scriptscriptstyle 2}$ | fitness |
|-------|-----------------------|----------------|-----------------------------------|-----------------------------------|---------|
| P_1 | 21,9 | 0,3 | 0,23241 | 0,02713 | 8800 |
| P_2 | 0,2 | 15,9 | 0,82123 | 0,10383 | 8000 |
| P_3 | 10,3 | 11,4 | 0,79231 | 0,93718 | -8500 |
| P_4 | 8,1 | 13,6 | 0,31982 | 0,75632 | -47800 |

6.5.2. Reproduksi

Karena rekombinasi tidak digunakan maka hanya mutasi yang berperan menghasilkan offspring. Pada studi kasus ini, misalkan $\lambda=2\mu=8$ maka dihasilkan offspring seperti contoh berikut:

| C(t) | Induk | N ₁ (0,1) | N ₂ (0,1) | x' ₁ | x' ₂ | $\sigma_{\scriptscriptstyle 1}^{'}$ | $\sigma_2^{'}$ | fitness |
|-----------------------|-------|----------------------|----------------------|-----------------|-----------------|-------------------------------------|----------------|---------|
| C_1 | P_1 | 1,8023 | -1,3414 | 22,3189 | 0,2636 | 0,20917 | 0,02442 | 8800 |
| C_2 | | -0,7837 | 1,2838 | 21,7179 | 0,3348 | 0,20917 | 0,02442 | 8800 |
| C ₃ | P_2 | 0,6234 | -0,9298 | 0,7120 | 15,8035 | 0,68574 | -1,02278 | 8400 |
| <i>C</i> ₄ | | -1,2394 | -0,3293 | -0,8178 | 15,8658 | -1,36334 | -0,36223 | 7600 |
| C_5 | P_3 | 1,0383 | -2,0459 | 11,1227 | 9,4826 | 0,87154 | 1,03090 | 8900 |
| C_6 | | 1,9932 | 1,2427 | 11,8792 | 12,5646 | 0,87154 | 1,03090 | -108700 |
| C ₇ | P_4 | -0,4513 | -1,6313 | 7,9557 | 12,3662 | 0,35180 | 0,83195 | -2800 |
| <i>C</i> ₈ | | -1,2093 | 2,0348 | 7,7132 | 15,1390 | 0,35180 | 0,83195 | -85300 |

Perhatikan dari hasil mutasi ini, nilai σ dari offspring yang dihasilkan P_2 , P_3 , dan P_5 dinaikkan dengan rumusan $\sigma' = \sigma \times 1,1$ karena paling tidak menghasilkan 1 anak yang lebih baik. Nilai σ dari offspring yang dihasilkan P_1 diturunkan dengan rumusan $\sigma' = \sigma \times 0,9$.

6.5.3. Seleksi

Seleksi menggunakan *elitism selection* melibatkan individu dalam *offspring* dan individu induk dalam populasi. Dari proses ini didapatkan populasi baru sebagai berikut:

| P(t+1) | asal | x_1 | <i>X</i> ₂ | $\sigma_{\!\scriptscriptstyle 1}$ | $\sigma_{\!\scriptscriptstyle 2}$ | fitness |
|--------|-----------------------|---------|-----------------------|-----------------------------------|-----------------------------------|---------|
| P_1 | C ₅ | 11,1227 | 9,4826 | 0,87154 | 1,03090 | 8900 |
| P_2 | P_1 | 21,9 | 0,3 | 0,23241 | 0,02713 | 8800 |
| P_3 | C_1 | 22,3189 | 0,2636 | 0,20917 | 0,02442 | 8800 |
| P_4 | C_2 | 21,7179 | 0,3348 | 0,20917 | 0,02442 | 8800 |

6.6. ES untuk Representasi Permutasi

Seperti telah diuraikan pada awal bab ini, ciri utama ES adalah penggunaan vektor bilangan pecahan (*real-vector*) sebagai representasi. Pada perkembangannya, ES juga diadopsi untuk permasalahan kombinatorial yang menggunakan representasi permutasi. Cara paling mudah adalah dengan menggunakan struktur ES yang hanya menggunakan mutasi tanpa rekombinasi. Mekanisme *self-adaptation* juga tidak digunakan. Pendekatan ini pada hakekatnya menghasilkan siklus yang sama seperti GAs tanpa crossover.

Adopsi mekanisme self-adaptation pada representasi permutasi bisa dilakukan dengan cara sederhana jika yang digunakan adalah reciprocal exchange mutation atau insertion mutation. Pada kasus ini, nilai σ menyatakan berapa kali proses exchange atau insertion dilakukan untuk menghasilkan satu anak. Misalkan diberikan contoh dua induk dalam tabel berikut:

| P(t) | permutasi | σ |
|-------|-----------|----------|
| P_1 | [25143] | 1,3452 |
| P_2 | [41532] | 2,0728 |

Misalkan reciprocal exchange mutation digunakan dan $\lambda=3\mu$. Berdasarkan nilai σ yang dibulatkan, offspring dari P_1 dihasilkan melalui proses sekali pertukaran dan offspring dari P_2 dihasilkan melalui dua kali pertukaran. Contoh offspring yang dihasilkan ditampilkan dalam tabel berikut:

| induk | proses | offspring |
|-----------------|----------------------|--|
| | tukar posisi 1 dan 3 | $C_1 = [15243]$ |
| $P_1 = [25143]$ | tukar posisi 2 dan 5 | $C_2 = [23145]$ |
| | tukar posisi 4 dan 5 | $C_3 = [25134]$ |
| | tukar posisi 2 dan 4 | $C_4 = [23514]$ |
| | tukar posisi 1 dan 5 | C ₄ - [23 3 14] |
| $P_2 = [41532]$ | tukar posisi 1 dan 4 | C ₅ = [3 1 4 5 2] |
| $P_2 - [41332]$ | tukar posisi 3 dan 4 | C ₅ - [31432] |
| | tukar posisi 3 dan 4 | C ₆ = [4 5 3 1 2] |
| | tukar posisi 2 dan 4 | C ₆ - [4 551 2] |

6.7. Rangkuman

Pada bab ini telah dibahas berbagai macam struktur ES beserta siklusnya. Struktur ES yang dibahas adalah ES(μ , λ), ES(μ /r, λ), ES(μ + λ), dan ES(μ /r+ λ). Diuraikan juga perbedaan pokok ES dan GAs. Mekanisme *self-adaptation* untuk mengatur level mutasi dibahas dalam studi kasus.

6.8. Latihan

- 1. Jelaskan ciri utama evolution strategies!
- 2. Jelaskan perbedaan utama ES dengan GAs?
- 3. Misalkan terdapat himpunan individu dalam populasi dengan μ =4 dan λ =6 sebagai berikut:

| individu | fitness |
|----------|---------|
| P_1 | 10 |
| P_2 | 9 |
| P_3 | 7 |
| P_4 | 5 |

Terdapat juga himpunan offspring sebagai berikut:

| individu | fitness |
|-----------------------|---------|
| <i>C</i> ₁ | 11 |
| C_2 | 9 |
| C_3 | 8 |
| <i>C</i> ₄ | 7 |
| C ₅ | 6 |
| C_6 | 4 |

Tentukan himpunan individu yang lolos ke generasi selanjutnya pada $ES(\mu,\lambda)!$

- 4. Kerjakan ulang Soal 3 untuk ES(μ + λ)!
- 5. Perhatikan fungsi berikut:

$$f(x_1, x_2) = x_1 \sin(2x_1) + x_2 \sin(4x_2), \quad 0 \le x_1 \le 10, 0 \le x_2 \le 10$$

Cari nilai minimum dari fungsi ini dengan menggunakan ES ($\mu/r+\lambda$). Gunakan nilai μ =4 dan λ =8. Lakukan interasi sampai 3 putaran.

- 6. Untuk permasalahan pada <u>Sub-Bab 6.5. Studi Kasus ES (μ + λ): Optimasi Fungsi Berkendala, selesaikan dengan menggunakan ES (μ /r, λ). Gunakan nilai μ =4 dan λ =8. Lakukan interasi sampai 3 putaran.</u>
- 7. Selesaikan persoalan transportasi pada <u>Sub-Bab 4.6</u> dengan menggunakan ES (μ,λ) . Gunakan nilai μ =4 dan λ =8. Lakukan interasi sampai 3 putaran.

Genetic Programming (GP) dan Evolutionary Programming (EP)

7.1. Genetic Programming

GP merupakan satu metode untuk secara sistematis mengevolusi program komputer. Ide dasarnya adalah bagaimana komputer dapat secara otomatis menghasilkan program komputer berdasarkan sebuah permasalahan yang diberikan. Berbeda dengan solusi GAs yang berupa nilai numeris berdasarkan fungsi obyektif yang digunakan, GP menghasilkan rangkaian program komputer yang bisa direpresentasikan dalam bentuk struktur pohon (*tree*).

GP telah diaplikasikan dalam berbagai bidang, misalnya untuk mendesain *analog circuit* pada skala industry secara otomatis (Koza et al. 2004), mendesain *quantum computing circuits* (Spector 2004), dan membantu manajer untuk mendesain organisasi yang optimal pada sebuah proyek (Khosraviani, Levitt & Koza 2004). GP juga cukup efektif dikombinasikan/dihibridisasi dengan algoritma lain seperti *ant colony optimisation* untuk memperbaiki desain geometris pada reflector *light-emitting diode* (LED). Perbaikan ini akan berpengaruh secara signifikan terhadap intensitas cahaya yang dipancarkan oleh LED (Hsu 2011). Pada bidang *data mining*, hybrid GP dan *simulated annealing* telah sukses diaplikasikan untuk membentuk pohon keputusan pada klasifikasi data (Folino, Pizzuti & Spezzano 2000).

Satu contoh permasalahan sederhana berdasarkan tabel berikut ini adalah 'susun sebuah fungsi dengan variabel bebas x_1 dan x_2 yang menghasilkan variabel tak bebas y'.

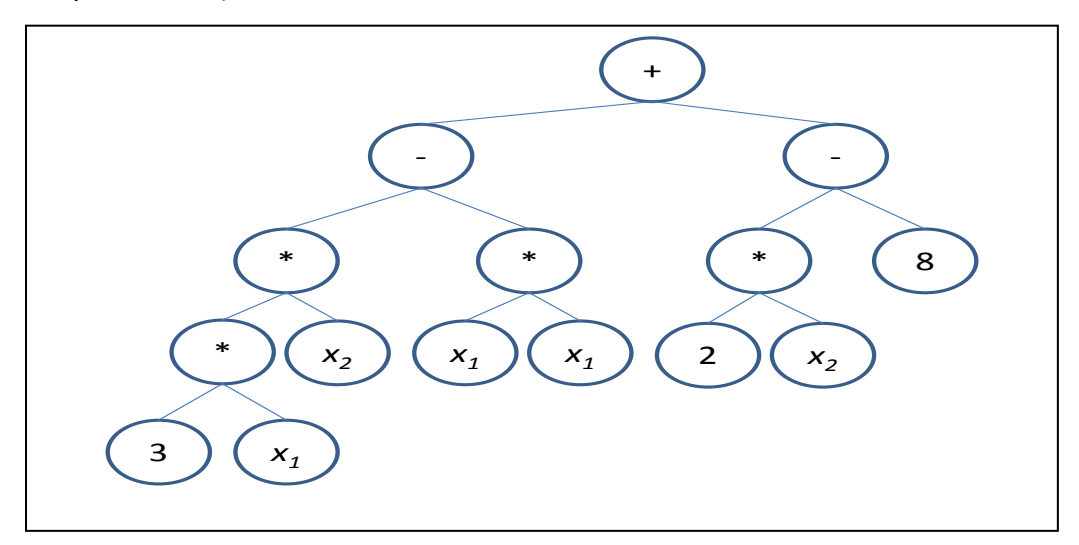
| X ₁ | <i>X</i> ₂ | у |
|-----------------------|-----------------------|----|
| 1 | 2 | 1 |
| 2 | 3 | 12 |
| 3 | 2 | 5 |
| 4 | 5 | 46 |

| 5 | 3 | 18 |
|----|---|-----|
| 6 | 5 | 56 |
| 7 | 4 | 35 |
| 8 | 6 | 84 |
| 9 | 5 | 56 |
| 10 | 8 | 148 |

Tabel di atas sebenarnya dihasilkan dari sebuah fungsi non-linear dengan persamaan berikut:

$$y = f(x_1, x_2) = (3x_1x_2 - x_1^2) + (2x_2 - 8)$$

Fungsi ini bisa direpresentasikan dalam bentuk *binary tree* seperti ditunjukkan pada Gambar 7.1. Tree ini disusun atas sejumlah *node* dan *link*. Node menunjukkan instruksi yang harus dilaksanakan (misalnya * dan +). Link merujuk ke argumen dari tiap instruksi (misalnya x_1 dan x_2).



Gambar 7.1. Binary tree sebuah fungsi non-linear

Masalahnya adalah bagaimana merancang GP untuk menghasilkan *binary tree* di atas berdasarkan tabel yang diberikan (dalam hal ini fungsinya belum diketahui sebelumnya). Secara umum, siklus GP mirip dengan GAs. Dua hal yang harus ditambahkan pada representasi solusi GP adalah:

- Penentuan himpunan terminal (set of terminals)
- Penentuan himpunan fungsi (set of functions)

7.2. Siklus Genetic Programming

Untuk kasus penentuan fungsi non-liner bisa didefinisikan himpunan terminal dan fungsi sebagai berikut:

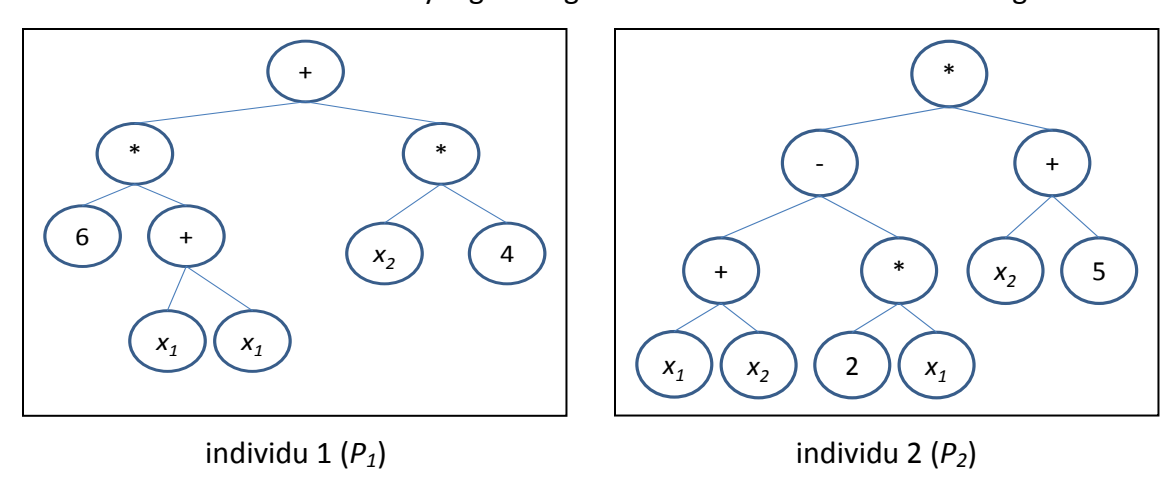
- Himpunan terminal: $T = \{x_1, x_2, x \in real_number\}$
- Himpunan fungsi: $F = \{+, -, *, /\}$

7.2.1. Representasi Chromosome

Setiap chromosome berupa sebuah *binary tree*. Bagaimana sebuah *binary tree* disimpan/ditangani oleh program komputer, silahkan membuka ulang materi mata kuliah struktur data.

7.2.2. Inisialisasi dan Evaluasi

Chromosome dari dua individu yang dibangkitkan secara acak diberikan sebagai berikut:



Gambar 7.2. Contoh dua individu random

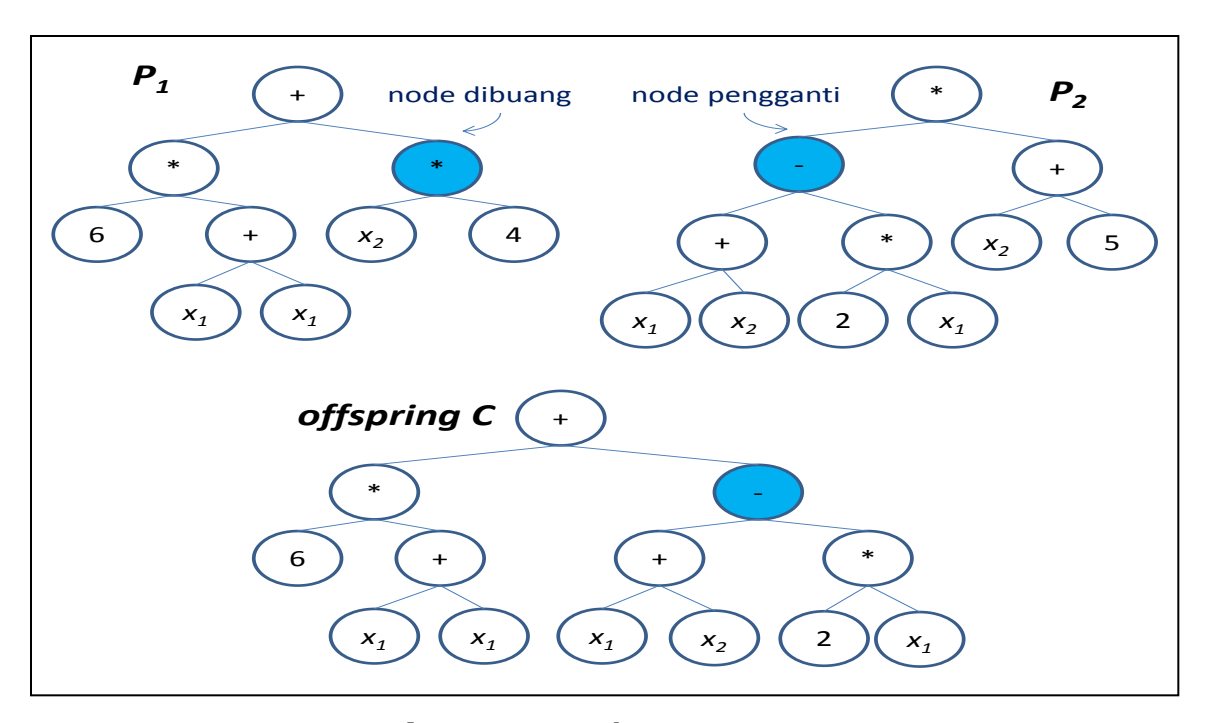
Evaluasi individu dilakukan dengan menyusun fungsi non-linear dari binary tree yang dihasilkan. Fitness dihitung berdasarkan total selisih antara output fungsi non-linear yang dihasilkan dengan nilai y pada tabel. Tabel berikut menunjukkan perhitungan total selisih output untuk P_1 dan P_2 .

| | | | P | P_1 | P ₂ | |
|-----------------------|-----------------------|-------|-------------------------|----------------|--|---------------------|
| X ₁ | <i>X</i> ₂ | у | $y_{P_1} = 6(x_1 \cdot$ | $+x_1) + 4x_2$ | $y_{P_2} = \left((x_1 + x_2) \right.$ | $-2x_1\big)(x_2+5)$ |
| | | | y_{P_1} | $ y-y_{P_1} $ | \mathcal{Y}_{P_2} | $ y-y_{P_2} $ |
| 1 | 2 | 1 | 20 | 19 | 7 | 6 |
| 2 | 3 | 12 | 36 | 24 | 8 | 4 |
| 3 | 2 | 5 | 44 | 39 | -7 | 12 |
| 4 | 5 | 46 | 68 | 22 | 10 | 36 |
| 5 | 3 | 18 | 72 | 54 | -16 | 34 |
| 6 | 5 | 56 | 92 | 36 | -10 | 66 |
| 7 | 4 | 35 | 100 | 65 | -27 | 62 |
| 8 | 6 | 84 | 120 | 36 | -22 | 106 |
| 9 | 5 | 56 | 128 | 72 | -40 | 96 |
| 10 | 8 | 148 | 152 | 4 | -26 | 174 |
| | | Total | | 371 | | 596 |

Dari tabel di atas, fitness dari P_1 bisa dihitung sebagai fitness = 1/(1+371) = 0,002688. Fitness dari P_2 bisa dihitung sebagai fitness = 1/(1+596) = 0,001675. Hasil perhitungan ini menunjukkan bahwa P_1 lebih baik daripada P_2 .

7.2.3. Crossover

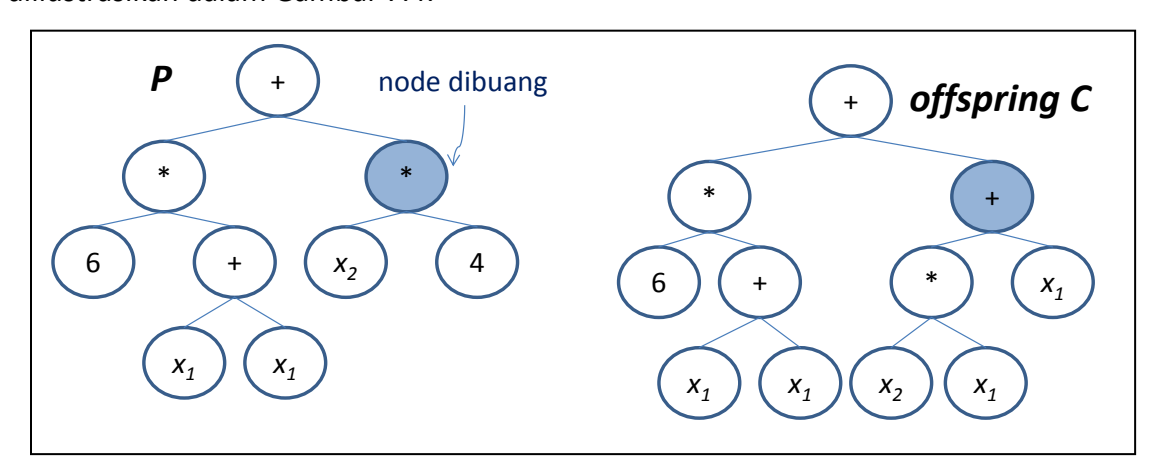
Crossover antara dua induk P_1 dan P_2 dilakukan dengan memilih satu node secara acak dari P_1 . Sub-tree yang dimulai dari node ini dihapus dan digantikan dengan sub-tree yang dipilh secara acak dari P_2 . Hasil offspring C yang terbentuk dari proses ini diilustrasikan dalam Gambar 7.3.



Gambar 7.3. Contoh proses crossover

7.2.4. Mutasi

Mutasi terhadap induk *P* dilakukan dengan memilih satu node secara acak. *Sub-tree* yang dimulai dari node ini digantikan dengan *sub-tree* yang dibangkitkan secara acak seperti pada proses inisialisasi. Hasil *offspring C* yang terbentuk dari proses ini diilustrasikan dalam Gambar 7.4.



Gambar 7.4. Contoh proses mutasi

7.2.5. Seleksi

Metode seleksi pada GP sama dengan yang digunakan pada GAs.

7.3. Evolutionary Programming (EP)

Evolutionary Programming (EP) mempunyai tujuan seperti GP untuk menghasilkan rangkaian program komputer tapi prinsip kerjanya seperti ES. Finite State Machines (FSM) biasanya digunakan untuk merepresentasikan program komputer.

Contoh sukses penerapan EP misalnya untuk mencari komposisi campuran minuman yang terbaik berdasarkan penilaian tester. Bahan campuran yang dipakai diantaranya: sugar water, ginger flavoring, strawberry nectar, salt water, pineapple juice, tea, raspberry juice, peach nectar, milk, grapefruit juice, cranberry juice, coffee, apple juice, grape juice, dan chocolate. Hasil percobaan yang didapatkan membuktikan kekuatan EP dalam pencarian solusi (Bell & Alexande 2007). Pada bidang kesehatan, EP digunakan untuk melatih sebuah artificial neural network (ANN) untuk mendeteksi penyakit kanker (Fogel et al. 1998).

EP juga digunakan dalam penjadwalan, misalkan pada *short-term hydrothermal scheduling* (Hota, Chakrabarti & Chattopadhyay 1999) dan penjadwalan proyek (Sebt & Alipouri 2013). EP juga cukup efektif dikombinasikan/dihibridisasi dengan algoritma lain seperti *particle swarm optimization* untuk penjadwalan perbaikan (*maintenance*) pada pembangkit tenaga listrik (Samuel & Rajan 2013).

7.4. Studi Kasus 1: Pohon Keputusan

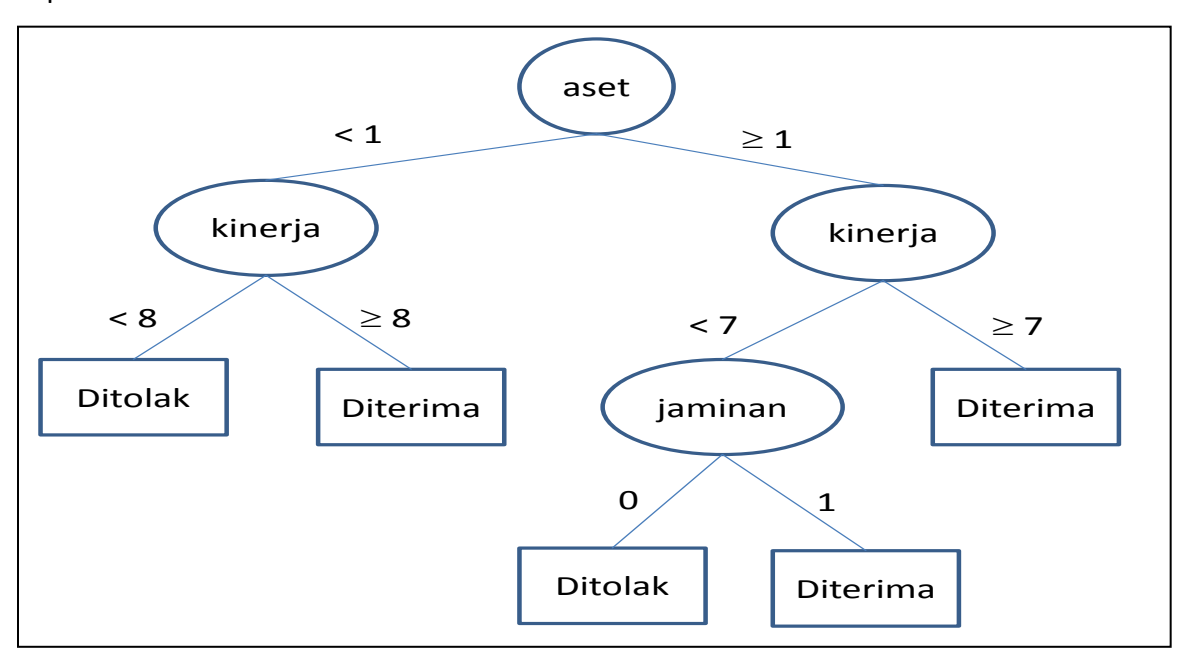
Perhatikan data historis keputusan kredit usaha yang diajukan oleh perusahaan pada sebuah bank sebagai berikut:

| No | Aset (A) | Kinerja (<i>K</i>) | Jaminan (J) | Keputusan (Kep) |
|----|----------|----------------------|-------------|-----------------|
| 1 | 1.5 | 6 | 0 | 0 |
| 2 | 0.7 | 6 | 1 | 0 |
| 3 | 2 | 7 | 0 | 1 |
| 4 | 1.6 | 5 | 1 | 1 |
| 5 | 0.9 | 8 | 0 | 1 |
| 6 | 0.8 | 8 | 1 | 1 |

Data historis ini berdasarkan penilaian ahli perkreditan bank tersebut. Keputusan (*Kep*) untuk menerima (1) atau menolak (0) pengajuan kredit didasarkan atas tiga variabel yaitu: nilai aset (*A*) yang dipunyai perusahaan, nilai kinerja (*K*) perusahaan setahun terakhir, dan ketersediaan jaminan (*J*).

Bank memutuskan untuk membangun sistem yang bisa secara otomatis memberikan keputusan penerimaan. Sistem ini bisa memberikan output Kep jika misalkan diberikan input A=1,2, K=5, dan J=6.

Solusi GP berupa pohon keputusan (*decision tree*) seperti ditunjukkan pada Gambar 7.5. Gambar ini menunjukkan alur penerimaan/penolakan pengajuan kredit berdasarkan input *A, K,* dan *J.* Pengecekan dimulai dari node paling atas (*root*). Masalahnya adalah bagaimana menghasilkan pohon keputusan seperti ini berdasarkan data historis keputusan kredit usaha.



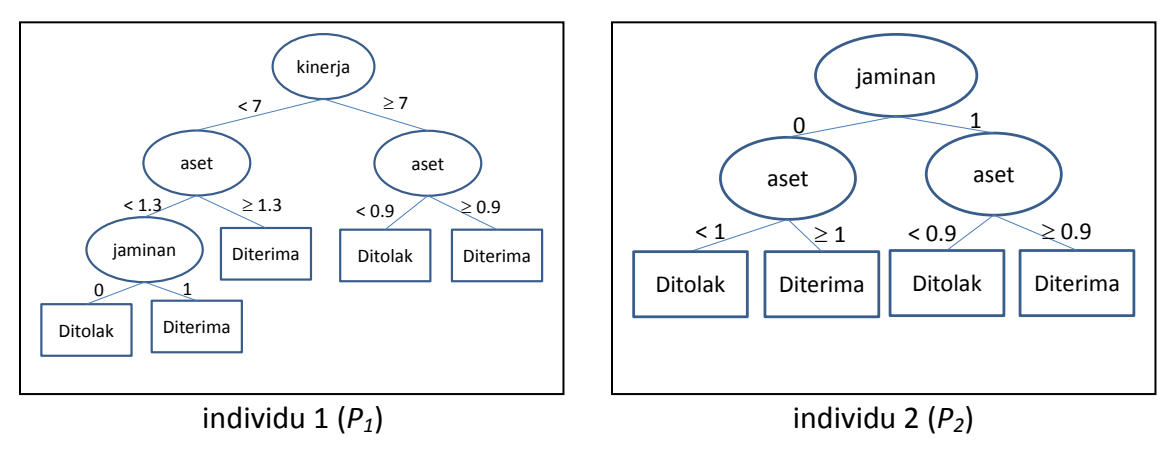
Gambar 7.5. Pohon keputusan penerimaan pengajuan kredit

7.4.1. Representasi Chromosome

Karena solusi yang diinginkan berupa pohon keputusan maka setiap chromosome berupa sebuah *binary tree*.

7.4.2. Inisialisasi dan Evaluasi

Chromosome dari dua individu yang dibangkitkan secara acak diberikan sebagai berikut:



Gambar 7.6. Contoh dua individu random

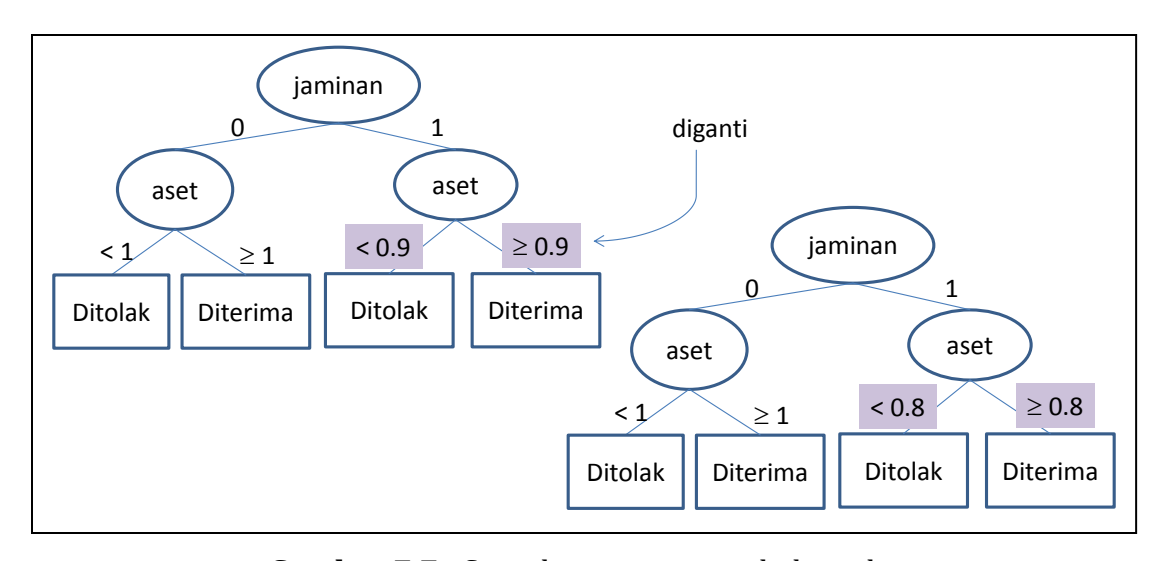
Evaluasi individu dilakukan dengan memasukkan data historis pada tree yang dihasilkan. Jika ada kesesuaian nilai keputusan (K) maka diberi skor 1. Karena ada 6 data historis maka fitness setiap individu berada pada range [0,6]. Perhatikan dua individu (P_1 dan P_2) ini kebetulan sama-sama mempunyai fitness sebesar 3.

| Na | Aset | Kinerja (<i>K</i>) | Jaminan (J) | Keputusan (Kep) | individu P ₁ | | individu P ₂ | |
|---------|------|-------------------------|----------------|--------------------|-------------------------|------|-------------------------|------|
| No | (A) | | | | Keputusan | Skor | Keputusan | Skor |
| 1 | 1.5 | 6 | 0 | 0 | 1 | 0 | 1 | 0 |
| 2 | 0.7 | 6 | 1 | 0 | 1 | 0 | 0 | 1 |
| 3 | 2 | 7 | 0 | 1 | 1 | 1 | 1 | 1 |
| 4 | 1.6 | 5 | 1 | 1 | 1 | 1 | 1 | 1 |
| 5 | 0.9 | 8 | 0 | 1 | 1 | 1 | 0 | 0 |
| 6 | 0.8 | 8 | 1 | 1 | 0 | 0 | 0 | 0 |
| Fitness | | | | | | 3 | | 3 |

7.4.3. Crossover, Mutasi, dan Seleksi

Operator reproduksi dan seleksi sama seperti yang digunakan pada sub-bab sebelumnya.

Operator reproduksi dan seleksi sama seperti yang digunakan pada sub-bab sebelumnya. Khusus untuk mutasi, karena pada *link* terdapat angka yang menunjukkan batasan sebuah variabel maka harus ditambahkan mekanisme mutasi yang digunakan hanya untuk mengubah angka ini seperti ditunjukkan pada Gambar 7.7.



Gambar 7.7. Contoh mutasi mengubah angka

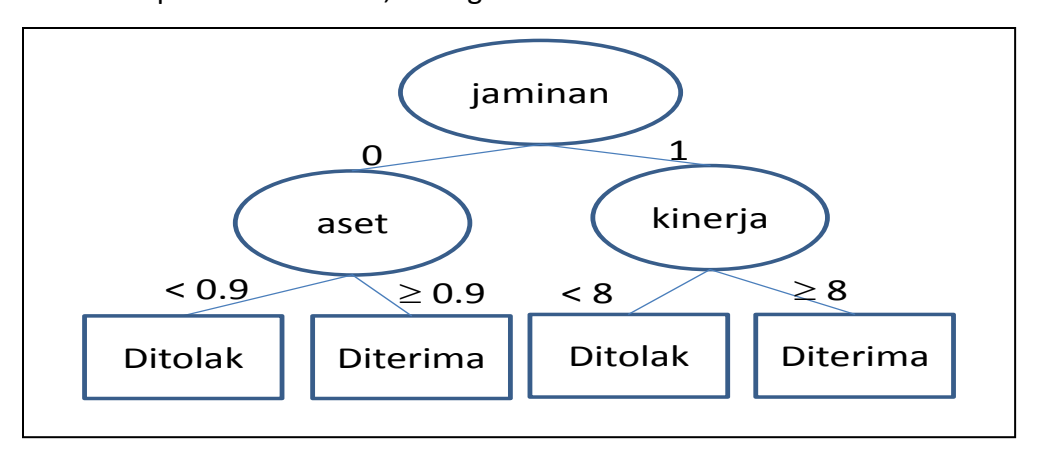
7.5. Rangkuman

Pada bab ini telah dibahas struktur GP dan EP beserta siklusnya. Pembahasan difokuskan pada bagaimana menggunakan GP dan EP untuk menghasilkan program komputer dalam bentuk binary tree dan decision tree.

7.6. Latihan

Untuk memperjelas pemahaman anda mengenai materi pada bab ini, kerjakanlah latihan berikut!

- 1. Jelaskan apakah output dari GP?
- 2. Apakah komponen utama pada representasi solusi dari GP?
- 3. Untuk kasus pada Sub-Bab 7.4, hitunglah fitness untuk chromosome P berikut:



- 4. Selesaikan studi kasus pada <u>Sub-Bab 7.2. Siklus Genetic Programming</u> sampai 5 generasi dengan menggunakan GP!
- 5. Selesaikan studi kasus pada <u>Sub-Bab 7.4. Studi Kasus: Pohon Keputusan</u> sampai 5 generasi dengan menggunakan GP!
- 6. Dengan menggunakan EP, susun binary tree untuk data pada tabel berikut!

| X ₁ | X ₂ | у |
|-----------------------|----------------|-----|
| 3 | 4 | 18 |
| 4 | 2 | 24 |
| 6 | 3 | 51 |
| 6 | 4 | 48 |
| 7 | 1 | 87 |
| 8 | 2 | 104 |
| 9 | 3 | 123 |
| 10 | 4 | 144 |
| 10 | 6 | 128 |
| 11 | 9 | 143 |

Daftar Pustaka

- 1. Achnas, AH, Cholissodin, I & Mahmudy, WF 2015, 'Optimasi fuzzy inference system sugeno dengan algoritma hill climbing untuk penentuan harga jual rumah', *Journal of Environmental Engineering & Sustainable Technology*, vol. 2, no. 1, pp. 35-40.
- 2. Al-Hinai, N & ElMekkawy, T 2011, 'An efficient hybridized genetic algorithm architecture for the flexible job shop scheduling problem', *Flexible Services and Manufacturing Journal*, vol. 23, no. 1, pp. 64-85.
- 3. Allahverdi, A & Al-Anzi, FS 2008, 'The two-stage assembly flowshop scheduling problem with bicriteria of makespan and mean completion time', *Int J. Adv. Manuf. Technol*, vol. 37, pp. 166–177.
- 4. Azizah, EN, Cholissodin, I & Mahmudy, WF 2015, 'Optimasi fungsi keanggotaan fuzzy tsukamoto menggunakan algoritma genetika untuk penentuan harga jual rumah', *Journal of Environmental Engineering & Sustainable Technology*, vol. 2, no. 2, pp. 83-86.
- 5. Bell, C & Alexande, S 2007, A Tasteful Example of Evolutionary Programming, Southwestern University.
- 6. Beyer, H-G & Schwefel, H-P 2002, 'Evolution strategies A comprehensive introduction', *Natural Computing*, vol. 1, no. 1, 2002/03/01, pp. 3-52.
- 7. Biswas, S & Mahapatra, S 2008, 'Modified particle swarm optimization for solving machine-loading problems in flexible manufacturing systems', *The International Journal of Advanced Manufacturing Technology*, vol. 39, no. 9, pp. 931-942.
- 8. Ciptayani, PI, Mahmudy, WF & Widodo, AW 2009, 'Penerapan algoritma genetika untuk kompresi citra fraktal', *Jurnal Ilmu Komputer*, vol. 2, no. 1, April, pp. 1-9.
- 9. Defersha, F & Chen, M 2010, 'A parallel genetic algorithm for a flexible job-shop scheduling problem with sequence dependent setups', *The International Journal of Advanced Manufacturing Technology*, vol. 49, no. 1, pp. 263-279.
- 10. Endarwati, DA, Mahmudy, WF & Ratnawati, DE 2014, 'Pencarian rute optimum dengan evolution strategies', *DORO: Repository Jurnal Mahasiswa PTIIK Universitas Brawijaya*, vol. 4, no. 10.
- 11. Fogel, DB, Wasson, EC, Boughton, EM & Porto, VW 1998, 'Evolving artificial neural networks for screening features from mammograms', *Artificial Intelligence in Medicine*, vol. 14, no. 3, pp. 317-326.
- 12. Folino, G, Pizzuti, C & Spezzano, G 2000, 'Genetic Programming and Simulated Annealing: A Hybrid Method to Evolve Decision Trees', in Poli, Ret al (eds), *Genetic Programming, European Conference, Edinburgh, Scotland, UK, April* 15-16, 2000, Proceedings, Springer, pp. 294-303.
- 13. Gen, M & Cheng, R 1997, *Genetic Algorithms and Engineering Design*, John Wiley & Sons, Inc., New York.
- 14. Gen, M & Cheng, R 2000, *Genetic Algorithms and Engineering Optimization*, John Wiley & Sons, Inc., New York.

- 15. Greenwood, GW, Gupta, A & McSweeney, K 1994, 'Scheduling tasks in multiprocessor systems using evolutionary strategies', *IEEE World Congress on Computational Intelligence, Proceedings of the First IEEE Conference on*, pp. 345–349.
- 16. Greenwood, GW, Lang, C & Hurley, S 1995, 'Scheduling tasks in real-time systems using evolutionary strategies', *Parallel and Distributed Real-Time Systems*, 1995. Proceedings of the Third Workshop on, 25 Apr 1995, pp. 195-196.
- 17. Harun, IA, Mahmudy, WF & Yudistira, N 2014, 'Implementasi evolution strategies untuk penyelesaian vehicle routing problem with time windows pada distribusi minuman soda XYZ', *DORO: Repository Jurnal Mahasiswa PTIIK Universitas Brawijaya*, vol. 4, no. 1.
- 18. Haupt, RL & Haupt, SE 2004, *Practical Genetic Algorithm*, 2 edn, John Wiley & Sons, Inc., Hoboken, New Jersey.
- 19. Herrera, F, Lozano, M & Verdegay, JL 1998, 'Tackling real-coded genetic algorithms: operators and tools for behavioural analysis', *Artificial Intelligence Review*, vol. 12, pp. 265–319.
- 20. Hota, PK, Chakrabarti, R & Chattopadhyay, PK 1999, 'Short-term hydrothermal scheduling through evolutionary programming technique', *Electric Power Systems Research*, vol. 52, no. 2, 11/1/, pp. 189-196.
- 21. Hsu, C-M 2011, 'Applying genetic programming and ant colony optimisation to improve the geometric design of a reflector', *International Journal of Systems Science*, vol. 43, no. 5, 2012/05/01, pp. 972-986.
- 22. Ilmi, RR, Mahmudy, WF & Ratnawati, DE 2015, 'Optimasi penjadwalan perawat menggunakan algoritma genetika', *DORO: Repository Jurnal Mahasiswa PTIIK Universitas Brawijaya*, vol. 5, no. 13.
- 23. Im, S-M & Lee, J-J 2008, 'Adaptive crossover, mutation and selection using fuzzy system for genetic algorithms', *Artificial Life and Robotics*, vol. 13, no. 1, 2008/12/01, pp. 129-133.
- 24. Irwansyah, C, Pinandito, A & Mahmudy, WF 2014, 'Pencarian rute angkutan umum menggunakan algoritma ant colony optimization', *DORO: Repository Jurnal Mahasiswa PTIIK Universitas Brawijaya*, vol. 3, no. 10.
- 25. Kacem, I, Hammadi, S & Borne, P 2002, 'Approach by localization and multiobjective evolutionary optimization for flexible job-shop scheduling problems', *Systems, Man, and Cybernetics, Part C: Applications and Reviews, IEEE Transactions on*, vol. 32, no. 1, pp. 1-13.
- 26. Khosraviani, B, Levitt, RE & Koza, JR 2004, Keijzer, M (ed), 'Organization design optimization using genetic programming', *Late-Breaking Papers at the 2004 Genetic and Evolutionary Computation Conference*, Seattle, WA, International Society of Genetic and Evolutionary Computation.
- 27. Koza, JR, Jones, LW, Keane, MA, Streeter, MJ & Al-Sakran, SH 2004, 'Toward automated design of industrial-strength analog circuits by means of genetic programming', Kluwer Academic Publishers, Boston, pp. 121–142.
- 28. Kusuma, JI, Mahmudy, WF & Indriati 2015, 'Optimasi komposisi pakan sapi potong menggunakan algoritma genetika', *DORO: Repository Jurnal Mahasiswa PTIIK Universitas Brawijaya*, vol. 5, no. 15.

- 29. Liliana, DY & Mahmudy, WF 2006, *Penerapan Algoritma Genetika pada Otomatisasi Penjadwalan Kuliah*, FMIPA Universitas Brawijaya, Malang.
- 30. Liqun, G, Feng, L, Yanfeng, G & Da, F 2010, 'A fuzzy adaptive Genetic Algorithms for global optimization problems', *Control and Decision Conference (CCDC)*, 2010 Chinese, 26-28 May 2010, pp. 914-919.
- 31. Louchet, J 2000, 'Stereo analysis using individual evolution strategy', *Proceedings. 15th International Conference on Pattern Recognition*, pp. 908 – 911.
- 32. Lozano, M & Herrera, F 2003, 'Fuzzy adaptive genetic algorithms: design, taxonomy, and future directions', *Soft Computing*, vol. 7, pp. 545–562.
- 33. Lozano, M, Herrera, F, Krasnogor, N & Molina, D 2004, 'Real-coded memetic algorithms with crossover hill-climbing', *Evolutionary Computation*, vol. 12, no. 3, pp. 273-302.
- 34. Mahmudy, WF 2006, 'Penerapan algoritma genetika pada optimasi model penugasan', *Natural*, vol. 10, no. 3, pp. 197-207.
- 35. Mahmudy, WF 2007, 'Penyelesaian masalah transportasi menggunakan algoritma genetika dengan individu tunggal', *Kursor*, vol. 3, no. 1, pp. 30-36.
- 36. Mahmudy, WF 2008a, 'Optimasi multi travelling salesman problem (M-TSP) menggunakan algoritma genetika', *Seminar Nasional Basic Science V*, FMIPA, Universitas Brawijaya, Malang, 16 February.
- 37. Mahmudy, WF 2008b, 'Optimasi fungsi tanpa kendala menggunakan algoritma genetika dengan kromosom biner dan perbaikan kromosom hill-climbing', *Kursor*, vol. 4, no. 1, pp. 23-29.
- 38. Mahmudy, WF 2009, 'Optimasi fungsi tak berkendala menggunakan algoritma genetika terdistribusi dengan pengkodean real', *Seminar Nasional Basic Science VI* FMIPA, Universitas Brawijaya, Malang, 21 February.
- 39. Mahmudy, WF & Rahman, MA 2011, 'Optimasi fungsi multi-obyektif berkendala menggunakan algoritma genetika adaptif dengan pengkodean real', *Kursor*, vol. 6, no. 1, pp. 19-26.
- 40. Mahmudy, WF, Marian, RM & Luong, LHS 2012a, 'Solving part type selection and loading problem in flexible manufacturing system using real coded genetic algorithms Part I: modeling', *International Conference on Control, Automation and Robotics*, Singapore, 12-14 September, World Academy of Science, Engineering and Technology, pp. 699-705.
- 41. Mahmudy, WF, Marian, RM & Luong, LHS 2012b, 'Solving part type selection and loading problem in flexible manufacturing system using real coded genetic algorithms Part II: optimization', *International Conference on Control*, *Automation and Robotics*, Singapore, 12-14 September, World Academy of Science, Engineering and Technology, pp. 706-710.
- 42. Mahmudy, WF, Marian, RM & Luong, LHS 2013a, 'Real coded genetic algorithms for solving flexible job-shop scheduling problem Part I: modeling', *Advanced Materials Research*, vol. 701, pp. 359-363.
- 43. Mahmudy, WF, Marian, RM & Luong, LHS 2013b, 'Real coded genetic algorithms for solving flexible job-shop scheduling problem Part II: optimization', *Advanced Materials Research*, vol. 701, pp. 364-369.

- 44. Mahmudy, WF, Marian, RM & Luong, LHS 2013c, 'Hybrid genetic algorithms for multi-period part type selection and machine loading problems in flexible manufacturing system', *IEEE International Conference on Computational Intelligence and Cybernetics*, Yogyakarta, Indonesia, 3-4 December, pp. 126-130.
- 45. Mahmudy, WF, Marian, RM & Luong, LHS 2013d, 'Optimization of part type selection and loading problem with alternative production plans in flexible manufacturing system using hybrid genetic algorithms Part 1: modelling and representation', 5th International Conference on Knowledge and Smart Technology (KST), Chonburi, Thailand, 31 Jan 1 Feb, pp. 75-80.
- 46. Mahmudy, WF, Marian, RM & Luong, LHS 2013e, 'Optimization of part type selection and loading problem with alternative production plans in flexible manufacturing system using hybrid genetic algorithms Part 2: genetic operators & results', 5th International Conference on Knowledge and Smart Technology (KST), Chonburi, Thailand, 31 Jan 1 Feb, pp. 81-85.
- 47. Mahmudy, WF, Marian, RM & Luong, LHS 2013f, 'Solving integrated part type selection, machine loading and scheduling problems in FMS using hybrid genetic algorithms', *Submitted to: International Journal of Computer Integrated Manufacturing*.
- 48. Mahmudy, WF 2014a, 'Optimisation of Integrated Multi-Period Production Planning and Scheduling Problems in Flexible Manufacturing Systems (FMS) Using Hybrid Genetic Algorithms ', School of Engineering, University of South Australia.
- 49. Mahmudy, WF 2014b, 'Improved simulated annealing for optimization of vehicle routing problem with time windows (VRPTW)', *Kursor*, vol. 7, no. 3, pp. 109-116.
- 50. Mahmudy, WF 2014c, 'Optimasi part type selection and machine loading problems pada FMS menggunakan metode particle swarm optimization (Optimization of part type selection and machine loading problems in FMS using particle swarm optimization)', *Konferensi Nasional Sistem Informasi (KNSI)* STMIK Dipanegara, Makassar, 27 Februari 1 Maret, pp. 1718-1723.
- 51. Mahmudy, WF, Marian, RM & Luong, LHS 2014, 'Hybrid genetic algorithms for part type selection and machine loading problems with alternative production plans in flexible manufacturing system', *ECTI Transactions on Computer and Information Technology (ECTI-CIT)*, vol. 8, no. 1, pp. 80-93.
- 52. Mahmudy, WF 2015a, 'Optimization of part type selection and machine loading problems in flexible manufacturing system using variable neighborhood search', *IAENG International Journal of Computer Science*, vol. 42, no. 3, pp. 254-264.
- 53. Mahmudy, WF 2015b, 'Improved particle swarm optimization untuk menyelesaikan permasalahan part type selection dan machine loading pada flexible manufacturing system (FMS) (Improved particle swarm optimization for solving part type selection and machine loading problems in flexible manufacturing system)', *Konferensi Nasional Sistem Informasi*, Universitas Klabat, Airmadidi, Minahasa Utara, Sulawesi Utara, 26-28 Februari, pp. 1003-1008.

- 54. Marian, RM 2003, 'Optimisation of assembly sequences using genetic algorithms', School of Advanced Manufacturing and Mechanical Engineering, University of South Australia.
- 55. Mawaddah, NK & Mahmudy, WF 2006, 'Optimasi penjadwalan ujian menggunakan algoritma genetika', *Kursor*, vol. 2, no. 2, pp. 1-8.
- 56. Michalewicz, Z 1996, Genetic Algorithms + Data Structures = Evolution Programs, Springer-Verlag, Heidelberg.
- 57. Milah, H & Mahmudy, WF 2015, 'Implementasi algoritma evolution strategies untuk optimasi komposisi pakan ternak sapi potong', *DORO: Repository Jurnal Mahasiswa PTIIK Universitas Brawijaya*, vol. 5, no. 11.
- 58. Muhlenbein, H & Schlierkamp-Voosen, D 1993, 'Predictive models for the breeder genetic algorithm; continuous parameter optimization', *Evolutionary Computation*, vol. 1, pp. 25–49.
- 59. Munawaroh, F & Mahmudy, WF 2015a, 'Penerapan algoritma evolution strategies untuk meminimumkan biaya distribusi barang', *DORO: Repository Jurnal Mahasiswa PTIIK Universitas Brawijaya*, vol. 5, no. 11.
- 60. Munawaroh, F & Mahmudy, WF 2015b, 'Optimasi distribusi pupuk menggunakan evolution strategies', *Journal of Environmental Engineering & Sustainable Technology*, vol. 2, no. 2, pp. 87-94.
- 61. Nissen, V & Günther, M 2009, 'Staff Scheduling with Particle Swarm Optimisation and Evolution Strategies', in Cotta, C & Cowling, P (eds), *Evolutionary Computation in Combinatorial Optimization*, vol. 5482, Springer Berlin Heidelberg, pp. 228-239.
- 62. Nurhumam, SD & Mahmudy, WF 2008, 'Optimasi multi travelling salesman problem (M-TSP) pada mobil patroli polisi dengan algoritma heuristic assignment Fisher-Jaikumar dan algoritma A*', *Kursor*, vol. 4, no. 1, pp. 15-22.
- 63. Ostertag, M, Nock, E & Kiencke, U 1995, 'Optimization of airbag release algorithms using evolutionary strategies', *Proceedings of the 4th IEEE Conference on Control Applications*, pp. 275 –280.
- 64. Panharesi, YG & Mahmudy, WF 2015, 'Optimasi distribusi barang dengan algoritma genetika', *DORO: Repository Jurnal Mahasiswa PTIIK Universitas Brawijaya*, vol. 5, no. 11.
- 65. Permatasari, AI & Mahmudy, WF 2015, 'Pemodelan regresi linear dalam konsumsi Kwh listrik di Kota Batu menggunakan algoritma genetika ', *DORO: Repository Jurnal Mahasiswa PTIIK Universitas Brawijaya*, vol. 5, no. 14.
- 66. Pezzella, F, Morganti, G & Ciaschetti, G 2008, 'A genetic algorithm for the flexible job-shop scheduling problem', *Computers & Operations Research*, vol. 35, no. 10, pp. 3202-3212.
- 67. Pitaloka, DA, Mahmudy, WF & Sutrisno 2014, 'Penyelesaian vehicle routing problem with time windows (VRPTW) menggunakan algoritma genetika hybrid', *Journal of Environmental Engineering & Sustainable Technology*, vol. 1, no. 2, pp. 103-109.
- 68. Pratiwi, MI, Mahmudy, WF & Dewi, C 2014, 'Implementasi algoritma genetika pada optimasi biaya pemenuhan kebutuhan gizi', *DORO: Repository Jurnal Mahasiswa PTIIK Universitas Brawijaya*, vol. 4, no. 6.

- 69. Putri, AMDA, Mahmudy, WF & Cholissodin, I 2015, 'Optimasi model fuzzy AHP dengan menggunakan algoritma evolution strategies (studi kasus: pemilihan calon penerima beasiswa PTIIK Universitas Brawijaya)', DORO: Repository Jurnal Mahasiswa PTIIK Universitas Brawijaya, vol. 5, no. 15.
- 70. Putri, FB, Mahmudy, WF & Ratnawati, DE 2015, 'Penerapan algoritma genetika untuk vehicle routing problem with time windows (VRPTW) pada kasus optimasi distribusi beras bersubsidi', *DORO: Repository Jurnal Mahasiswa PTIIK Universitas Brawijaya*, vol. 5, no. 1.
- 71. Qi, JG, Burns, GR & Harrison, DK 2000, 'The application of parallel multipopulation genetic algorithms to dynamic job-shop scheduling', *The International Journal of Advanced Manufacturing Technology*, vol. 16, no. 8, pp. 609-615.
- 72. Rahmi, A, Mahmudy, WF & Setiawan, BD 2015, 'Prediksi harga saham berdasarkan data historis menggunakan model regresi yang dibangun dengan algoritma genetika', *DORO: Repository Jurnal Mahasiswa PTIIK Universitas Brawijaya*, vol. 5, no. 12.
- 73. Ramuna, MDT & Mahmudy, WF 2015, 'Optimasi persediaan barang dalam poduksi jilbab mnggunakan agoritma genetika ', *DORO: Repository Jurnal Mahasiswa PTIIK Universitas Brawijaya*, vol. 5, no. 14.
- 74. Rianawati, A & Mahmudy, WF 2015, 'Implementasi algoritma genetika untuk optimasi komposisi makanan bagi penderita diabetes mellitus', *DORO: Repository Jurnal Mahasiswa PTIIK Universitas Brawijaya*, vol. 5, no. 14.
- 75. Rothlauf, F 2006, *Representations for Genetic and Evolutionary Algorithms*, Springer, Berlin Heidelberg.
- 76. Samaher & Mahmudy, WF 2015, 'Penerapan algoritma genetika untuk memaksimalkan laba produksi jilbab', *Journal of Environmental Engineering & Sustainable Technology*, vol. 2, no. 1, pp. 6-11.
- 77. Samuel, GG & Rajan, CCA 2013, 'Hybrid particle swarm optimization: Evolutionary programming approach for solving generation maintenance scheduling problem', *Scientific Research and Essays*, vol. 8, no. 35, pp. 1701-1713.
- 78. Saputri, MW, Mahmudy, WF & Ratnawati, DE 2015, 'Optimasi vehicle routing problem with time window (VRPTW) menggunakan algoritma genetika pada distribusi barang', *DORO: Repository Jurnal Mahasiswa PTIIK Universitas Brawijaya*, vol. 5, no. 12.
- 79. Saputro, HA, Mahmudy, WF & Dewi, C 2015, 'Implementasi algoritma genetika untuk optimasi penggunaan lahan pertanian', *DORO: Repository Jurnal Mahasiswa PTIIK Universitas Brawijaya*, vol. 5, no. 12.
- 80. Sari, AP, Mahmudy, WF & Dewi, C 2014, 'Optimasi asupan gizi pada ibu hamil dengan menggunakan algoritma genetika', *DORO: Repository Jurnal Mahasiswa PTIIK Universitas Brawijaya*, vol. 4, no. 5.
- 81. Sari, DDP, Mahmudy, WF & Ratnawati, DE 2015, 'Optimasi penjadwalan mata pelajaran menggunakan algoritma genetika (studi kasus : SMPN 1 Gondang Mojokerto) ', *DORO: Repository Jurnal Mahasiswa PTIIK Universitas Brawijaya*, vol. 5, no. 13.

- 82. Sari, RN & Mahmudy, WF 2015, 'Penyelesaian multiple travelling salesperson problem (M-TSP) dengan algoritma genetika: studi kasus pendistribusian air mineral', *DORO: Repository Jurnal Mahasiswa PTIIK Universitas Brawijaya*, vol. 5, no. 14.
- 83. Schwefel, H-P 1995, Evolution and Optimum Seeking, Wiley, New York.
- 84. Sebt, MH & Alipouri, Y 2013, 'Solving Resource-Constrained Project Scheduling Problem with Evolutionary Programming', *Journal of the Operational Research Society*, vol. 64, no. 9, pp. 1327-1335.
- 85. Seputro, DH, Mahmudy, WF & Mursityo, YT 2015, 'Pengembangan sistem informasi pembacaan meter berbasis metode tabu search (Studi kasus PT. PLN persero distribusi Jawa Timur area Malang rayon Dinoyo)', *DORO: Repository Jurnal Mahasiswa PTIIK Universitas Brawijaya*, vol. 5, no. 16.
- 86. Smith, JE & Eiben, AE 2003, *Introduction to evolutionary computing*, Springer, London:
- 87. Spector, L 2004, *Automatic Quantum Computer Programming: A Genetic Programming Approach*, Kluwer Academic Publishers, Boston.
- 88. Sulistiyorini, R & Mahmudy, WF 2015, 'Penerapan algoritma genetika untuk permasalahan optimasi distribusi barang dua tahap', *DORO: Repository Jurnal Mahasiswa PTIIK Universitas Brawijaya*, vol. 5, no. 12.
- 89. Taha, HA 2011, *Operations research: an introduction*, 9 edn, Prentice Hall, Upper Saddle River, N.J.
- 90. Vista, CB & Mahmudy, WF 2015, 'Penerapan algoritma evolution strategies untuk optimasi distribusi barang dua tahap', *DORO: Repository Jurnal Mahasiswa PTIIK Universitas Brawijaya*, vol. 5, no. 11.
- 91. Wahid, N & Mahmudy, WF 2015, 'Optimasi komposisi makanan untuk penderita kolesterol menggunakan algoritma genetika', *DORO: Repository Jurnal Mahasiswa PTIIK Universitas Brawijaya*, vol. 5, no. 15.
- 92. Widodo, AW & Mahmudy, WF 2010, 'Penerapan algoritma genetika pada sistem rekomendasi wisata kuliner', *Kursor*, vol. 5, no. 4, pp. 205-211.
- 93. Yazdani, M, Amiri, M & Zandieh, M 2010, 'Flexible job-shop scheduling with parallel variable neighborhood search algorithm', *Expert Systems with Applications*, vol. 37, no. 1, pp. 678-687.
- 94. Yogeswaran, M, Ponnambalam, SG & Tiwari, MK 2009, 'An efficient hybrid evolutionary heuristic using genetic algorithm and simulated annealing algorithm to solve machine loading problem in FMS', *International Journal of Production Research*, vol. 47, no. 19, pp. 5421-5448.
- 95. Zhang, G, Shao, X, Li, P & Gao, L 2009, 'An effective hybrid particle swarm optimization algorithm for multi-objective flexible job-shop scheduling problem', *Computers & Industrial Engineering*, vol. 56, no. 4, pp. 1309-1318.

Indeks

algoritma evolusi, 2 job-shop scheduling problem, 53 algoritma genetika, 5, 10 JSP, 53 kendala, 48, 56 analog circuit, 87 ant colony optimisation, 87 koloni semut, 2 assembly stage, 51 komputasi evolusi, 2 binary tournament, 14 lambda, 76 chromosome, 10 linear programming, 55 constrains, 55 local search, 69 contraint, 48, 56 makespan, 51 cycle crossover, 49 MAs, 69 decision tree, 93 memetic algorithms, vii, 69 decoding, 9 meta-heuristic, 2 deterministic sampling, 38 migrasi, 71 distributed genetic algorithms, 71 mixed sampling, 38 elitism, 14, 39 natural selection, 4 elitism selection, 35, 44 offspring, 4 encoding, 9 one-cut-point crossover, 13, 18 ergodic, 9 optimasi, 2 evolution strategies, 75 order crossover, 49 Evolution Strategies, 5 order-based crossover, 49 evolutionary algorithms, 2 parallel genetic algorithms, 71 Evolutionary Programming, 5, 92 parent, 4 extended intermediate crossover, 30 partial-mapped crossover, 49 particle swarm optimization, 75, 92 fitness, 4 flow-shop scheduling problem, 50 population based, 5 FSP, 50 position-based crossover, 49 Gantt-Chart, 51 precedence, 50 gen, 9 quantum computing circuits, 87 genetic algorithms, 7 random mutation, 30 Genetic Algorithms, 5 RCGA, 70 Genetic Programming, 5 real-coded GAs, 70 heuristic crossover, 49 real-coded genetic algorithms, 29 heuristik, 2 reciprocal exchange mutation, 50, 54 rekombinasi, 76 hill-climbing, 2, 69 hybrid GAs, 9 repairing, 57 Hybrid Genetic Algorithms, 69 replacement selection, 35, 44 individu, 10 roulette wheel, 14, 15, 20 insertion mutation, 50, 54 search space, 8 job-based representation, 53, 54 seleksi alam, 4

self-adaptation, 75 simulated annealing, 2, 87 stochastic, 5 stochastic operators, 8 stochastic sampling, 38 sub-populasi, 8 tabu search, 2

termination condition, 25 tournament selection, 31 Transportation Problem, 54 Travelling Salesperson Problem, 47 two-stage assembly flowshop, 51 variable neighbourhoods search, 70 VNS, 70